

14.- MOLINO PARA MEDIR EL INDICE DE TRABAJO. 305 mm. Ø

x 305 mm. l. (3B-15)

El molino de bolas es una máquina que realiza la molienda, que constituye una de las operaciones de reducción del mineral de un estado de partícula a prácticamente polvo por medio de la presión y abrasión. Consta de un cilindro tubular cilíndrico dispuesto horizontalmente, que en cuyo interior recibe a título de carga, cuerpos moledores; un juego de bolas esféricas de diámetros apropiados y de la mayor dureza posible con las cuales se mezcla la materia a moler.

APLICACIONES

Los minerales tienen diferentes dureza y comportamiento frente a la acción de trituración y reducción de tamaño, valor necesario para dimensionar un flujo de secuencia de operaciones de una planta.

El molino tiene aplicaciones en muchos procesos industriales, asociados con la resistencia a ser triturado, por ejemplo:

- Molienda para obtener un grado determinado de finura.
- Número de revoluciones controladas mediante contómetro, necesarias y calculadas para obtener un grado de liberación deseado y los KWH/TC consumidos.

La precisión y reproductibilidad de determinaciones, con el molino está listo para ser aplicado en los campos de:

- Ensayos de rutina
- Ensayos de investigación
- Ensayos de planta

DISEÑO

Ejemplos de materiales típicos que han sido satisfactoriamente clasificados son:

- Minerales como: chalcopyrita, galena, esfalerita, casiterita minerales de hierro, menas de oro, etc.

/// ...

- Minerales no metálicos como: la sílice, rocas y otros materiales.

El test de índice de molienda tiene por objeto determinar en una simulación a un circuito de molienda cerrada con una determinada carga circulante, la cantidad de producto menos una cierta malla, producido por revolución del molino. Con este dato se puede determinar el índice de trabajo de Bond que por definición es el trabajo total expresado en KWH/Ton corta, necesaria para reducir el mineral de un tamaño teóricamente infinito a otro que es equivalente a 67% -200 mallas. Los resultados pueden correlacionarse con el consumo de energía, si se efectúan tests sobre minerales cuyo consumo de energía en la molienda es conocido.

El test se efectúa en seco.

ESPECIFICACIONES

El molino de bond es un cilindro tubular de 12 x 12 pulgadas dispuesto horizontalmente sobre un eje, apoyado en dos chumaceras y éstas sobre una base de madera. Sus especificaciones generales son las siguientes :

- 1) Molino 12 x 12 pulgadas
- 2) R.P.M. = 78
- 3) Sistema eléctrico = trifásico
- 4) Sistema de reducciones = por 2 poleas Radio 14:1
- 5) Motor: Toshiba, Shibabura Electric Co. Ltd. Tokyo, Japón.

Serie N°: 13232070

Tipo : IK

Volts : 220

Hz : 60

Amp. : 2.4

R.P.M. : 1120

KW : 0.4

Fases : Trifásico

- 6) Contador : automático
- 7) Carga de bolas de acero desde 1 1/2" hasta 1/2" de diámetro con un peso total : 22.000 Kgrs.

///, ..

Distribución:

43 bolas de 1 1/2"

70 bolas de 1 1/4"

10 bolas de 1"

71 bolas de 3/4"

90 bolas de 1/2"

- 8) Carga de mineral: 700 cc. ~10 mallas con un peso aproximado de 1 Kgr.
- 9) Parrilla de acero para descargar la muestra y debajo su caja de recepción correspondiente.

CONTADOR AUTOMATICO

Fijado el control a un cierto número de vueltas el interruptor del motor se apagará automáticamente por el micro-interruptor a una cuenta deseable. Colocando el brazo a 70 grados se regresa el contador al punto "0" y también el micro interruptor se pondrá en la posición de arranque automáticamente, sino se empuja la palanca hasta el fondo causará errores en los cálculos y rotura de la máquina. Empujando la palanca hacia atrás aproximadamente 70 grados y cambiando de lugar la palanca póngala en posición previa o anterior. Los números pueden ser arreglados fácilmente. Empujando lentamente el cursor marcado de blanco a la hilera de la carta de números por el brazo de plástico y rodando el anillo se hace colocar la cuenta apropiada o deseada. Se retira el brazo de plástico y se retorna el cursor marcado de blanco hasta que llegue a la posición inicial "0" después de colocar el contador.

PROCEDIMIENTO

Para la determinación del índice de dureza serán realizadas dos pruebas con un número de ciclos suficiente para la obtención de un régimen estacionario.

1. De la muestra total, obtener una muestra representativa de aproximadamente 10 kilos
2. Realizar un análisis granulométrico hasta malla 200.

- III. 3. Devolver el material tamizado a la muestra y mezclar bien.
4. Cuartear la muestra y dividir en 10 fracciones para evitar segregación.
5. Medir en un cilindro graduado 700 cc. de muestra y pesarlo.
6. Colocar la muestra de (5) en el molino y moler por 100 revoluciones.
7. Sacar la muestra del molino y determinar por tamizado el porcentaje -200 mallas.
8. Anotar los datos de (7) y hacer los cálculos de acuerdo al apéndice B, para el próximo período.
9. Devolver el material +200 mallas al molino agregando la cantidad de material fresco, según calculado en (8).
10. Repetir el ciclo hasta que el peso de material -200 mallas, obtenido por revolución; se mantenga constante.
11. Usar un mínimo de 5 ciclos.
12. Hacer análisis granulométrico del producto en ciclosizer.
13. Calcular el índice de trabajo W_i según las siguientes fórmulas :

$$a) W_i = \frac{16}{(Gbp)} \sqrt{\frac{P_1}{100}}$$

$$b) W_i = \frac{44.5}{(P_1) \cdot (Gbp)} \left(\frac{10}{\sqrt{P}} - \frac{10}{\sqrt{F}} \right)$$

Gbp = Grindabilidad (gr/rev.)

P_1 = Apertura de malla (micrones) usada

P = 80% passing del undersize (micrones)

F = 80% passing de la alimentación (micrones)

- II) 1. Preparar una muestra a -6 mallas en etapas de chancado y tamizado.
2. Determine el análisis de mallas
3. Determine la densidad bulk Lbs/Ft³

4. Calcule el peso del material de carga.

$$\text{Material de Carga grs.} = \frac{\text{Densidad bulk (Lbs/Ft}^3)}{62.4 \text{ Lbs/Ft}^3} \times 700\text{cc.}$$

$$\text{Material de Carga} = \frac{\text{Peso del bulk (gr/Lt)}}{1000} \times 700\text{c.}$$

5. Calcule el IPP (Potencial Ideal del Producto) para 250% de carga circulante.

$$\text{IPP (grs.)} = \frac{\text{Peso del material de carga (grs.)}}{3.5}$$

6. Cuartear la muestra de alimentación hasta obtener de 8 a 12 muestras significativamente menores que el IPP cuartee también una fracción de muestra para material de carga.

7. Ponga el material de carga y las bolas en el molino y gire a x revoluciones.

$x = \text{N}^{\circ}$ de revoluciones basadas o estimadas del work index, usualmente son 50, 100, 150, ó 200 revoluciones.

8. Del depósito del molino, separe las bolas y el material de carga, tamíze todo el material a la malla de molienda y pese el producto.

9. Producto = Peso de material de carga - Peso del oversize del tamiz.

10. Producto Neto = Producto-Peso del undersize en la alimentación del molino.

11. Gramos netos del producto por revolución.

$$= \frac{\text{Producto Neto}}{\text{N}^{\circ} \text{ de revoluciones.}}$$

12. Adicione nuevo alimento al material del oversize de la malla (carga circulante) para restituir -

... material de carga al peso original usando cuar-
teador de muestras.

13. Calcule el N° de revoluciones para el siguien-
te período.

Nº de revoluciones = $\frac{IPP(\text{gr}) \cdot \text{Peso del undersize en la alimentación}}{\text{gr neto/rev. para períodos previos}}$

14. Repetir los pasos del 8 al 14 hasta que los
gr.net./rev. alcance el equilibrio (puede ser-
siguiendo los pasos o saltando como mínimo 5 -
períodos).

Material de carga = El promedio de los produc-
tos de los últimos 2 ó 3 períodos.
Carga circulante = El promedio del producto de los últimos 2 a 3
periódos.

PRINCIPIO

Fred C. Bond desarrolló la tercera teoría de conminución en 1951, después de otras 2 teorías (RITTINGER 1867 y la de Kick 1885). Según la teoría de Bond el trabajo utilizado para reducir un mineral es proporcional a la nueva fractura del tamaño producido en la partícula triturada, e igual al trabajo, representado por el producto menos aquel representado por la alimentación. En partículas de forma similar, la longitud de la fractura producida es equivalente a la raíz cuadrada de la mitad del área superficial, y la longitud de la nueva fractura es proporcional a $1/\sqrt{P} \sim 1/\sqrt{F}$

Para cálculos prácticos se utiliza la siguiente ecuación:

$$W = W_i \left(\frac{10}{\sqrt{P}} - \frac{10}{\sqrt{F}} \right) \quad (1)$$

donde W_i , es el (work index) índice de trabajo.

El índice de trabajo es el parámetro de conminución, el cual expresa la resistencia del material al chancado y molienda. Numéricamente el índice de trabajo son los KW H/TC requerida para reducir el material de alimentación desde un tamaño teóricamente infinito, para pasar el 80% 100 micrones equivalente al 67% 200 Mallas. Cuando alguna de las 3 cantidades de la ecuación son conocidas, la cuarta puede ser determinada por transposición de la ecuación, mediante las siguientes fórmulas:

$$W_i = W / \left(\frac{10}{\sqrt{P}} + \frac{10}{\sqrt{F}} \right)^2 \quad (1 \text{ a.})$$

$$P = \frac{10 W_i \sqrt{F}}{W \sqrt{F} + 10 W_i}$$

El trabajo gastado en joules o watts-segundos por gramo es igual a 3.97 W.

Si el tamaño del material de reducción es homogéneo, el valor del W_i continuará constantemente para toda etapa de reducción de tamaño. No obstante, estructuras heterogéneas en rocas son comunes.

Si el tamaño del material de reducción es homogéneo, el valor del W_i continuará constante para toda etapa de reducción de tamaño.

No obstante estructuras heterogéneas en rocas son comunes.

Arena de malla 48 de sílice tendrá un W_i grande para un producto triturado a partículas más finas que la malla 48 que para un producto grueso. Si la distribución del tamaño natural de un mineral cambia con la molienda fina, el W_i también puede cambiar. La eficiencia de la máquina también puede influenciar. Por ejemplo: un molino de bolas moliendo un mineral desde 80% -14 mallas hasta 80% -100 mallas tendrá una pérdida del valor de 1.5 pulgadas- que con bolas de tamaños mayores de 3 pulgadas.

La determinación en el laboratorio del índice de trabajo muestra la resistencia en romper el rango de tamaño de la muestra y algunas variaciones en los valores de ensayo del W_i en productos de diferentes tamaños muestran que el material no es homogéneo a la reducción del tamaño. Por esta razón ensayos de laboratorio deben ser preferentemente hechos a ó cerca del producto de tamaño-deseado requerido en la molienda comercial.

Operando con el W_i desde la ecuación compuesta (1a) puede ser calculado desde reducción de tamaño en plantas comerciales para comparar la eficiencia en planta con resultados de ensayos a laboratorio acompañando eficiencia de las diferentes etapas de reducción de tamaño o comparando con plantas que tratan materiales similares.

El W_i es particularmente útil en predicciones de tamaño y la capacidad de la nueva instalación.

PRUEBA PARA CALCULO DEL WORK INDEX DE LABORATORIO PARA
MINERAL "LA GRANJA"

CICLO 0

Se enrazo hasta 700 cc. = 1,101.00 grs.

$$+ 100 \text{ M} = 729.00$$

$$\begin{array}{r} - 100 \text{ M} = 360.00 \\ \hline 33.42\% \\ 1,095.00 \end{array}$$

$$\text{Fino producido} = \frac{\text{cabeza}}{3.5} = \frac{1,101}{3.5} = 314.6 \text{ grs.}$$

(base = 56 rev.)

$$+ 100 \text{ M} = 616$$

$$\begin{array}{r} - 100 \text{ M} = 482 \\ \hline 1,098 \text{ grs.} \end{array}$$

$$\text{Fino producido} = 482 - 366 = 116 \text{ grs.}$$

$$\text{Moliendabilidad} = 116/56 = 2.071 \text{ gr/rev.}$$

$$\text{Carga circulante} = \frac{616}{482} = 1.28$$

CICLO 1

$$1) \text{ Cabeza fresca} = 1,101 - 616 = 485 \text{ grs.}$$

$$2) \text{ N}^{\circ} \text{revoluciones} = \frac{314.6 - 116}{2.071} = 96 \text{ rev.}$$

$$3) \text{ Fino inicial} = 485 \times 33.42\% = 162.09 \text{ grs.}$$

$$4) + 100 \text{ M} = 746$$

$$\begin{array}{r} - 100 \text{ M} = 353 \\ \hline 1,099 \end{array}$$

$$5) \text{ Fino producido} = 353 - 162.09 = 190.91 \text{ grs.}$$

$$6) \text{ Moliendabilidad} = 190.91/96 = 1.989 \text{ grs/rev.}$$

$$7) \text{ Carga circulante} = \frac{746}{353} = 2.11$$

CICLO 2

$$1) \text{ Carga fresca} = 1,101 - 746 = 355 \text{ grs.}$$

$$2) \text{ Fino inicial} = 355 \times 33.42\% = 118.64 \text{ grs.}$$

$$3) \text{ N}^{\circ} \text{ de revoluciones} = \frac{314.6 - 118.64}{1.989} = 98.52 = 98 \text{ rev.}$$

11....

por motivos de circuito eléctrico se operó solo para este ci
clo 62 revoluciones.

$$4) + 100M = 844$$

$$- 100M = \underline{261}$$

$$1,105$$

$$5) Fino producido = 261 - 118.64 = 142.36 \text{ grs.}$$

$$6) Moliendabilidad = \frac{142.36}{62} = 2.296 \text{ gr/rev.}$$

$$7) Carga circulante = \frac{844}{261} = 3.234$$

CICLO 3

$$1) Carga fresca = 1,101 - 844 = 257 \text{ grs.}$$

$$2) Fino inicial = 257 \times 33.42\% = 85.89 \text{ grs.}$$

$$3) N^{\circ} \text{ de revoluciones} = \frac{314.6 - 85.89}{2.296} = 99.61 = 100 \text{ rev.}$$

$$4) + 100 M = 797.00$$

$$- 100 M = \underline{302.28}$$

$$1,099.28 \text{ grs.}$$

$$5) Fino producido = 302.28 - 85.89 = 216.39 \text{ grs.}$$

$$6) Moliendabilidad = 216.39/100 = 2.164 \text{ grs/rev.}$$

$$7) Carga circulante = 797/302 = 2.64$$

CICLO 4

$$1) Carga fresca = 1,101 - 797 = 304 \text{ grs.}$$

$$2) Fino Inicial = 304 \times 33.42\% = 101.60 \text{ grs.}$$

$$3) N^{\circ} \text{ de revoluciones} = \frac{314.6 - 101.60}{2.164} = 98.43 = 98 \text{ rev.}$$

$$4) + 100 M = 731.00$$

$$- 100 M = \underline{370.00}$$

$$1,101.00 \text{ grs.}$$

$$5) Fino producido = 370.00 - 101.60 = 268.4 \text{ grs.}$$

$$6) Moliendabilidad = 268.4/98 = 2.738 \text{ grs/rev.}$$

$$7) Carga circulante = 731/370 = 1.976$$

CICLO 5

$$1) Carga fresca = 1,101 - 731 = 370$$

$$2) Fino inicial = 370 \times 33.42\% = 123.65 \text{ grs.}$$

$$3) N^{\circ} \text{ do revoluciones} = \frac{314.6 - 123.65}{2.738} = 69.74 = 70 \text{ rev.}$$

.....

4) + 100 M = 820.00

- 100 M = 281.00

1,101.00 grs.

5) Fino producido = 281 - 123.65 = 157.35 grs.

6) Moliendabilidad = 157.35/70 = 2.248 gr/rev.

7) Carga circulante = 820/281 = 2.918

CICLO 6

1) Carga fresca = 1,101 - 820 = 281 grs.

2) Fino inicial = 281 x 33.42% = 93.910 grs.

3) N° de revoluciones = $\frac{314.6 - 93.91}{2.248}$ = 98.17 = 98 rev.

4) + 100 M = 791.00

- 100 M = 310.00

1,101.00 grs.

5) Fino producido = 310 - 93.91 = 216.09 grs.

6) Moliendabilidad = 216.09/98 = 2.205 gr/rev.

7) Carga circul. = 791/310 = 2.55

CICLO 7

1) Carga fresca = 1,101 - 791 = 310 grs.

2) Fino inicial = 310 x 33.42% = 103.60 grs.

3) N° de revol. = $\frac{314.6 - 103.6}{2.205}$ = 95.69 = 96 rev.

4) + 100 M = 779.00

- 100 M = 322.00

1,101.00 grs.

5) Fino producido = 322 - 103.6 = 218.4 grs.

6) Moliendabilidad = 218.4/96 = 2.275 gr/rev.

7) Carga circul. = 779/322 = 2.419

11.11.

Ciclo	Fino Total	Fino Inicial	Fino Producido	Gr/rev.	Carga Circul.	Rev.
0	482	366.00	116.00	2.071	1.28	56
1	353	162.09	190.91	1.989	2.11	98
2	257	118.64	142.36	2.296	3.23	62
3	304	85.89	216.39	2.164	2.64	100
4	370	101.60	268.40	2.738	1.97	98
5	281	123.65	157.35	2.248	2.92	70
*6	310	93.91	216.09	2.205	2.55	98
*7	322	103.60	218.40	2.275	2.42	96
				4.480	4.97	194
				2.240	2.485	97

(*) Se toma en cuenta ciclos 6 y 7

$$W.I. = \frac{16}{(Gbp)^{0.82}} \cdot \frac{P_1}{100} \quad P_1 = 149 \quad (\text{malla } 100)$$

$$Gbp = 2.24$$

$$W.I. = \frac{16}{(2.24)^{0.82}} \cdot \frac{P_1}{100}$$

$$W.I. = \frac{16}{1.937} \cdot 1.221$$

$$W.I. = 10.086 \text{ KWh/ton.corta}$$

Apéndice "A"

El circuito de molienda puede representarse como en la Figura 1.

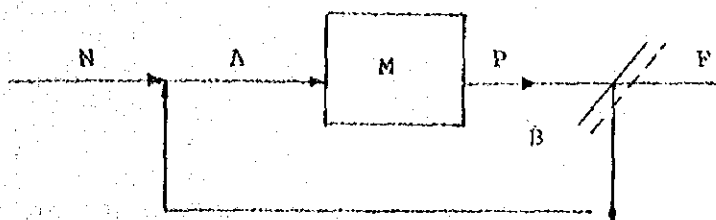


Figura 1

Círculo cerrado de molienda

La alimentación A al molino consiste en la suma de alimentación nueva N y el material en circulación B.

$$A = N + B \quad (1)$$

El producto P consiste en la suma de material + 200 B y -200 mallas F.

$$P = F + B \quad (2)$$

La carga circulante se define como la razón:

$$\text{Carga circulante} = 100 C = \frac{B}{N} \cdot 100 \quad (3)$$

Lógicamente en régimen estacionario:

$$\begin{aligned} P &= A \\ N &= F \end{aligned} \quad (4)$$

y por lo tanto:

$$C = \frac{B}{N} = \frac{B}{F} \quad (5)$$

$$B = CF \quad (6)$$

con (4) y (6) en la ecuación (1) se obtiene:

$$A = F + CF; \quad A = F(1+C) \quad (7)$$

$$F = \frac{A}{C+1} \quad (8)$$

Para el caso en mano, la carga circulante es 250% ($C = 2,5$) y por lo tanto, cuando se llegue a régimen, la cantidad de fino producido debe ser de:

$$F = \frac{A}{3,5} \quad (9)$$

Donde A es la carga total al molino.

Apéndice "B"

Tabulación de datos y cálculos. Referirse a Tabla 1

- a) Anotar el número del período en la columna 1.
- b) Anotar el número de revoluciones del molino del correspondiente período en la columna 2.
- c) Anotar la cantidad de material +200 mallas en la columna 3, y -200 mallas en la columna 4, según la etapa (7) del procedimiento.
- d) Calcular las pérdidas de material en el manipuleo y suponer que éllas son de material -200 solamente. Agregar estas pérdidas al material -200 y anotar el total de material -200 a la columna 5.
- e) La cantidad de carga nueva al molino, para el ciclo siguiente, debe ser igual a esta cantidad total de material -200 - mallas que se eliminará del circuito.
- f) Del análisis granulométrico de la alimentación, etapa (2) - del procedimiento y del peso total de la alimentación nueva calcular la cantidad de material -200 en la alimentación. Entrar este valor en la columna 6.
- g) La diferencia entre la cantidad de material -200 mallas del producto (columna 5) y de la alimentación (columna 6) da la cantidad de material -200 mallas producido en el ciclo referido. Entrar entonces, 5 menos 6 en columna 7.
- h) Dividir el peso de material -200 producido (columna 7) por el número de revoluciones del período (columna 2) y entrar este valor en la columna 8.
- i) Determinar el número de revoluciones para el próximo período en base al resultado de la columna 8. Para ello debe calcularse el número de revoluciones necesario para producir la cantidad de -200 mallas necesarios en la próxima etapa. La cantidad de material -200 necesario en la próxima etapa es la cantidad calculada en Apéndice "A".

$$r = \frac{A}{C+1}$$

menos la cantidad de -200 que hay en la alimentación nueva a esta etapa. Entonces,

$$N_r = \frac{r - (6)}{(8)}$$

Donde: N_r = número de revoluciones para una etapa

F = finos en producto

(6) = columna 6 de la etapa anterior

(8) a columna 8 de la etapa anterior

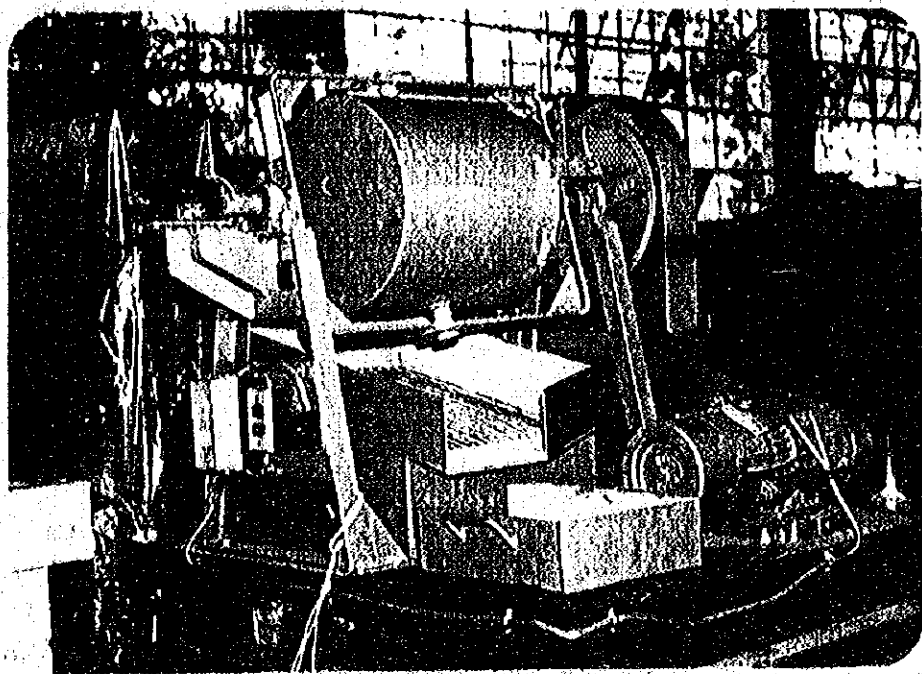
J) Entrar N_r en columna 2 de nueva etapa.

T A B L A I

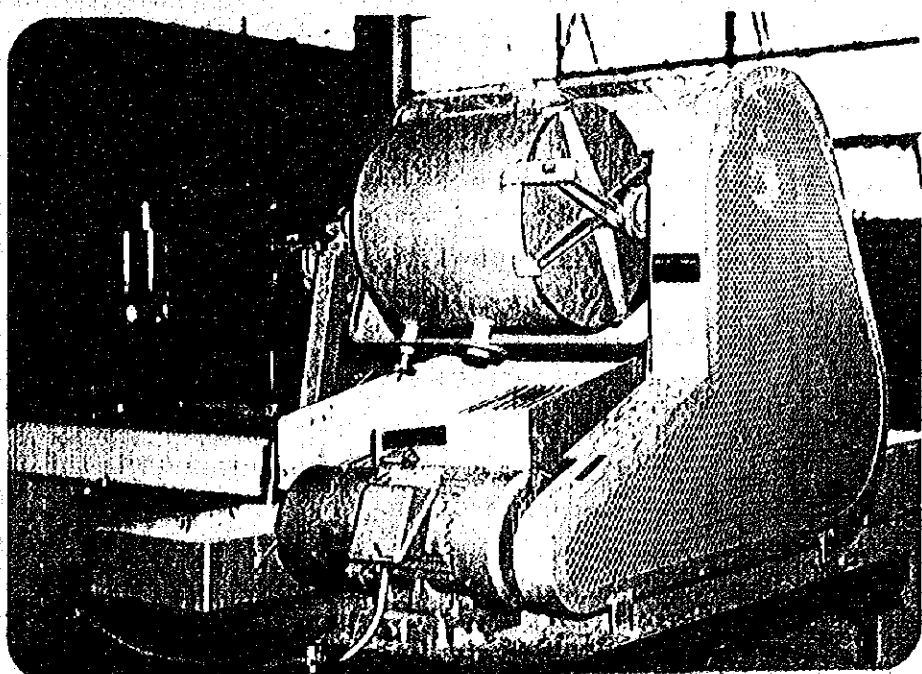
TEST INDICE DE MOLIENDA

Minerals

Fecha: 8



MOLINO PARA MEDIR EL INDICE DE TRABAJO 305 mm.
Ø x 305 mm. L. (3B-15)



15.- CLASIFICADOR DE TAMAÑOS. MARCA WARMAN

(Cyclosizer) (3B-16)

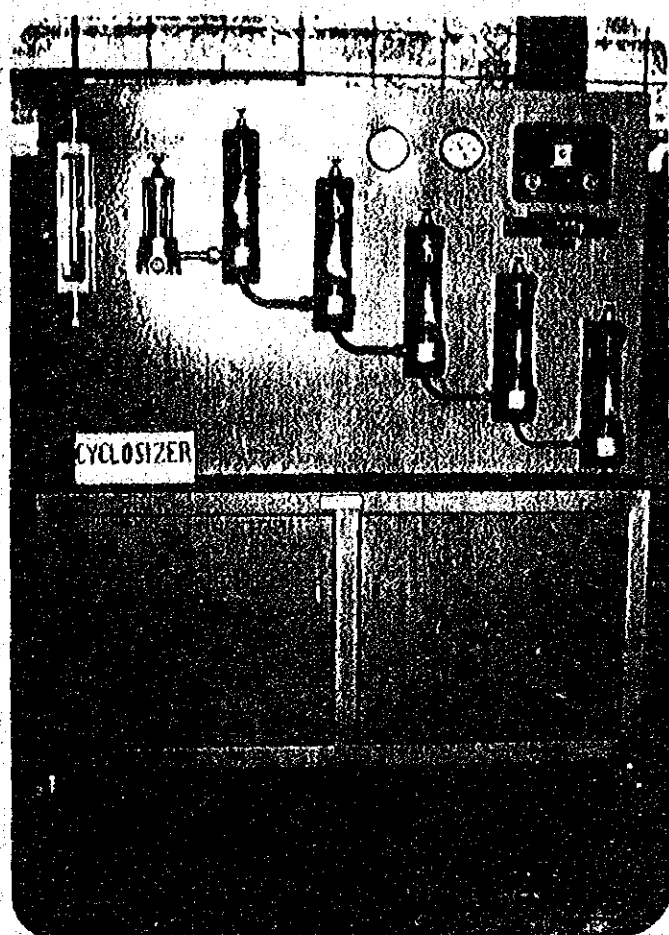
El CICLOSIZE, es un aparato de laboratorio de basa tanto precisión para la rápida y precisa determinación de la distribución de los tamaños de partícula con el rango-sub-tamizado (menos ~200 mallas).

Las partículas son separadas de acuerdo a las características de cómo se sitúan de acuerdo a la ley de Stokes, por el principio en el bion conocido del cielón hidráulico.

El rango de operación efectiva es de 50-8 micrones para material de gravedad específica similar al cuarzo (G.E. 2.7) pero el límite más bajo puede extenderse debajo de 4 micrones para partículas de alta gravedad específica por ejemplo galena (G.E. 7.5).

Muestras hasta 100 grs, de ~200 mallas 0-325 pueden ser separadas en 5 fracciones.

El tiempo requerido para una efectiva separación en el cyclosizer puede ser de 10 minutos y es raramente necesario que exceda los 30 minutos. Tiempo extra se requiere para deshidratado, secando y pesando las fracciones separadas.



CLASIFICADOR DE TAMAÑOS MARCA WAR
MAN (CYCLOSIZER)

El aparato consiste en un juego de 5 ciclones de 3 pulgadas de diámetro y el equipo está montado en una consola.

La unidad requiere fuerza de una sola fase, agua limpia de 9 a 14 lit/min., y un punto de drenaje en el suelo.

APLICACIONES

La mayoría de partículas que tiene una gravedad específica mayor que 1.4 son insolubles en agua y son naturalmente no coherentes y pueden ser rápidamente clasificados de acuerdo a su tamaño, en el rango de sub-tamizado con el cyclosizer.

El aparato tiene aplicaciones en muchos procesos industriales asociados con material fino clasificado.

Por ejemplo :

- Procesamiento de mineral y carbón
- Procesamiento de cerámica
- Manufacturas de compuestos lubricantes, pigmentos y abrasivos.
- Manufactura de cemento
- Generación de potencia

La rapidez, precisión y reproductibilidad de determinaciones con el cyclosizer son tales que está listo para ser aplicado a los campos de :

- Ensayos de investigación
- Ensayos de rutina
- Control de planta

DISEÑO

Ejemplos de materiales típicos que han sido satisfactoriamente clasificados son :

- Minerales como pirita, chalcopirita, galena, esfalerita, casiterita, minerales de hierro, menas de oro y colas en clasificación, flotación y otros circuitos de beneficio.
- Compuestos lubricantes de silice, arcillas y tierras preparados químicos tales como alúmina, sulfato de plomo, óxido de plomo, polvo de zinc, carburo de silicón.
- Carbón pulverizado, ceniza muy fina
- Materiales medianamente pesados como magnetita y -
Terrosilicóna.

El cyclosizer tiene una aplicación particular en la Minería y en industrias asociadas para el estudio y control de circuitos de clasificación usando equipos basados en la ley de Stokes. También en el campo relativo de estudios de liberación, el cyclosizer preparará fracciones clasificadas con bastante aproximación en suficiente cantidad para análisis químicos, partes mineralógicas y oxámenes al microscopio.

DESCRIPCION

Los cinco ciclones que forman la base del cyclosizer están colocados en serie para que el rebosé de cada uno de ellos sea la alimentación para la otra línea, las unidades individuales están en la posición "boca abajo" (invertidos) con referencia a arreglos convencionales y en el apex de cada uno, una cámara está situada para que la descarga del apex sea aproximadamente efectiva. El agua es bombeada a través de las cinco unidades a un ratio específico (indicado en el rotámetro) y una muestra de sólidos es introducido de un recipiente separador hacia la corriente delantera de los ciclones. La alimentación de la muestra es agitada durante 5 minutos.

Al pasar a través de los ciclones, los sólidos son

distribuidos a los cinco ciclones de acuerdo al tamaño de clasificación de Stokes. La distribución inicial es sólo aproximada con cada cámara del apex conteniendo un exceso de material que está sobre lo normal. Con una fluidez continua de agua después de la distribución inicial las partículas más pequeñas que el "tamaño límite" para cada ciclón, son gradualmente elutriadas al rebosar. Cada ciclón es análogo a un tamiz en el cual la apertura es dependiente de la velocidad del gasto y la ley de Stokes es variable. En tal caso la viscosidad del líquido y la G.E. difiere entre sólido y líquido. Valores típicos de los tamaños límites para cada ciclón se muestran en la tabla siguiente.

La precisión de separación mejora con el crecimiento del tiempo de elutriación, pero 10 minutos de elutriación es de todos modos bastante adecuado y es raramente adecuado excederse 30 minutos. Cuando el tiempo de elutriación ha terminado, las fracciones clasificadas son colectadas mediante la descarga del contenido de cada cámara del apex en separados vasos. Los sólidos asentados, decantados (o filtrados) y secados y pesados para determinar la distribución de tamaño. Los sólidos que pasan al ciclón N°. 5 son determinados por diferencia.

LIMITE DEL TAMAÑO DE PARTICULA (Valores típicos del límite del tamaño de partícula para cada ciclón a diferente nivel de la G.E. de la partícula)

Nº. CICLON	DIAMETRO EQUIVALENTE DE STOKES (MICRONES)		
	G.E. = 2.7 CUARZO	G.E. = 5.2 PIRITA	G.E. = 7.5 GALENA
1	44	27	22
2	35	22	18
3	23	14	11
4	15	9	8
5	9	6	5

OPERACION

PRELIMINARES

Antes de hacer cualquier análisis de tamaños operé la unidad con agua para chequear cualquier desperfecto transitorio y para que se familiarice con procedimientos de control.

- 1.- Tome el recipiente de muestra y lubrique el anillo sellándolo con una solución de jabón líquido.
- 2.- Ponga el recipiente de muestra en el soporte del mismo. Asegúrese que esté cerrado en posición de 90° hasta que el lado del vidrio esté frente a Ud. Abra las llaves de agua y cargue el tanque.
- 3.- Cierre todas las válvulas de apex de los ciclones y las válvulas de control de flujo. Encienda la llave de la bomba (INTERRUPTOR en ON).
- 4.- Abra despacio la válvula de control de flujo al máximo para que el agua corra a través de los ciclones y chequee que el funcionamiento sea seguro.
- 5.- Cuando el cyclosizer es usado por primera vez o cuando ha vuelto a usarse, cuando el tanque de agua ha sido drenado es necesario apagar y encender la bomba varias veces para botar el aire atrapado en la bomba. La presencia de aire en la bomba se sabrá por la lectura del medidor de presión cuando esté a menos de 40 lb/pulg². No permita que bajo ninguna circunstancia la bomba se seque.

PROCEDIMIENTO DE ENSAYE

Cuando la muestra ha sido preparada, se escoge un gasto elutriador y de acuerdo a la figura del factor de

corrocción (r_3) se determina la lectura al milímetro que corresponde al valor oscogido. Después procede como sigue:

1. Con la bomba apagada saque el recipiente de muestra de su soporte dando vueltas al recipiente hasta que uno de sus lados de metal esté frente a usted y jale recto hacia arriba.
2. Abra toda la llave en el recipiente de muestra y saque todo el agua. Póngalo invertido sobre la rueda de mano de la válvula.
3. Echo la muestra de ensayo en el recipiente y usando una botella lavada, lave los sólidos que han quedado fuera del vaso, al recipiente.
4. Continúe llenando el recipiente de muestra con agua limpia hasta que el nivel esté mas 6 menos por la mitad. Gire la válvula del recipiente hasta que esté cerrado. En ésta etapa la muestra debe ser sellada dentro del recipiente todo el aire eliminado.
5. Con la llave del recipiente de muestra cerrada devuélvalo al soporte del ciclosizer haciendo a la inversa del paso 1.

NOTA: Es imperativo que se asegure que el recipiente de muestra esté correctamente asegurado en el soporte y que el lado de vidrio esté fren te a uno antes de que siga adelante.

6. Abra la llave de agua al tanque y espere a que esté lleno o sea hasta que la válvula de flotación esté cerrada.
7. Asegure que la válvula de control esté cerrada y encienda la llave de la bomba en el panel del control.

8. Abra la llave de control lentamente y deje que el aire entre lentamente por la tubería.
9. Abra la llave de control nuevamente en su totalidad.
10. Empezando del ciclón Nº. 1 deje entrar el aire de los ciclones abriendo las válvulas de apex una a una. Las últimas trazas de aire son a veces difíciles de remover del ciclón Nº. 3 y en estos casos, un procedimiento alternativo puede ser usado. Cierre ambas válvulas de apex y deje que el aire residual se almacene en la cámara del apex. Después abra ambas caras totalmente y deje que el aire salga. Sabiendo que la salida del vortex del ciclón Nº. 5 está abierto a la atmósfera no es posible remover la columna de aire central y la columna de aire relámpago estará siempre presente.
11. Con la válvula de control totalmente abierta fije el reloj en 5 min. y abra la válvula del recipiente de muestras despacio.
12. Regule manualmente la válvula para que cuando la alarma suene la muestra será descargada completamente a la corriente.
13. Después de los 5 min. que hayan transcurrido cierre la válvula de control hasta que el medidor de fluidos indique el flujo requerido de elutriación. Ponga el reloj al tiempo requerido de elutriación.
14. Cuando la alarma indique que el tiempo de elutriación ha terminado, cancele la alarma y devuelta a la llave de control para que se llene.
15. Empezando con el ciclón Nº. 5 jale el tubo plástico, abra la llave del apex y descargue los sólidos

- della cámara del apex en un vaso de 1000 cc.
16. Cierre la válvula de descarga N°.5 y proceda al ciclón N°.4 y así sucesivamente. Nótese la temperatura del agua.
 17. Permita que los vasos descansen al menos 20 min. y decante el exceso de agua.
 18. Para una recuperación y peso final, las fracciones clasificadas pueden ser filtradas en un papel previamente lavado y secados o simplemente transferidos a platos evaporadores para secar sin filtrar.
 19. Calcular el porcentaje que pasa por el ciclón N°.5 como la diferencia del paso inicial y la suma de los pesos de las fracciones separadas.
- NOTAS . 1. Para análisis continuos de rutina dos recipientes de muestra pueden ser utilizados.
2. Si se desea una muestra de sólidos finos que pasen al último ciclón pueden ser recuperados colectando el agua desechara y dejando que se asiente. Se ha encontrado conveniente hacer esto en tambores de plástico.
80% a 90% del material fino es recuperado colectando el agua en los primeros 10 minutos de la operación siguiendo la abertura de la válvula del recipiente de muestra.
3. Un número de hojas blancas de resultado son dadas con el aparato. Estas pueden ser usadas para facilitar el control de los resultados y de los cálculos.

CALCULOS

Después de que los porcentajes de los pesos retenidos en los 5 ciclones han sido determinados, es necesario calcular la efectiva separación de los tamaños de partícula bajo las condiciones del ensayo.

Para hacer esto un factor de corrección debe ser determinado para cada una de las cuatro variables y multiplicado con el límite de separación del tamaño de las partículas de cada ciclón.

Entonces para cada ciclón :

$$d_o = d_i \cdot f_1 \cdot f_2 \cdot f_3 \cdot f_4$$

dónde: d_o = tamaño efectivo de separación de la partícula
 d_i = límite del tamaño de separación de la partícula.

f_1 = Factor de corrección de temperatura para temperatura del agua del ensayo y su lectura (fig. 8)

f_2 = Factor de corrección de G.E. para la G.E. de la partícula y su lectura (Fig. 9)

f_3 = factor de corrección de la velocidad del gasto para la velocidad de gasto usada y su lectura

f_4 = factor de corrección de tiempo correspondiente al tiempo de elutriación y su lectura (fig. 11)

Certificado de calibración

Cyclosizer Nº Sy - 042 - M₃

Ciclón Nº 1 di = 44.4 micrones (\pm 1 micrón)

Ciclón Nº 2 di = 33.0 micrones (\pm 0.5 micrón)

Ciclón Nº 3 di = 27.7 micrones (\pm 0.5 micrón)

Ciclón Nº 4 di = 16.0 micrones (\pm 0.5 micrón)

Ciclón Nº 5 di = 12.3 micrones (\pm 0.5 micrón)

2. Calcule el porcentaje acumulativo que pasa por cada ciclón, $f_3(x)$ y el % acumulativo retenido por cada ciclón $R_3(x)$
3. Graficar % en peso rotoñido en cada ciclón, versus tamaño efectivo en micrones, como un histograma y ajustar una curva continua.
4. Graficar % en peso acumulativo menor que el tamaño

- ($f_3(x)$), versus tamaño efectivo en micrones.
5. Repetir gráficos de (4) y (5) pero log X, como abscisa.
 6. Graficar $\log\%$ en peso acumulativo menor que el tamaño, versus logaritmo del tamaño efectivo.
 7. Discutir los diferentes gráficos y distribuciones
 8. Conclusiones.

ESPECIFICACIONES

Ciclones : cuerpo de vidrio con vortex de bronce hechos a máquina y accesorios del apex terminados en enamel al horno, tubos de conexión de bronce; braqueta de soporte del ciclón terminado en enamel negro.

Rotámetro : rotámetro brooks con escala métrica y accesorios de bronce.

Bomba : Bomba de agua mecánicamente sellado con bordes húmedos hechos en bronce, tubo de fibra de vidrio acondicionada con una válvula de bola flotante. Un medidor de presión es ajustado a la línea de descarga de la bomba y un medidor de temperatura muestra la temperatura del agua en el tanque alimentador.

Gabinete : Gabinete de plancha de metal terminado interiormente en enamel blanco y afuera en enamel verde. Puertas al frente con acceso al tanque alimentador y bomba. Este gabinete está montado sobre ruedas.

Eléctricos : Panel con una llave de bomba y una luz indicadora. Reloj de procesamiento de 0-60 minutos con alarma.

Potencia : Los cyclosizer a 230 voltios, 50 o 60 ciclos de corriente alterna. Otros generadores de fuerza pueden ser agregados según se requiere.

MODELO : MARK 4 CYCLOSIZER

DIMENSIONES : LARGO 1626 m.
ANCHO 483 m.
ALTURA 1854 m.

•//

••//

PESO : PESO BRUTO = 386 Kgr.

PESO NETO = 273 Kgr.

SERIE N° : SY 319

MODELO : M6

MOTOR =

VOLTS. = 220

HZ. = 60

FASES = MONOFASICO

RPM =

AMP. =

BOMBA = 3/4" x 3/4"

CICLONES (5) de 2" invertidos colocados en serie

FLOTAMETRO en mm. Escala 0.250

ALIMENTADOR DE LOS CICLONES

PANEL : Termómetro circular escala 0- 60°C

Manómetro en Kpa Escala 0 - 400

Timer (Min.)

Arrancador bomba

Arrancador timer

TANQUE, CAP = 50 lt. aprox.

CBLDA DE FLOTACION GALIGHER

Model DLA-500
 Serie N° 81-75
 The Galigher Company
 Salt Lake City Utah U.S.A.

1. La flotación en espumas es un método físico-químico de concentración de minerales finamente molidos, el proceso comprende el tratamiento químico de una pulpa de mineral, a fin de crear condiciones adecuadas para la anexión de ciertas partículas minerales a las burbujas de aire.

Estas burbujas llevan consigo los minerales seleccionados a la superficie de la pulpa y formar una espuma estabilizadora que es recogida, mientras que los otros minerales siguen sumergidos en la pulpa. La flotación requiere de las siguientes condiciones:

- a) Moler el mineral a un tamaño lo suficientemente fino para liberar los minerales valiosos de los de ganga.
- b) Programar las condiciones favorables para la adherencia de los minerales deseados.
- c) Crear una corriente ascendente de burbujas de aire a la pulpa del mineral.
- d) Formar una espuma cargada de mineral en la superficie de la pulpa
- e) Extraer la espuma cargada de mineral.

2. MECANISMOS DE FLOTACION

La flotación es un proceso en que se persigue fundamentalmente la unión estable entre la partícula de mineral y la burbuja de aire. Para lo cual se acentúa el carácter hidrofílico en las partículas que ya tienen este comportamiento y seguidamente en las que no lo tienen, para facilitar de esta manera la concentración, mediante el desplazamiento

de las partículas hacia la superficie de las celdas de flotación utilizando a las burbujas de aire como medio de transporte.

Do otro lado se busca hidrofilizar aerofobizar las partículas de ganga así como las de mena que no desea recuperar.

Para que se pueda utilizar este proceso, se tiene que utilizar reactivos para crear todas estas condiciones en la forma mas conveniente para cada tipo de mineral que se trate de concentrar.

Para obtener un máximo de recuperación existe variantes de operación y de aplicación

3. VARIANTES DE OPERACION

1. Control de aire
2. Control de nivel de pulpa
3. Control del nivel de espumas en el rebosé de las celdas.
4. Control de la descarga de arenas.

4. VARIANTES DE APLICACION

El tamaño de las compuertas en el mecanismo de Hood, velocidad del impulsor y difusor.

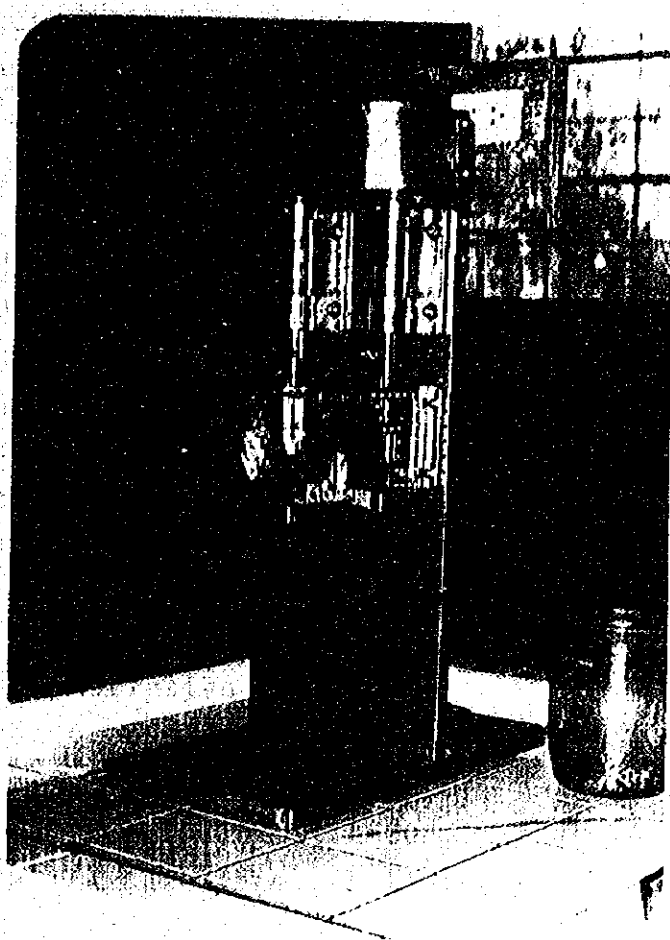
Control de aire.- El aire pasa a través del tubo (stand pipe) del mecanismo de Hood y es mezclado con la pulpa en la zona de aereación o sea entre el impulsor, el impulsor está diseñado para crear una mezcla uniforme de aire y pulpa aereaada a través de la celda.

La acción de difusión, creada por el difusor es esencial para obtener una diseminación perfecta del aire a través de la pulpa mineral.

5. EQUIPO DE FLOTACION GALIGHER LABORATORY AGITAIR

Model LA-500

1. 3 celdas de flotación 2,000gr, 1,000 gr, y 500 gr.
2. 3 ojos impelores para las 3 celdas



- 1.
- 3. Sistema de trasmisión por faja
- 4. Tacómetro para regular las R.P.M. del impulsor
- 5. Switch de arranque
- 6. Motor monofásico
- 7. Operación de descarga
- 8. Sistema de aereación

5.1 Celdas de Flotación

Lugar donde se realiza la flotación propiamente dicha debido a la agitación de la pulpa provocada por el rotor y también por el ingreso de aire por succión y/o compresión de aire el cual es controlado mediante una válvula. Las celdas son de material de P.V.C. duro en cuyas bases se encuentran los estabilizadores de acero inoxidable rodeando las paredes de las celdas, este material permite observar el proceso de espumación además de ser antioxidable y anticorrosivo.

Consta de 3 celdas de las siguientes características:

Celda para 2 Kgrs. $h=15\text{cm}$. $L=20\text{cm}$. $A=20.5\text{ cm}$. cap. 5,610

Celda para 1 Kgr. $h=15\text{cm}$. $L=20\text{cm}$. $A=15.5\text{cm}$. cap.=3,200cc.

Celda para 1/2 Kg. $h=15\text{cm}$. $L=11\text{cm}$. $A=11\text{ cm}$. cap.=1,800 cc.

5.2 Ejes e impulsores giratorios

Constituido por el eje e impulsor que forman una pieza y son para cada celda que realizan la agitación, homogenización y entrada de aire por su cavidad central.

Características:

Eje-impulsor para celda 2Kgr. $\phi = 10.7\text{cm}$. 18 estrías

Eje-impulsor para celda 1Kgr. $\phi = 8.7\text{cm}$. 17 estrías

Eje-impulsor para celda 1/2 Kg. $\phi = 6.9\text{ cm}$. 16 estrías

Eje central : 9/16"

5.3 Sistema de trasmisión

Formado por la polea de trasmisión del motor, el motor mismo y polea del eje central.

Las poleas son las que regulan las R.P.M. del eje de las celdas a través de un regulador y la faja correspondiente que regula el diámetro de la polea del motor, haciendo la faja mas y menos tensa de acuerdo a los requerimientos, controlado mediante un tacómetro; permitiendo de esta manera aumentar o disminuir la velocidad angular del sistema.

Dimensiones de la polea del motor : 4"

Dimensiones de la polea del eje : 4"

Faja N°4L-190 P4S

5.4 Tacómetro

Instalado en la parte frontal superior de la estructura del sistema sirve para controlar las R.P.M. del eje de la celda:

Rango de velocidad: 0 - 1,500 R.P.M.

Marca : Stewart-Warner

Chaveta del tacómetro: 1 3/4" x 1/8"

5.5 SWITCH de arranque

Dispositivo manual tipo palanca para arrancar o parar el sistema.

5.6 Motor: General Electric Mod. 5KH35JN 26X

Características:

HP = 1/3

V = 230

R.P.M. = 1,725

H₂ = 60

PIL = 1

CODE = N

BALANCE METALURGICO DE LA PRUEBA DE FLOTACION DE Pb

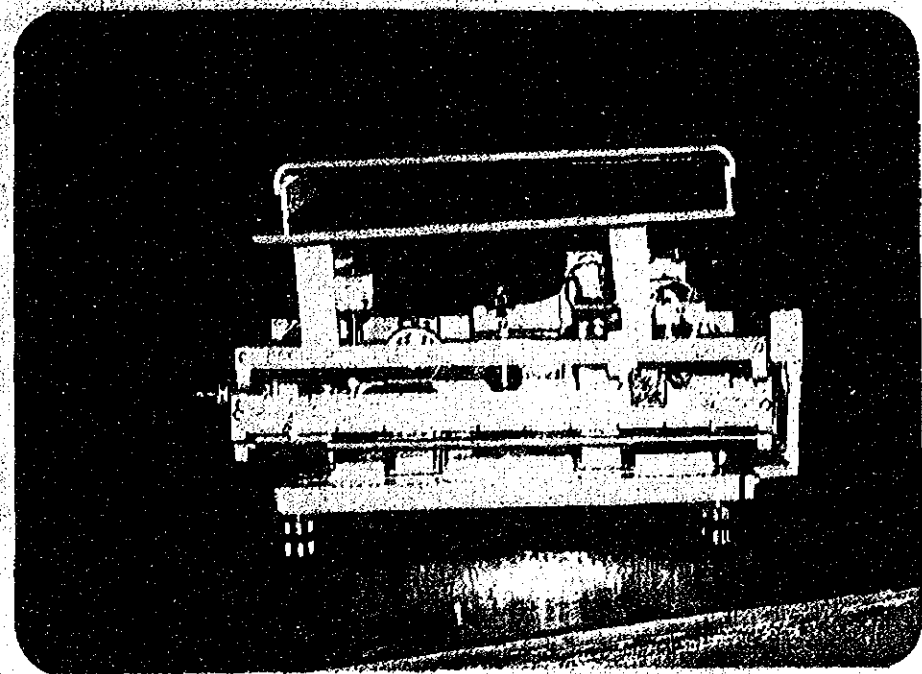
PROYECTO	PESO	%	LEYES						DISTRIBUCION			
			Pb%	Ag	Zn%	As%	Se%	Pb%	Zn%	Ag%	As%	Se%
Rougher	444.50	30.08	42.95	1.640	22.57	3.20	2.75	32.64	50.50	33.9	28.19	25.65
1era. limpieza	224.00	15.16	63.52	2.056	11.03	5.45	7.40	29.35	12.44	21.24	24.20	32.08
2da. limpieza	239.00	16.18	71.99	1.928	6.07	5.68	8.04	29.45	7.31	21.47	26.92	37.20
Scavenger	304.00	20.58	22.18	1.204	2.08	1.91	1.19	11.53	5.18	17.05	11.51	7.00
Relave	266.00	18.00	4.54	0.508	19.59	1.74	0.014	2.07	26.57	6.29	9.18	0.07
Cab. calc.	1477.50	100.00	39.58	1.453	15.44	3.41	3.49	100.00	100.00	100.00	100.00	100.00

17) OTROS

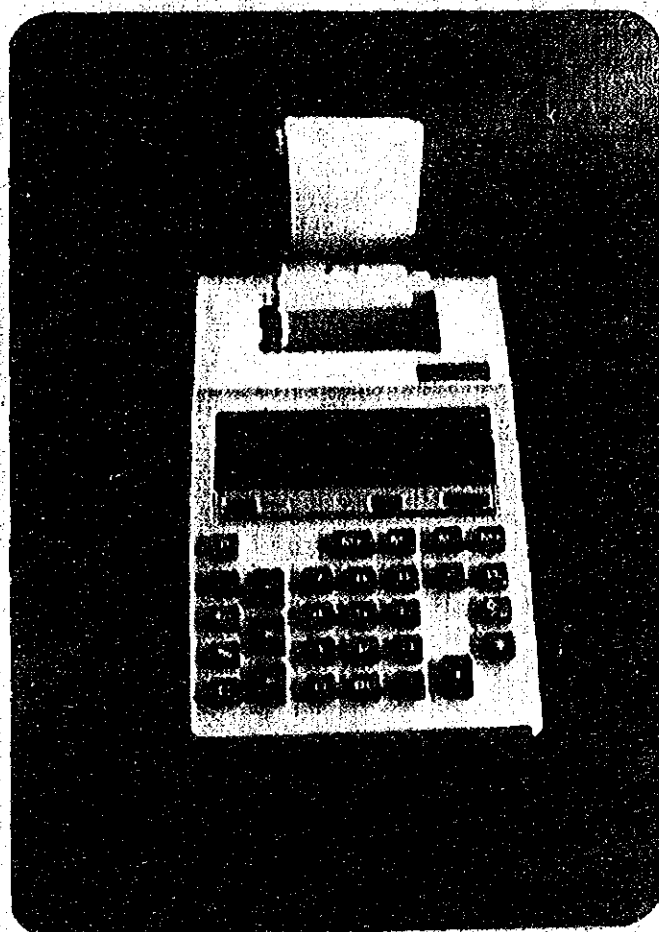
En el presente Informe se mencionan algunos equipos donados en 1980 , como se puede apreciar en las páginas del 2 al 9 , por ejemplo los utilizados para efectuar mediciones en minas y algunos equipos médicos.

También en esta relación hay equipos como : balanzas, aparatos para medición, compresor de aire, bomba de vacío, filtro de vacío y presión, micro bomba, agitador magnético, medidor de flujo, calculadora con impresor, etc.

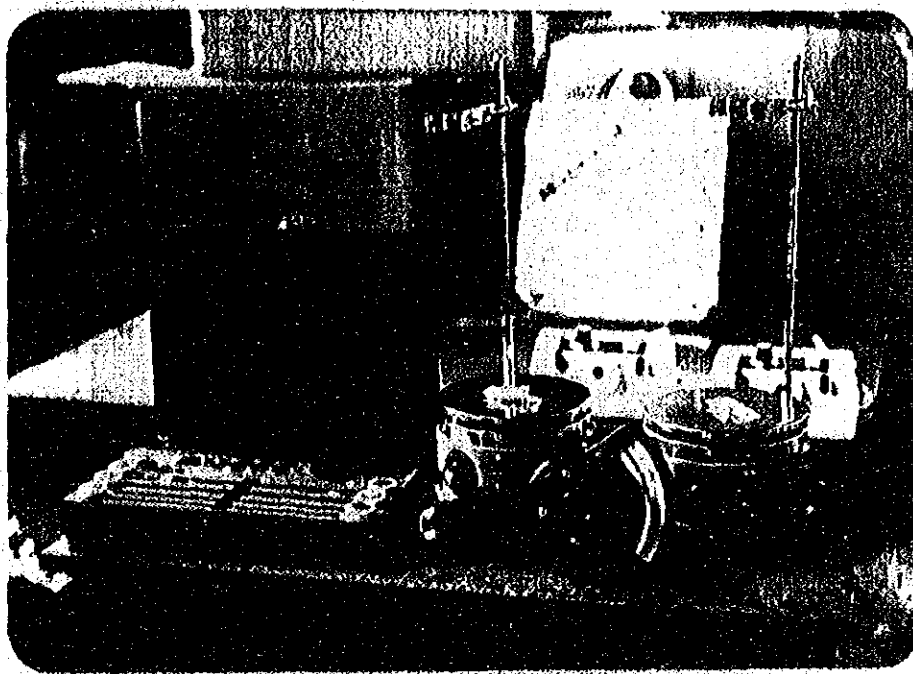
En las fotografías que a continuación mostramos se pueden apreciar dichos equipos.



BELMZA (3B-9)



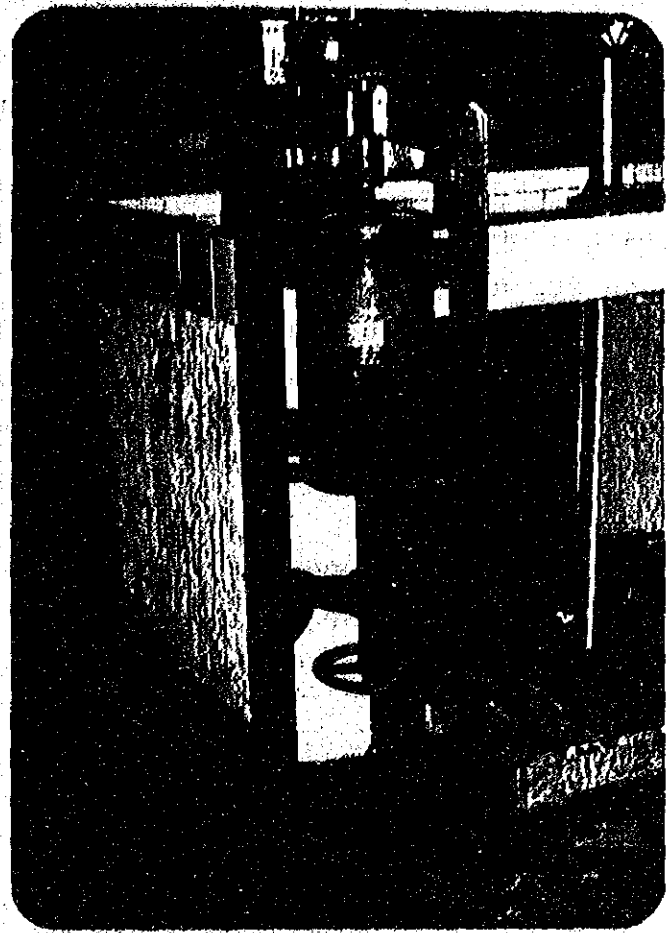
Calculadora con Impresor
(3B-26)



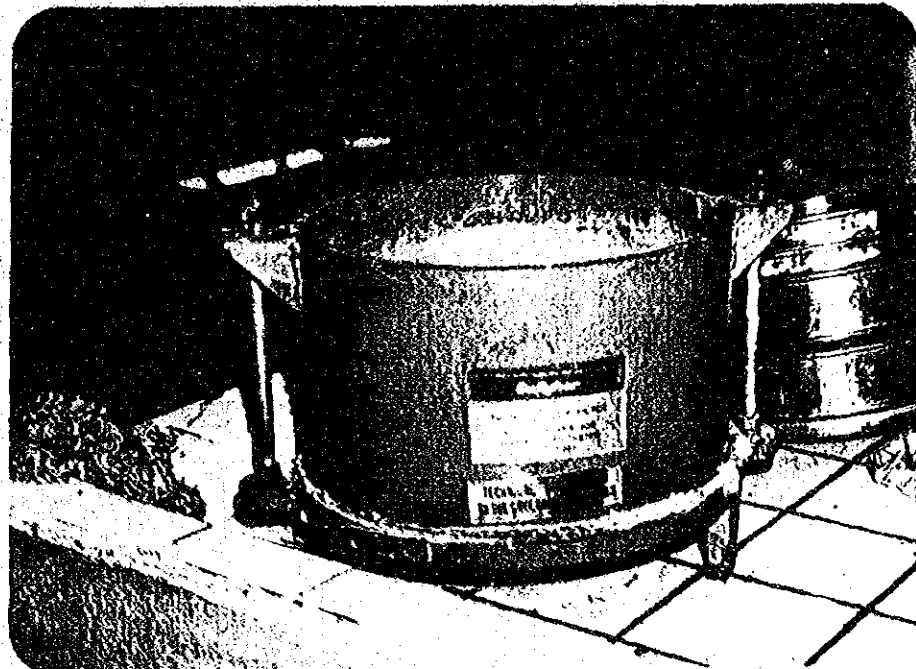
Medidor de flujo (3B-25), Agitador Magnético (3B-22), pirometer (3B-13-3), micro bomba (3B-21, etc.)



Compresor de aire (3B-17), Transformadores, Amperímetros (3B-13-1), tacómetro (3B-13-2)
Separador de barra estriada para muestra
(3B-24, etc.)



a) Filtro de vacío



b) Filtro de vacío

FILTRO PARA ANALISIS (3B-20)

RECOMENDACION

Conjuntamente con la relación de los Equipos donados en 1982, se adjunta la información que sobre dichos equipos han elaborado algunos profesionales peruanos en cada campo. La finalidad de este documento es la presentación de los equipos ya mencionados y su forma de uso. (Manual preliminar)

En los casos de los equipos más complicados es conveniente obtener información más concreta, a fin de elaborar un manual de uso para cada caso. Entre éste último tipo de equipos están :

- a). Equipo de Rayos X
- b). Equipo para Estudio de Fisiología Pulmonar , Modelo OST 80A
- c). Aparato de Análisis por Fluorescencia de Rayos X.
- d). Aparato para Medición de Adsorción Atómica.etc.

Es también recomendable establecer una norma de procedimientos para el uso rutinario de cada equipo.

Es nuestro deseo que se de un uso efectivo a los equipos donados y que se obtenga beneficios de ellos por mucho tiempo.

Eleuterio León Rodríguez
Ing. Eleuterio León Rodríguez
Director General de Metalurgia

Aquiles Figueira Loli
Ing. Aquiles Figueira Loli
Director de Mineralurgia

Saúl Ramírez Gomero
Ing. Saúl Ramírez Gomero
Jefe de la División de
Procesamiento de Minerales

Edgar Peralta Vera
Ing. Edgar Peralta Vera
Jefe de la División de
Optimización de Plantas

Manuel Godoy Martínez
Ing. Manuel Godoy Martínez
Jefe del Área de Planta Piloto

César Ilorena Velásquez
Ing. César Ilorena Velásquez
Investigador II

(Signature)
ING. JAVIER LI ROBLES
Jefe de la División -
de Seguridad e Higie-
ne Minera

(Signature)
ING. HÉCTOR GAMERO R.

(Signature)
SR. JORGE SÁNCHEZ A.
Técnico

(Signature)
SR. TEODOSTO SÁNCHEZ R.
Dibujante

AN/IAT

JAPAN INTERNATIONAL COOPERATION AGENCY

MISSION JAPONESA DE MINERIA

Takamasa Hotta

ING. TAKAMASA HOTTA
Director General

Kazuhiko Chimura

ING. KAZUHIRO CHIMURA
Director

Akira Nakamura

ING. AKIRA NAKAMURA
Director

Nagayasu Taniguchi

ING. NAGAYASU TANIGUCHI
Director

Tetsuo Kagiwada

ING. TETSUO KAGIWADA
Director

AN/LAT/ett.

1981年度供与の鞍山保安育成ミッション機械機器 について (JICA供与)

1. 序 論

1981年12月より供与は次の三グループに分類出来る。

I. 医療機器

II. 分析用機器

III. 治金研究室用機器その他

これら機器と価格(円)は表1表に示される。

簡単に述べて、以下のこれらについて要項と並び又次で得られた測定

結果を示し、各々について実用上、マニユアルと特に機能の複雑性
の度合について記述することとし。

表 1 表

I. 医療機器	¥17'225,976.
II. 分析用機器	¥37'805,855.
III. 治金研究室用機器その他	¥27'374,869
III-A. 鞍山での測定用機器	3'063,600
III-B. 鉱石処理用機器	24'311,269
丁~Ⅲ 合計	¥ 82'406,700.
IV. その他、機器(医療機器)	513,060.

	項目	メータ	台数	価額
I.	医療機器			
1.1	X線装置(1×3), モデル DWM-1000 アンペラ-型 100KV, 0.1F, 220V, 60Hz, AC	日立製作所	1	¥ 17'225,976.
1.2.	X線装置用アクセサリー 1) 超音波用 晴望用品 2) フィルム カセット等 3) 防護のための被覆 4) 消耗品 5) 診断用具		1部	¥ 3'689,750
1.3.	自動車 "Land Cruiser" トヨタ モデル FJ60 4WD 4ドア エ-スト停電機, モデルオフ2.8WD 220V, 60Hz	三井物産	1	¥ 1'538,926
1.4.	セ-タ-停電機, モデルオフ2.8WD 220V, 60Hz	日立製作所	1	¥ 1'250,000
1.5.	自動理療機器: 葉山共 RG-II型	富士X線	1	¥ 859,000
1.6.	肺機能測定用プロ-ボリューム モデルOST-80A, AC220V, 60Hz	テクニカ	1	¥ 3'953,120
1.7.	同上 アクセサリー		1部	¥ 276,000
1.8.	葉山被覆用具 1) 酸素マスク, 10型 2) 同 アクセサリー	東松製作所	2組 1部	¥ 894,760 698,600 146,160
II.	分析用機器			¥ 37'805,855
2.1	葉山X線分析装置 1) ガイガ-カウント2223064M 2) 同 アクセサリー	理学電機	1 1	¥ 24'890,000 21'892,000 2'998,000
2.2.	原子吸光光度計 1) 本体 モデル170-30型 2) 案上記録計 561 3) コンピュータ SC-3	日立	2 2 2	¥ 8'553,000 5'602,000 500,000 500,000

No.

J.I.C.A.

項目	メーター	台数	価格
4) カンダード・ランプ Ag, Au, Cu, Pb, K, Zn, Fe, Mg, Na, Mo (Ca-Mg, As, Mn, Ni, Co)	(15) 分子2)	30	1'237,000
5) グラフ用紙		20	26,000
6) ガスボンベ; N ₂ O, C ₂ H ₂ , H ₂ , Ar	(4種) 分子2)	8	552,000
7) 高温燃焼炉		2	138,000
2.3 光電光度計	日立		2'061,500
1) 本体 100~60型		1	1'650,000
2) 記録計		1	390,000
3) タングステンランプ		5	7,500
4) D ₂ 灯 27°		1	64,000
2.2, 2.3 総計			② 1'146,500
(2.2, 2.3 計)			9'468,000
2.4 不差熱分析装置, DTA 30型 220V, 60Hz	鳥津	1	¥ 3'447,855
DTA-30M型 試料保持装置 (0~1000°C)			
DTA-30H型 試料保持装置 (0~1500 °C)			
III. 冶金研究室用機器その他			¥ 27374,869
II-A. 銀山用測定器具			¥ 3'063,600
3A-1 CO 検出器, モデル FC-231	理研機器	2	660,000
3A-2 NO ₂ " , モデル FC-260		1	345,000
3A-3 ガス検出管 CO, CO ₂ , NO ₂ , SO ₂ 等		20	7,600.
3A-4 風速測定器, BEERAM型 20° [△] 方部 携帶用		3	51,000.
3A-5 駆音レベル測定器, N181		1	443,000.
3A-6 電気風速計, S10000AN型		1	145,000
3A-7 ピエゾバランシング物量測定器 S.I. VIT型 (KANO MAX)		1	512,000

	項目	販路	箇数	価格
3A-8	SO ₂ 検出器、1248型	理研	1	900,000
3B-1	酸性処理機備 2) フラットランプ-(327W-771型) 吉田製作所		1	241,311,269
3B-1	1017L-C型、1段、180×100 ^{mm} 220V, 5.5kW, C-3-		1	1,800,000
3B-2.	1) ニューブラック-(四分割) エフN1026B, 30kg/p, 15~13kg, 220V 1.5kW C-3-		2	2,200,000
3B-3.	水平型 Brown 粉碎機、19種類 1025HB, 10kg/p, 220V, 1.5kW C-3-		2	1,100,000
3B-4.	木"→V→V 1) 1140A, 200φ×250mm, 220V, 0.2kW 2) 1140B, 350φ×350mm, 220V, 0.9kW		1	540,000
3B-5	木"→V→V(3種類) 1138B-2 180φmm×2, 220V, 0.2kW		1	135,000
3B-6	振動式V(直立型), エフN1042C, 650~3600rpm, 220V, 0.2kW.		2	2,100,000
3B-7	バラン, 50kg型, 水平型	理研製化	1	50,000
3B-8	バラン, 重量型(普通型)		1	290,000
3B-9	軸型バラン, 2kg, V型		1	240,000
3B-10	" 1kg SM型		1	240,000
3B-11	pH記録計(②点式) HMR-3F, 0~14pH, アセチル.	東亜電波	1	529,000
3B-12	工業用pH記録用電極.		13P	1,96,780
3B-13	電気録計 1) 電流・電圧・抵抗測定器 (Cramp-meter, CAM-270D)	72-129-		93700.
	2) 334-9-, PT-3型	2-218	1	65,000
	3) 1910X-9-, 2674型	3-229	1	143,000
				63,000

項目	目	メーター	箇数	価格
3B-14	2号浮遊式UV 1) "Agitair" 2号浮遊試験器, モル LA-500, 電流容積, 500, 1000, 2000cm ³	三井工業	1	1'350,000.
	2) "Fahrendorf" 2号浮遊試験器, FW50, FW-100型	振動振型	2	1'200,000
3B-15	ワーフ・インテラクス測定用回路 305mmφ×305mmL, 0.4KW, 220V	川口製作所	1	1'450,000
3B-16	粒度分析機, W-2V型 (ヤツロサイツー)	Raca(富士)	1	57061,739
3B-17	コ・ア・レバーナー, NRK型 PS-15. 100/min, 7.5kg/cm ²	日本理化社	1	82,000
3B-18	過濾計, NRK型 D-2-1回転式 PW=100, 100%min, 10mmHg	機械	1	212,000
3B-19	粒度分布測定解析器, 薄光室 SKN-1000型	セルル	1	1'800,000
3B-20	分析用浮遊機 1) 過濾計, 10TF-A-400 ガラス-研磨PT, 内容量10L 2) ガラス-12圧型浮遊機 2cmφ	三井工業	1	159,000
3B-21	半量浮遊・木C-2, NRK型木C-2 HR-200, 0.5~20ml/h, 5~200ml/h	日本理化子機	2	298,000
3B-22	電磁搅拌器, NH-12型 経175mm	機械	2	124,380
3B-23	圧縮空気浮遊分析器 伸縮管-Fahnder, ePN MS9000	宮本	1	346,000
3B-24	試料用硝子管 10mm, 6mm	川口製作所	1	86,000
3B-25	2D-X-9-C型, A2S-14.	川口理化	1	132,000
3B-26	印字計算機	速印文具	1	21,000
3B-27	複数磁石連続 200mmφ×100mmL	機械	1	1'235,000

No.....

J. I. C. A.

No. 6

J. I. C. A.

I. 薬理器械

Dr. 佐野辰樹氏によると、薬理科医誌 Vol. 55. No. 3, p. 159~162 に
述べられており、「ペルーアリマ・珪肺病による鉱山保険について調査」

研究の目的で、(1)國が当國で訪れた経験から、これは秋ミックロンと
並んで3種類の病であるか——、多くは山が高高地帯に存在する事

は、(2)鉱山中心の労働者に存在する珪肺病の特色は、低地鉱山
での労働者との関連で可成り、異っており、次の医療機器を用ひ、

研究を更に結果的に行なう事と期待している。(付圖参照)

これら機器を使用すると、ペルーハンマーは、珪肺病の程度の分類

を可能として珪肺病のペルーハンマー標準を確立できますと思われる。

(3)目的で、X線カメラの使用が必要である。宇宙バルーンの自動遠

隔装置も同様である。肺機能の測定は、高地と海のペルーハンマー労働者の中の差を確定するに於てあり、同じ肺活量であつて、

参考として取られた血液中のヘモグロビン量は大きくなり、5813は

160 g/L労働者が 12~16 g/dl であったのに対し、Oroya の労働者は 17~25

g/dl であった。

鉱山保険は、利子救助のための貯蓄マネジメントより、又考

慮されている。トヨタ Hand Cruiser の場合は、この國の海岸か
ら高山に位置する鉱山セントラル、LIMA から移動 (33 = C,

研究大に付けて)。最後に、借手資料、据付、摘要の在庫に
来る山岳、日本×アインの松浦和男、トヨタの根岸弘之氏に詳
細な案を提出した。

I X線装置

社 摄

型 : DWM 1010G-100KV -30Ma.

No : A 12894-10

コアバ : GWH-S 1010EZ. No A 12899-03

コマーター : 211-11-AIJ 型 No A 1307-05

自熱電球 630 1/2 SP 型 12V, 40W.

メカ : 日立メテイコ.

電圧 : 220V, 単相, 60Hz 10A.

運搬用の箱入り・コリメーターを入れた木箱と別々装置があり、コンデンサーは、擇選装置、運転台より、まことに追加される。

被写體

これは、多くの患者の肺・レントゲン写真とその他の、X線装置である。
必要に応じて、量を調整するため、光電子管セクターが設けられ、

自動的にエレクトロモーター、ステータに接続され、実際の稼動における
被験者の胸郭の厚さに無関係に、レントゲン像の濃度を調整する

が、経験で豊かに習り込んでいる。

機能

(機能、記載は、結果から照射までの過程の要約の形で示す)。

注意

A. 昭射の前に、試験用蓋 E もってコリメーターを覆ふべきである。

B. STS が立った右時、最初に 18 ホルダ 1/2", つづいてコンデンサーの
スイッチを切って、常にコンデンサーを放電すべきである。

II. レントゲン・フレム用感光板

社名

シリ-ズ : No. 8523310, 型 : X-1-A, 富士

電圧 : 220V, 単相, 60Hz, 10A.

概要

自動的にレントゲン・フレムを処理する装置であり、何基も手作業で为之する必要はなし。約4分間で解消するため充かにレントゲン

フレムを得ることが出来る。

機能

(機能の記載は、被線からフレムを装入、取出までの過程を要約的形で、後にマニアルの形で書める。)

注意

- A. 少量の薄縮水、融解ラインおよび少さねタブの適当なレベルを保つこと。
- B. 適当な暗室内で操作すべきである。
- C. 使用の前に約10分の加熱を行なへるべきである。
- D. 定了した時適当な溶脂の詰葉をつくり、許容期間満たしてあること。

III. 肺機能・物理的検査の実験装置

仕様

型：OST-80A, 21-3°N° 251089,

X-D：chest C.

電圧：電圧蓄貯器，220V, 単相, 60Hz.

概要

空気の導入・導出口3対、一つのパイプで閉回路でしく装置
である。肺機能テストには

VC(肺活量), FVC(努力性肺活量), V-V(7D-ボリメ
カーツ), MVV(分時最大換気量), FRC は測定される。

操作盤に取付けられた計器は、予測値と併せて各部の
測定値を示す。また各試験が行われた際、監視値と共に

着紙又は記録用紙に印すもの。

性能

機能の適確性、次に軽度の評価は次の如き。

A. 電線の直線

B. 試験者データ

C. 呼吸試験

a) VC(肺活量), b) FVC(努力性肺活量)

c) V-V(7D-ボリメカーツ), d) MVV(分時最大換気量)

D. フラフの製作

注意

A. 各試験終了後、40-70秒間は清め換気を行つて

B. 実験室は直射日光を避ける

六、全肺活量測定器(カシオ) 201X-9

仕様:

型: ウンク BD 34-2 N° PB 0,502.

電圧: 220V, 50Hz, 60Hz, 有効.

概要:

この装置は、肺活量測定器 201X-9 の測定器本体である。

一回目 1230cc = ~3(77) L 测定するに用いられる。

携帯用で非常に軽く、肩掛け操作で手元が簡単に操作

可能で、組立式で Baldioma で 17 分で容易に測定
が出来、試験グラフを書いて肺の運動のコントロールが可能。

試験容量 1L 4500~5000cc で A.B.

機能 (Manual 参照)

呼吸

7.12. ドリューム(肺)の説明.

1. (VC) (Vital Capacity) 肺活量, 测定

(IRV) (Inspiratory Reserve Volume) 吸気残余量

(TV) (Tidal Volume) 1回換気量

(ERV) (Expiratory Reserve Volume) 呼吸残余量

註: 最大呼出量 (FVC) 努力性肺活量 = 5 s.

2. (FVC) (Forced Vital Capacity) 強制肺活量

MMF (最大中期呼気流量) $\frac{1}{3} FVC$ (l/sec)
 $\Delta t (sec)$ gradient?

(FEV_{1.0}) (Forced Expiratory Volume 1") 1秒率

($\frac{1}{3}$ FVC) $\frac{1}{3}$ 強制性肺活量

($\frac{1}{4}$ FVC) $\frac{1}{4}$ "

(AT)

(MMF) (Maximum midflow) 最大中期呼気流量

3. (i-V) (Flow Volume Curve) 7.12. 17. 11. (II) 級

(PF) (Peak flow) $50 - 70 l/s$

(V₇₅) (75% flow) 75% 7.12. (l/s)

(V₅₀) (50% flow) 50% "

(V₂₅) (25% flow) 25% "

(Z₅₀VC) (50% Volume Curve) 25% 7.12. 11. 38.

(50%DC) (50% " ") 50%

(75%VC) (75% " ") 75%

4. (MVV) 最大換気量 (maximal Ventilatory Voluntary)

入力リストの説明

① 実年齢、性別、日付、測定部位、判定(異常、良)、年令、呼吸徐速
 ② 入力時はP(吸込)とS(呼出)とR(吸込+呼出)の3種類で入力
 ③ 判定及計算式

予測値かじり呼吸の筋肉

1. VC、肺活量 (Berglund - 成人用) 真因 + 予算 (15歳以上)

$$VC_{pr} = (76.3 + 0.0112 \times 年令) \times 重音 (k) \quad (\text{Baldwin})$$

$$(3.172 + 0.0101 \times 年令) \times 重音 (k) \quad (\text{Lund})$$

$$VC = 3.60 \times 1.15 - 2.37 P \quad (\text{SP, 信頼限界} 12.83 \pm 6.54)$$

$$= 39.3 \times 1.15 - 26.57 \quad (\text{L})$$

2. FEV1.0% (Berglund - 成人用)

$$= 91.79 + 0.373 \times 年令 \quad (\text{PSD} = 7.19)$$

$$= 92.11 + 0.261 \times 年令 \quad (\text{PSD} = 8.44)$$

3. V' > 5/秒 (Yekhanna - 成人用)

$$= 1.796 + 0.0109 \times 年令 \quad (\text{PSD} = 0.216)$$

$$= 1.823 + 0.00088 \times 年令 \quad (\text{PSD} = 0.036)$$

(肺活量 VC)

4. VC (測定値)

5. %VC (VC/VCP_{pr})

6. TRV 予流速流量 (測定値)

7. TV 旧呼吸量 ("")

8. ERV 予備呼吸量 ("")

(第3回呼吸) FVC

9. FVC (測定値)

10%FVC (FVC/VC_{pr} × 100) (21%左右)

11. FEV1.0 1秒量

12. FVK1.0% 1秒量 (FEV1.0/TV × 100) (22~23%)

13. FFDV1.0/VC_{pr} パス指数

J. I. G. A.

(V-V) 呼吸測定

14. PE/Ft 最大流速/秒(1s) PF = 1~3.70
15. V₇₅/Ft 75%肺活量の流速/秒
16. V₅₀/Ft 50% " "
17. V₂₅/Ft 25% " "
18. V₅₀/V₂₅ 50%肺活量の流速/25%肺活量の流速
19. 総気量呼氣流速

(呼吸)

20. %P.C. 延肺容积と肺活量判定

80%以上は	FC
60%~80%	FI
60%未満	F2

21. FEV1.0% 延肺容积 1秒率判定

(F=180, F+181, F++182)

22. V₂₅/Ft 延肺容积 V₂₅/Ft 判定

(F=180, F+181, F++182)

23. 捕音分類判定

FEV _{1.0} %	Restrictive (狭窄性)		Normal	
	FIXED (混合性)	obstructive (阻塞性)	(正常)	
70				
80				
90				

(MVV) 最大筋力換気量

24. M₁V_{pre} プリバブ (Baldwin-Person)

$$86.4 \times 0.822 \times 4.6 \times 5.6 \text{ ml/min} (\text{lit})$$

$$(76.3 \times 0.91 \times 4.6) \times 4 \quad (\text{lit})$$

25. BSA 24.7 面積

$$BSA = 1.1^{\text{a}} \times 1.1^{\text{b}} \times 1.0^{\text{c}} = 1.18$$

26. 213.8 / 1.13 = 186.6 (lit/min)

33. MNV 多核聚大煙管型 (MPT/MNV, px 103)

34. MIV/BSA 細長而直型 (MIV/BSA)

VI. ヘモグロビン-X-9-

A) ヘモグロビン-X-9-HB meter 303-A

社名

型 : HB X-9 , モデル : 303-A 74

シリアル No 5746-422-549

メーカー : ERMA 芝浦機器 Ltd.

電源 : 220V, 60Hz.

概要

血液試料瓶。ヘモグロビンの量を次式 $y = 33.91x + 0.14$,
測定した値を基に、電流計により ST-14S 級標準

直接示すことができる。

機能 (マニコール等用)

勧告

運搬のため商当は箱と用意し、又アマルド石鹼液、ヒヤット
商当1392-7を買つてお置きのうえ。

B) ヘモグロビン-X-7-HB-210

社名

モデル : HB-210 , シリアル No 2180-422-5412

メーカー : ERMA 芝浦機器 Ltd.

電源 : 220V (30W) 買取後必須

概要

同上

機能 (マニコール等用)

勧告

運搬のため商当は箱、ガラス罐・試験管購入のうえ。

VII 搭乗用投影機 (2)

社名：モデル 2人×4人用

メーカー 宁山X線Co Ltd.

概要：

診断・説明を容易にするための直射照明、レントゲン写真を取るのに用いられる。

機能 照射の通り。

VIII 搭乗用機

社名：モデル：2.5kW No99R-8875L

容量：2.5kVA , 31-2 No H800521741

燃料：ガソリン (PA. 220V, 60Hz, 単相)

X-カーボン一回分。

概要：機器と稼動するための電源、供給に専用工具
が完全自動化が出来た。ハンドル一稼動式。

機能：

(P=2ルーム用)

IX トヨタ Land Cruiser

社名：

モデル：F-560, 1IV-ke , 21-2 N°

モ-2- No 2F525449 , 色：青

生産年：1980 , フレートナンバー：RI-6501

燃料：ガソリン 84オクтан , X-カーボン一回分。

概要：

4輪駆動、運転容易。

6人乗り又、多くの荷物を運べる。

機能：(P=2ルーム用)

X 呼吸装置（酸素呼吸器）

メーカー：川崎 モデル N.10

I. 概要

酸素を一定量流すことによる室内回路で働く装置で、その

回路は、封有された二重被覆のゴム管にて排気と再利用室へ
が出来、酸素は調整器を通じ、ダクトから供給される。この

装置は以下のことく利用される。

一般小、消防所、工場、化学研究所、地下商業ビル、ホテル
船舶建造等。

一酸素の欠乏があるかも知れない危険な場所、又は、硝化炭
素、硫酸塩水素、メタノガス等が存在する場所。

一火事の消火、建築作業、救護、装置の保守点検、又はこれら
の操作に極度の強度が付する。

これら装置は、水の中で“反応”(hyperbolic)の環境では
用いられてない。

II 特徴と構成

この呼吸装置は次の特徴を有する。

1. 密度が高く、軽量。質量12kgの目的で、この装置は薄い
半面型("half shell" type)であり、P.W.=4kg、T.W.=7kg

材料を用いている。

2. 高い信頼度、安全性、且つ操作簡単性

a) 酸素装置システムは、自動制御装置をもつ肺呼吸器。

b) 残留圧に対する警報装置。

c) 本"20"にて、この装置のため生物学設計のため燃焼

験が行われた音声装置の設置位置。

d) 保守・点検は、予め非常用の人達以上で行なわれるべくする。

3. 危急の場合に、その使用は簡便に行なう。

a) CO₂に対するストラバーをもつ医療装置故その利用は、酸

素の閉回路の外に直接用いらる。

b) 酸素フックの中ではCO₂のストラバーレとつながるため適切

が必要としない。

4. 低廉な利用コスト。

この装置では、CO₂ 225ml/min (KALIME=川崎シタツ化)
のカタライザーを置換する。

III. 技術的詳述

川崎呼吸装置 No.10型の技術は次表の通りである。

No. 記載順

指定期制

1. 頭	C-120, 完流型, 呼吸能制御, 敷所有, 円凹型 圧縮酸素供給装置
2. 眼(眼鏡)	通常之脛肉 (目安 JIS M 7601規格以下) 40%の呼吸管理時, 約2時間
3. 第一量	約 10.5kg (總重量, 全裝置) 約 9.9kg (總重量, マスク付全裝置)
4. 尺寸	長さ 135mm, 幅 350mm, 厚さ 140mm
5. 酸素ボンベ	材質: 20L モリブデン鋼, 容量: 1.5L 最高最大圧力 150kg/cm ² , 機械強度 250kg/cm ²
6. 酸素流量計	流量定義 3スル, 1.5l/min, 30kg/cm ² 呼吸能における酸素自動制御 3スル
7. フル	川崎カラム脣肉。重量約 1.45kg 正味。
8. 呼吸用袋	内容積 555L
9. マスク	全面覆ひのマスク (エラル 8Kg および 10CD)

10. 本成部品の構成とその機能

1. 小樽酸素呼吸器 Mark 10型開閉方式	次の部品が含まれる。
酸素シリンダー	1
供給バルブ	1
呼吸用袋	1
呼吸管	1
始動自動装置	1
スーツケース	1
マスク	1
調整器	1
マスク	1
自動排气装置	1
CO ₂ スクラバー	1
残留瓦斯排出装置	1
屏摺具	1
呼吸用小部品	1

装備の一般的構成は次のとくである。

マスク	音声装置付, DB入出力, 排気バルブ
排水穴	微生物除菌装置, 排氣装置, 呼吸用マスク
圧力計(マスク)	燃動自動装置, 送給バルブ, CO ₂ スクラバー
O ₂ 供給管	呼吸用袋, 甲流送り管, 離脱用自動バルブ
圧力調整装置	レバーバルブ, 清掃管, マスク管, 酸素シリンダー

(2) "ハルフ", "複雑解釈技术", "ミリターハルフ"。

II. 分析用器具

INGENIEUR はよりの分析能力を増強するため、管式X線分析装置、原子吸光分析装置、分光分析装置の採用、企図され、最近開発され使用されている分析装置と競争力をいかねばならぬ。これらの装置を如何的に利用すればよいか、分析

処理能力は本質的には増加するに至る。但し、この場合、又、分析の技術を實際に應用するたびに、同一試料について化学分析と比較検討する時間が必要である。

幸いにして、INGENIEURの研究階段は、ハートとシドの両方について大変熱心に努力してあり、測定室の温度、湿度、荷重、配水配管、煙道、排氣導管について、又多くの元素に対する標準曲線の作製等と金意、保健中である。

又、我々は特に管式X線分析装置の設置の方々、JICA事務局と共に技術的設備指導に努力された理学部生物工学科ゼミナーハウス内、翠原亭二氏口つて販賣と造り下さい。

1) 極端X線分析装置, ; 神戸 (Geiger box, No 3064.12)

(a) 極端X線分析装置本体 (販賣 1,2)

テル No 9579 日付: 7月27日 No 31.35M

V = 200, A = 8, Hz = 60

b) ETL No 9581, 指標: V = 200, A = 2, Hz = 80

シリーズ No 12032, 日付: 1981.

c) ランス No 9320125 (熱の相互交換装置)

d) 高圧トランジスタ (電圧) : テル No 2984, 21-2 No D120711

e) 亜ノイズ半導体: TEL INR-212-1,

21-2 - 1-FA = 02, 日付: 1981

f) その他

X線吸収装置, 高圧ターブル, 電子機器

X線管, LiF, FDDC ADP-GF 等の半導体。

デジタル計算装置, 比例計算装置, 清掃用器具等

ガス濃度変化装置, 電気回路パネル, フラッシュ装置

デジタルストリーマー

SOTI 油圧機 (カロイ No 9302)

極端計測装置用振動シール (カロイ No 9303/M)

振動シール用変圧器, AC電源 (カロイ No 3182/A2)

ハーフ (500V/e>1), タンクランクハンド電源 (カロイ No 9304/L)

1981年8月13日, UNI大学構内にて受入山古箱引向搬入開始。

8月18日より搬入, 振動実験, 1981年9月9日まで個人的練習

8月27日, 10月15日, JICAとSV会員が訪れた。

極端X線装置, 測定は53試料, 8月15日, 試料加一次X線束

を照射された半年後, 存在する元素, その半数以上は放射性
元素である。照射後, 分散, 檢出, 加熱試験面のスペクトル測定

よつて少規約(半回復用)。

之、精選は鉛元素より重の系を抽出するが如く。

原石番号 13M320 (AlからCaまで) の重の系は PC(比例計数管) と 90% フジコ / 10% メタルで含むガスを 0.4, 22 (1%) から

92 (1%) まで、重の系は SC(ニチレーラー計数管) を用い。

同样、半回復、回復の系が行なう。

分析の結果。

a) 単純分析

b) 半定量分析

c) 重量分析

これらの試験は重元素と同じ順序まで行なうことがある。

これら試験のスペクトルおよびグラフを示す。

CP. No. 1 図において LIMA: Cia Minera El Pendo 金銅
精錬 (0.27.23%) の単純分析、半定量分析、重量分析

多くの鉄と銅、若干の亜鉛、少量の Pb を含む。(Rh, As, S
は X線管による。)

No. 2 図では、半定量測定の結果、13%を示す。この場合、入
又はそれ以上の品位が知られてゐる。必ず同一条件で金銅。

含有量によるビーグの大きさを測定すれば、ついで、同じ條件で
品位を知らせて同じ条件にて測定すれば、金属の品位には

3% で 3 ビーグ、大きさと比較して、半定量の品位は 20.3%
である。No. 2 図において Cu 1%, 50%, 85% の場合 3 ビーグ

186.99, 16.440, 3,600
3,99, 186.440, 3,600
と互換。一般に計算量測定では、 $\pm 2\%$ の誤差が許容される。

以上、本機の平均値は 203 と標準偏差と便携である。更に、この測定では、測定範囲は $3^{\circ} - 29^{\circ}$ 以下の 5° 間隔 (斜面) の場合、 15.01° の角を用い、

$3^{\circ}, 42^{\circ}, 43^{\circ}, 47^{\circ}$ までの範囲で自動的に動作するが標準。
半導体では、Cu, Zn, Fe の定量分析の測定結果を示す。半導体分析によ

る前測定値と異なり、このでは Cu, Zn, Fe の量は 3 通り $\pm 0.5^{\circ}$ の範囲内
が測定される。用いた元素金属測定の角度は $15.01^{\circ}, 41.8^{\circ}$

57.5° のそれと Cu, Zn, Fe の 3 通りとされた。測定の後、高純度
シリカレーニングカウンタ 数との関係が測定した各金属の濃度

が算出され、これが “検量線” と云われ、この測定と同一
條件で得られる未知濃度の試料を計り、定量分析が行われる。

37.5, 一度測定條件を決定すれば、この條件で全量を $\pm 0.5^{\circ}$
モードで記録の一回に收められ、更に 3 回測定が必要である。

また、またこの操作は自動的に調整し、次回の測定では同じ条件。
反、印刷機構を持つ測定装置は文字で $28.38 \pm 0.5^{\circ}$ の表示を

これらの装置は完全に利用可能であり、初期の測定には測定の精度
高い操作が実現される。

更に、X 線散乱分析装置において、少しお手間はかかるが、半導体当園に
到着後、一ヵ月とあります。日本では分析装置と並んで販売店様

あり、多くの研究所、工場で使用中、日本 500 倍以上全世間に
輸出されています。

2) 滤過は半自動的回転式回定水素、3373は「鋼製アクリル槽、
5分間」で、61.0ml、容器に下中收められた6.8mlを分別定量出来。

3) 目的のため、粉末の形で各成分を計量し、油圧機(「開放」形
に(写真))に投入して12.3kg。 (とは云は溶液からの溶解で添
付出来3kg、特種の容器で用いなければならない。)

(文獻)

- 燃料X酸用実験スコープ第1,2卷、理学器械、1981年-1981,
X銀管(256P)のための実験スコープ、理学器械
- 燃料X酸スペクトルラーメン、スコープ N°ME 301AD、理学
器械X酸スペクトルラーメン
- 装附テクニク、燃料X酸分析装置によるスケール用意、1981、理学

何れも 日本語、英語二ヶ国語である。

2) 原子吸光分析装置 (専用 A)

1. 原子吸光分析装置 日立-170

ETN: 512-0072, 29-2 No. 5537-10, JOB: 64-3116

2. VZ-9 - No. 561

ETN: 561-1004-0, JOB: 11287122-22A

3. ニュートラル

Ag Au Cu Pb K Zn Fe Mg Na Ca-Mg Hg As

2 2 2 2 2 2 2 2 2 2 2 2 2 2 2 2 2 2 2 2

Mn Ni Co

2 2 2

total 30

4. 高温炉燃焼室

5. グラフイック

6. ICP-7270V型, 日立 SC-3型

7. N₂O 水素

8. C₂H₂ "

9. H₂ "

10. Ar "

原子吸光分析装置は、分光分析装置による方法で、当該元素の原子の光の吸収と測定の其他の過程、適当な波長の光源の電圧の強度

と照射束が用いられる。この方法は、適当な條件で操作して調整すれば、溶液中に容易に揮发する元素の標準物質の条件、定量分析が可能

である。この装置の原理上、半導体半導体、カソードランプから出る光は、UV・可见光、存在する過程と同一の条件の半導体半導体

ある。この回路、前に説明した通り、銅酸化物があり、33.93%
銅、錫、鉛のカントラントが用いられ、これは試料溶解の際、溶液
によって銅を含む蒸気が漏る時、銅に対する特別な者は、この回路
を吸收し、その蒸氣をもつてオーバルに到する。この状況は、この
測定における溶液液相の銅蒸気含有量による。回3のグラフで、
この測定における銅溶液の標準滴（既知試料であるから、次回の
收の3倍と銅）濃度の計算誤因と利用（未知試料の濃度を
計算出来る）。この間に試料の銅含有量を知る事が出来た。

各元素には水、特に各カントラントが必要である。この研究
所ではガスを抽出し分散させた後の煙室を設けた。1月2日
18時。

文獻

—原子炉之焰火スペクトロメーター、モル1970.30.11.3-23.11.
日本
—モル 561型レコード用記入欄 — 日本、東京、日本

3) 塩水、河川) 混合水質分析装置 (内面)

E.I.C. 分析装置、モルタル X : 100-60 型

N° 100-0160 型、39-2 N° 567.8-2

220V 50/60 Hz

レコダー、ガスラン・ラン、ラン・トリム・ラン

～ 装置は 1980 年に INGENIERIE が設計したものと同一の
機器であるが、自動化された分析装置で、スクリーンを回転させ

たる操作方式がある。この装置の原理は上記の E.I.C. 分析
装置と大体同じである。3 の各元素、塩素、吸収波長 410 nm

溶解の色吸収と用いている方法である。これらはラン・ラン・ラン
とラン・トリム・ランが用いられる。

比色測定により同じ操作方式で、移動有色溶液について
分析を 3 分以内で終了する。

文献

- ガラス管・スペクトロ・フレンチ : モルタル 100-60,

100-60 混合用マニホールド、日本・東京

- 日本モルタル 200 型 レコ-ダ- 220V

4) 热量热分析装置 (島津 DTA-30型)

概 要

ATD(热量热分析)は、一定の速度で10度/分程度の試料の温度変化の速度を研究するものである。すなわち、熱の放出・吸収が測定される際の相の転移、化学的反応などを示す。つまり、又は昇温(元引)・構造変化の研究に適している。たゞ試料が約40度以下と加温されたら、温度は一定の速度で増加するが、溶解の

如き吸熱反応があった時、温度は停滞し、試料は周囲の熱の吸收をつける。被加热料、溶解に用いられるから、温度は全然か

溶解するまで多い。結果として、温度、変化速度は0である。同様に事は、溶解の場合の外、試料がガス溶解する場合(539.35) CO_2 放出)、構造崩壊の变化、溶解、脱水などの場合に用いられ、これらすべては吸熱工程である。

分析法の應用

热量热分析は試料の重量の変化をとつて、試料の分解

率は、ATD(热量热分析)321.133、ATG(熱重量分析)によつてり検出する。とは云え、热量热分析は、主に試料の重量を

56%含むない物理的変化を検出する。この点が異なり、結晶化、相変化、固溶状態の均一性、試料の高さ低下等である。

これはすべて、試料中の熱の流れがあり、DSC熱反応である。

定性分析は、既知成分析と問題の主成分分析法を比較して実施している。この形から試料中に存在する物質と(1)定性。

定量分析は、分析すべき成分析物の変移で明確にする数量と次室式にある。同じ成分析物の量の変移はあくまで量と化す。

較て、混合物中の各成分の量を算出する。

従つて、定量的分析は、問題とする試料を加熱し、同一の

小によって既知物質を用いた物理化学的変化と研究するための新方法である。分析の应用は、冶金、セラミック、繊物、塑料理等、範囲は非常に及んでいる。

装 置

島津 DTA テストは、島津 30 シリーズの分析装置の一つである。

次の基本的單位から成る。

DT-30 調節單位

DTA の他に DA-30 増幅部

R-22 T 記録計

DTA の他に DTC-30 調節支持部

DT-30 調節單位

これは次の熱分析テストのうち並列に利用される測定部

常温炉、差熱分析(DTA)、熱重量(TG)、差熱容量(DSC)、その他熱分析テスト。更に DT-30 は、この他の分析機能、利用する FC-30 流量コントローラー内蔵する。

その他の余地をもっている。

DA-30 (導線部)

DA-30 塗装部は、試料と摺摩物質との温度差を感知するものである。

R-22T 記録計

これは、入力干渉記号とパンの動きによる拡大と統一の、
重複の記録装置によって印字する連続記録装置である。

DTC-30 試料支持部

試料支持部は、火、電気炉保護措置、検知エレメント、基盤
部から成る。

主要な種類の中の試料支持部は、弾性支持の高さ
により三つの型がある。

高温用 : 1300°C ~ 空温

中温用 : 900°C ~ "

低温用 : -150°C ~ 200°C .

検出器は DTA のもの特別な場合は $6^{\circ}\text{C} \sim 20^{\circ}\text{C}$ である。

高温用 : PR (1500°C ~ 空温)

中温用 : Pt (1000°C ~ ")

低温用 : CA (-150°C ~ 200°C)

尚実施例として Al_2O_3 , NH_4NO_3 の場合 1650°C 参考 133 年
熱分析曲線が 520°C 物質について示す。

III 研究用設備

これは二つの部分に分類される。

1) 試料採取装置実施のための装置

(1) 飲物処理(水の試験)

中3の如き、攜帯式の水流量、濾過測定器以外は販賣終了品。

○と△印である。(3A-水槽用)

本邦23年3月、多所の販賣計画調整機械(3B-1~3B-6等)、測定用装置、3B-11~14(3B-2~

~3B-10), pH計(3B-11, 12), T-1~2, 2.2, 2.3, 2.4, 2.5, 2.6, 2.7
高星計(3B-25) etc. その他、飲物処理試験用(3B-26)

(2) 滤過機(3B-14, 3B-23), 3.1(3B-15等), 水質分析装置
(3B-16, 3B-19), 硫酸鉄(3B-27) 等の如き。また、T-1~2, 2.3~

3.3~4.2, 3.4~4.2~(3B-17), 漂白粉(3B-18), 3.5~
(3B-20), 3.5~3.7~(3B-21), 排糞機(3B-22), 測量器(3B-26)

等がある。以上、既に二つ挙げたが、既述の如く、現在
アーバン化の度合、即ち、工業化の度合によっては、

これら機械の中から、飲料調整用装置は、上述の如き機械上
密接な関係あり、即ち INGEMMEL 2.2~2.5 等の装置の如き

設置される事の多い事であるが、これら機械の組合せによ
り、今後若干の改良が予想される。

以上の如きの機械は、主として、飲料の製造、販賣、輸出に

前回のオーダリスト中、次、かゝつた品目である。

- 1) フレーベンラント 1070kg 型 (3B-1)
- 2) 四分音付コーンフランジ 1026kg 型 (3B-2)
- 3) 水平型フランジ端子 1025kg 型 (3B-3)
- 4) ボールミル 1140-A, 200φ×250mm (3B-4-1)
- 5) ボールミル 1140-B, 300φ×350mm (3B-4-2)
- 6) ボールミル(新規) 1138B-2, 180φmm (3B-5)
- 7) 振動ミル, FZM 1042C (3B-6)
- 8) FW2号连接 SF-13 SF-14 (3B-14-1)
- 9) PZ-2号连接 PA-500 (3B-14-2)
- 10) 压紧装置用分配器, 3D鋼板 Fabber 1189000 (3B-23)
- 11) 核密度分布測定解説書, 游歩型 SKN-1000型 (3B-17)
- 12) 滤液分离连接, 200×100mm (3B-27)
- 13) pH記録計(3連式) HMR-3E (3B-11)
- 14) ローラインテンクス測定用木製皿 (3B-15)
- 15) サイクロツイッタ (3B-16)
- 16) その他 の各種

1) ブレイクラッシャー(シングルパンチル型) 1970-C.型.

ブレイクラッシャーは、粒度を減少させる目的で、碎石と砂利の粗粒である。このFの方式は、最も簡便な方式で、砂利(骨材)は、粗粒の砂利

の粗粒に強いが、 $=>$ 又がより、固定した刃の先へ砂利を落す(アリ)。粗粒を落す粗粒は、砂利より多くなる。この粗粒は、砂利

に他の砂に混じる。砂利を落す(アリ)又は粗粒を落す(アリ)される。この砂に砂利(骨材)に破碎される砂利へ落す(アリ)、 $=>$ 分解

(アリ)。有効13万錠力と、砂利破碎室から粗粒を送出す力がある。この力が、常に受けたる、應力(トーション)すらも、ある。上の摩擦と砂

片の重量の和が少々多い時、落出(アリ)しない; 但し、場合によっては、
砂利(骨材)は、接近し、押しつぶされると、大さな塊となる。3.53kgで、

もつと弱い部分まで、折断と落すことが出来、これが前進して新しい圧縮を
来させる。最後に、碎かれた砂利は、その口より少し出口から破碎機

を走る。ブレイクラッシャーには、この重量11パントン=10m³。

強度。大きさ……すべての粒が、最も弱い砂利を破碎する所調節する
3種類が要因である。

排出の大きさ…… $=>$ 排出物と砂利率比を調整(アリ)。

落下速度……砂利から出る粒子と離れた時。

ブレイキ222hpの容量は、鉱石の性質、給銘り(アリ)、排出口、調節
強度の大きさ、ブレイキ、表面の形・持性等による。この機械は、中

と6.39m³の砂利を年間100t。

ソレキ・クラッシャー導入は次の年度から了。

2.1 棒又(1. 東)外部

2.2 固定又(1)

2.3 可動又(2)

2.4 トップル(筒)

2.5 はずみ車(2)

2.6 信頼システム

2.7 モーター(1)

2.8 スイング(1)

2.9 破碎機のベース支え。

2.1 棒又は東部外部。 固定棒又、増えられたの刀刃付棒又、2.12
12.2.5.9.1、振動が吸収される。

二つ部分と構成している本機は、金属性鋼であります。自走されると刃口が
カーブする。棒の前内面は、固定又を支えます。

2.2 固定又 棒又木片止め用金属性、往來部屋と金庫を接する部
位にて、垂直又は傾斜にあります。消耗修理の部分で、その表面は溝が
切られており、高マンガン鋼であります。

2.3 可動又 一束の角棒で、棒又(固定又)の前に置かれ
て、棒又で止めてあります。高品質、鍛造鋼で、ハンドルと一体であります。
また、固定又と同の特性で、同じ部屋にいる部員が操作する
ため、可動又は 14" × 7" の大きさです。

2.4 トップル 下方の部分にあり、可動又と組み合った 52.23kg の
組合せ。作りねじの産物で、大いに開閉します。安全要素とい
て用いられる、金属性鋼であります。

2.5 はずみ車 旋回アームと同時に、往來を制御を保証する
装置で、駆動、駆動と旋回装置の力の伝達のため、以降は支点からなる
平面上の距離を 13.3' × 19.1' まで車 12.23' の通り。

2.6 伝導マグネット... 縦4"×2"×12"リバーブラック。重さ約
万均刃の半分の中央に取付、23'径の(はり)から1.9ヘルツ3.5V/合せ
れで動かすんだ。

2.7 モーター 3相モーター(白銀)

日本製造、TF0, 1HP, 220V, 20A, 3φ, 1740 rpm.

27-2 No. 806947193SK, KV: 5.8KV, 60Hz, 4"×7"

2.8 スイッチ 5.5KW, 22A, 250V.

2.9 破碎機の支持ベース 破碎機、走行車、モーターと接続して、保護用
スリムモード、又は水平伸縮式バーを用いた。金属の含む割合は、鉄13%
47%アングルから13%。その寸法は 65"×27"×23"である。

3. 使用方法

3.1 破碎エネルギーは2kgの鉱石を用いた。

3.2 ごく薄物、半度粉碎で多い、各部は1, 1/2", 1", 3/4", 1/2", 1/4"
16 meshにて分別秤量した。

3.3 一度破碎された鉱石が引かれて、排鉱口より出るまで調整した。

3.4 破碎機車に鉱石でつめはり排砂管にて給砂する。

3.5 7分かかる鉱石が平均3kgであった。

3.6 排鉱口38(4", 6", 8", 10")×72"の部と各部分を分別下端、計
15種別分析を行った。

3.7 食品: 排鉱口にて4種別分析の各部重量より、粒度と積算
重量%を算定 Grandin-Skumannの算式を用い、P80を求める。

(80%以下(海底)は31.3, 10%以上(粗)は16.9, 且つn=1000, D0=3.2D3
である)

3.8 調定値から、17~21.12.7.22.7.23.7.24.12月)類似鉱物の破碎率
或Y%を求めて、82.3 KW-Hを計算して(1.5 利用): 33.

1. はすみ車の車輪が走り、また、1.13mの車輪(内)部分に車輪の剥離が見られる。
 (はすみ車の)周辺で±8mmの溝があり、車輪中、3箇所摩耗により車輪の形状
 の変化が見られる。) 実験と3332回を除く。ある。
- (ペレーレで溶解し修理する事打合済。)
2. 制御箱 <なし>
3. ペレーレおよびヘル用保護金具が當全車(除外)。

表1. ペレーレ-22×38 鋼板・鉄板粒度分析

粒度区分 μ	合計 量		百分比 (%)	合計 量	百分比 (%)
	重量 (%)	直算 (%)			
37,500	1 1/2"	4.16	95.81		
25,000	1"	14.43	78.91		
19,000	3/4"	44.38	31.53		
12,500	1/2"	18.47	12.56		
6,300	1/4"	10.19	2.03		
2,000	10	1.91	0.46		
	-10	0.96			1.60.00
4,750	4			41.51	53.95
3,310	6			12.44	43.03
2,360	8			10.59	32.96
2,000	10			5.83	26.63
	-10			26.63	
	(100.00)			(100.00)	

P₈₀ = 28,300 μ

P₈₀ = 8,300 μ

(12月1日, 3面, 11-1, 8頁.)

2) ミサイレートリー・ランチャード 古田製作所

(No 6463-2, No 6468-1)

1. ミサイレートリー・ランチャードは、円錐形の壁と、れん壁によって制限された内部空間で回る偏心ビロの圧縮れて破碎される機械である。

ある。従って可動コンは、固定した4人ほどの壁の内側の各々の次に接続し、離れた時、新たに圧縮が行われる下方部分へ、鉛石の

割合が重力によって落とされる。

振子の軸は、偏心回転運動からその支点において離れており、APS.

機械が空で運転されている内、偏心と(3)の偏心運動によって偏速度で回転し、荷物があれば、~~ラン~~コンは、石碎石等へのとい運動、偏心の回転と並の方向に回転する。

動、偏心の回転と並の方向に回転する。

2. ミサイレートリー・ランチャードは、次、連続からなる。

2.1 鋼板金箱

2.2 鋼板調整棒

2.3 固定した消耗する板金をもつ円錐部分、ボルト等。

2.4. 刃形表面をもつ可動円錐部分。(エッジル)。

2.5 排出システム、排出物。

2.6 円錐と同時にかかる破碎機、基礎の清掃、機器の取扱いとか車の清掃室、案内1.27"

2.7. 円錐は偏心としたマフラーフリフタ部に露出する回転コンベクタを除く所、可動円錐部のベース。

2.8 伝動システム

2.9 モーター

2.10 3相スイッチ

2.11 破碎材保持のベース

- 2.1. 組合せ金 - 83% の D 103 破碎機に組合せ金が付いた。
- 2.2. 破碎調整機 - 1 本の出入口と 2 金属、板金か、均一な破碎機
・排石と配合率不一致は從つ分配する 2 通りあり、又入って半分割
か内銷と直通部門の 1 通りある。これらは直通され
れたり外れ落ちとして 3 通りでつかいあるシステムである。
- 2.3. 固定円錐部分 - このは、木工機械の破碎機の外殻を押さえられ
てこの磨耗可能な金板の下部分から成る。この固定円錐部分は、その
上部において可動と、最大口 2.7 cm × 1.6" 又最小口 2.5" × 1" の
寸法をもつアーチ (X 形金口) の可動コネクタでつながる。
- 下部では、排石 3 口の可動コネクタ形被り、破砕が行われる。9
全部が上面に 0.9 cm 又 1.1 cm (最小) の排石口達である。固定部
- コーン部分は、固定支持部は 2 ピオットで止める部分にて図示され
出来たシステムからなり、最大 22° の傾きをもつ。これらは破壊率が
外側にあがめた一連のボルトで固定される。932 例は、可動部 JV (E)
室部が全体の健全の半分として用いられる。
- 2.4. 可動コーン部分 - 傾心運動をもつ部分であり、又正の碎石と反対
である。この表面は傷をもつてなく、良好な破碎を助ける。9
部分はペリードトヨタの可動部と下部に存在し、D-29 IPN 160 で作
成する下部に存在するマフラーによって傾心運動をもつ。
- 2.5. 固定コーン部分のベース - マントルおよび歯車コーンが固定される
所である。

2.6. 三相スイッチ - モーターにより、起動される = 3P 70°V から 3P 110°
70°まで 150° - 180°, ベルト 1/2" 133.

2.7 モーター - 次、特徴をもつ。

自立、VTF0型、1.9kW, 5.8A, 3相、シリーズ No. 80888732-SIK
上昇温度 70°C, 220V, 1720 rpm.

2.8 三相スイッチ - 次、特徴をもつ。

250V, T-2 容量 1.5kW, リレ 6.7amp

2.9 ベース - 矩形コンパクト、モーター、破碎機、支持台と組み。破
碎機はベースにホールドされ、モーター回転する。ベース、寸法は
35 1/2" × 15 1/2" の大きさである。

3. 使用方法

3.1 破碎石は 555 点約 2kg、錫石 5 点、その他次回路で、の荷物、
粒度分析を行った。

3.2 この値は、14, 20, 28, 35, 42, 65, 100, 150, 200 × 22, 25 等の
各部品を秤量した。

3.3. 2273-1 により 破碎機を運転始めた。

3.4. 破碎機は既存の装置と一度分析を行い、出口の大きさ等の
調整し、又 破碎機は少しつつ注意しながら操作した。

3.5 細かいもの、並びに粗い 12-12mm 3 点。1-1/2" × 8 5/8"。

3.6 一度破碎されたものは、排水孔に除かれ。

3.7 3 種の小さな荷物により新しい粒度分析 10" 14, 20, 35, 42, 65, 100, 150, 200
× 22, 部分ごとに分別して秤量された。

3.8 研究、精度分析部分、度量、2020年1月1日付、2020年3月8日付

② 度量% の Gaudin-Shumann (Gaudin-Shumann, 1933) の式を用いる。

③ 80% の PT から Pao の μm を 精度分析する。

3.9 前回の値で、銅と鉛との必要な KN-H を計算する。T=7.7222

の結果を用いて、Ko-2-33, 2020年1月1日付で MET で修正研究
を行うことを。

(ア) 総要旨

支那鐵道株式會社
鐵道部機械局總務課

編號	年月日	重量	百分比	積率	重量	百分比	積率
1650	10	41.85	52.15	14.92	95.03	—	
2745	20	16.02	42.12	19.80	65.28	—	
5790	28	6.82	41.30	—	—	—	
3200	35.	6.20	35.1	11.9	53.37	—	
277	49	6.62	50.52	10.19	63.48	—	
20	65	4.53	25.97	2.7	34.93	—	
146	102	4.60	20.89	6.84	27.97	—	
105	150	5.00	17.60	7.77	20.22	—	
75	202	3.20	6.62	4.55	15.47	—	
	320	11.07	15.63	10.04	—	—	

→ 8° 11° ハーベライサー (吉田製作所)

No. 6467-1 および No. 6467-2

ハーベライサーは、粉体の状態で破碎するための機械である。高周波で回転している砂嘴を含む板金と、回転円板の二枚の円板から成る。磨

銅体。裏面に凹凸部(Φ 22.75-24.75 mm)、1枚の回転円板(Φ 95 mm)、57 mm 3。軸、円板、磨銅板全長 313.3 - 34.0 mm の 8 枚の 1/4" 中心孔。給

粉体は上部から入る水流、磨銅板の間に通り、調整(?)用板の内をスライドして、運び出される。

ハーベライサーは次の単位で構成される。

1. 給銅システム
2. 粉碎室
3. 粉碎調整システム
4. 排銅システム
5. 駆動システム
6. モーター
7. 送風システム
8. 支持物

1. 給銅システム - 角錐型、給銅装置、入口大きさ 4" × 6" の 3 個。
下部が 1 口があり、直接、粉碎円板の中央部から給銅される。

2. 粉碎システム - 1 枚の固定盤(他の回転する円形の板金一枚と)の
 $\Phi 9 = 19.75 \text{ mm} \sim 23.75 \text{ mm}$, $\approx 12^{\circ} \approx 22.5 \text{ mm}$ の碎粒度。

(Φ 9 磨擦による粉碎)の 3 個。φ 9 = 16.5 mm の直徑 12.5 mm の
8" の円板。

3. 粉碎調整システム - 小は、粉碎部、粗度を変えるための手すり、ハサウエイ - 9.14m、分割・接続された状態で構成される。9月11日

(2) - 20° 調整の機構と 0.5. 10 分割固定している。9月11日 12:22
小手243。

4. 排粉システム - 粉碎物の排出は、粉碎部下部の密着装置によります。

5. 電動機 27.2kW - 2.22kW-203124. - 11 齧引 (E-2-1), 他の駆動力 9.

(2) 乾燥機の作動 (2m3 利用 (粉碎))，Km 9.0.2.8.3. - 3 粉碎室
2.7m, 粉碎比は 1:4 で 径 3° の E-2-9-1, 2°-1, 12° の 1.8m の 3 (D-
9.2°) - 2.83.0.6.3.

6. E-2-1 - 3 相電動機 + 1 台の排粉機 E-3.

123, TFO 型, 2.0HP, 220V, 50A, 3相, 1720rph.
34-Z N° 80566866 (N° 6467-2), N° 80566863 SJK (6467-1)
1.5kW, 60Hz, 4 枚, E-2-1-C.

7. スイッチ - 2 種類特徴あり。

1.5kW, 6.7A, 250V.

8. 粉碎機支持ベース - 金属製, 150X170X-9.5-9-310.0.9
9-0° 30 平方分メートル 2.3.

4) 8"X10'木一ルミル (吉田製作所 No.6470)

1. 8"X10'木一ルミル付 廉銘 せひさ 構造は以下。圧縮と膨脹によると、粉
砂の鉱石を碎く動作をする。木一ルミル付、水平に走る軸(木)の

走りを回転し、内壁にライナーカー(内筒型)の二輪式、
三輪式の内部に適当な直徑の球の木一ルミルが、側面に厚紙糊付け

され、廉銘又は木と混合して運行される。木一ルミルは12.8mm(1/2")。

3.2mの回転のF.R.木一ルミルは、筒の長さは3倍の距離を走る。(2)半径

2.2"の一部は側面の上部蓋である。2.2mの廉銘木一ルミル
は圧縮・アリエジョン、密閉の蓋の作用で木一ルミルが走る。併

し筒と3輪式、壁の間に走り、走行距離は約2.2m、3.2mの中の
8分の距離が走れず長い行程多く受け、理想的な走行距離は約2.2m

程度。木一ルミルは、ハンド試験の場合、これら木一ルミル場合、
チヤードにて處理された脂油が必要に応じて差し込まれる。数秒の運転

(約2.2m)。木一ルミルの走行距離は、滑溜脂油が又は3輪式の速度と同様
機能せず(廉銘にあらかじめ回の半周、4.2-7.9m走る)。

木一ルミルは廉銘付乾式廉銘、擣葉機(水1%以下の含有率)、水潤
式廉銘(水235~85%含有ル)の擣葉機用に用いられる。

2. 木一ルミル装備は次の通りである。

2.1 ミル(附属高架)

2.5 3半回スイング

2.2 驅動システム

2.6 ミル支承ベア

2.3 ベンチ

2.7 ストッブ木一ル

2.4 破壊炉

2-1 之ル 次、部分から行ふ。

2.1.1 8" x 10' 9.778 ± 0.2 M/S 4.2 - 7.8" 33.5% 11.88
rbt 5" 33.5% 3.

1.2

2.1.3. 蔡文才、33歲

214. "義士行" 3月23日22時～23時

2.1.5. 二つの円形パッチ

2.2 馬鹿野球スクール — 斜形ゾーン組合せの3183。球速找り

七二一八 例題形は見ぬる人なり。又御事はからざるへ、薄田の間

2011-2 鎌川2284203. 29 管理員次924663.

2.2.1 22, 24° SW E 0° 3° & 9°; 30° W - 1 - 24X

2.2.2 銷售（減速機からモルヒ、活動）

2.3. 7-9 - 3捐目系制

123, TFOK #2, 200V, 1.20~1.10Amp, 1420~1700 rpm.

200W, 50~60 Hz, 391W M32065.

24. 成建枝 - N810216, 15:1 9 痘果枝

2.5 シンチ 3機 BS215型, 2,284, KASUGA FIGHTER

2.6 $\lambda^2 - \lambda = 2\pi^2 \frac{1}{3} 3.3 \text{ kHz, } 3 \mu, \text{ (1920-2023.2768 kHz, 3100, 3)}$

而 $y_1(0) \approx 6.2$, $y_2(0) \approx 42.9$, $y_3(0) \approx 18.3$, $y_4(0) \approx 27.5$, $y_5(0) \approx 23.5$.

2.7 木-UVの組合せ - 12" x 14" 从属UV22332, 厚さ1", 銀色

$13\frac{1}{2}^{\circ}$ 92.523, 80 E IV 9.870, 120 E IV 9.250, 58 E IV 9.150.

394-109191

3/8 92131 : 224 3-4 176

1932-73 : 389 5-10 128

3. 使用法

- 3.1 厚銅板 55.3kgめ、鉛石 1Kg と 49、予め破碎機中に石碎い後、(～2mm) 鉛石を 600~10×2.2. と 10.3.2.
- 3.2. 3.2. 施用量 粒度分析は 14, 20, 28, 35, 48, 65, 100, 180, 200, 325, 400
X 2.2. 2. 3. 2. 2.
- 3.3 粒度分析 55.2% 厚銅板 5 ミル程度、102l と 入水た (1:1.00).
- 3.4. 水温 10 度・太さ 5.5. 長さ 203.3.
- 3.5. 30W (20W) と 蓋をし、電気炉で 10 分間加熱 (100度), 30 分後 151 度まで下げる、動作止.
- 3.6. 15 分間走行後、シルを排除し、少量の水を 0.27.28.3.
- 3.7. 400×71.2 と て 温水で 分別する。① 400×71.2 は 25~27°C が好ましい。
- 3.8 ① 400×71.2 は 26~7°C が好く、上記の X 2.2. 2. 2. が 施用される。
- 3.9 O-337° エンカ - と 用ひ、秤量を 小さく。
- 3.10 その他の 施用法 により 排銅、粒度部分、重量と、形度と 重量の %, Gondin Shuman の 曲線と 作図し、P80 を 求めよ。
- 3.11. ～。補付 KWH あり。首鉛石、厚銅板 49 kg の 施用量の 10%， Work index 9.5 kN, 初回出率。

8" x 10" 板 - IV 级

38

47

S I D Y	X Y Z Z	Φ %	T B A O %
590	30	26.15	73.88
420	35	24.04	49.81
210	65	21.78	28.06
149	100	7.32	20.74
125	120	2.78	18.39
105	150	2.57	18.82
44	325	8.80	6.94
—	325	6.94	

差 80

S I D Y	X Y Z Z	Φ %	T B A O %
210	65	1.8	88.2
149	100	8.7	89.5
125	120	8.3	86.2
105	150	11.7	74.6
44	325	67.1	7.4
—	325	74	

5) 12" X 14" ボールミル (吉田製作所 № 6471)

1. ボールミルの記述 (前と併せて参考用)

2. ボールミル 12" X 14" (30 X 35 cm), 86 rpm.

3. ボールミル : V-V 14.4V, 27°~V~8.6A

9.5"~10.5" の範囲 7°~V~(22, 23, 24)

鉛

モーター : 日立, TFO-K型, 220V, 2.0A, 1780 rpm.

電源 N° 80457437, 0.4kW, 60Hz, 3相.

V3-2-9- : № 810216, 3相400V, 20A

三相スイッチ : BS215型, 250V, 2.2kW, KASHIGA E.W.L.L.

ハーフ : 49.5" X 23.5"

3. 使用法、2kg/鉛石使用 (参考用)

粒度 μ	粒度 %	鉛 %	率 割	
			%	鉛算出 %
1722	1			
20	59.0	26.15	73.85	
35	42.0	24.04	49.81	
65	21.0	21.76	28.06	0.71 99.29
100	14.9	7.32	20.74	6.52 92.77
120	12.6	2.26	18.39	3.22 89.85
150	10.6	2.57	15.82	10.71 78.80
200	7.82			21.81 57.03
325	4.4	0.88	6.94	45.35 11.68
525		6.94		11.53

6) 6" x 7" ホーリング (高田製造所 No. 6472) 方輪器

1. 頭丸 (2" x 14") ホーリングと同様の軸。

3,200cc の PVC 機械の流量。 6" x 7" φ 9280 mm > 7% D-3-
式。 21.2" - 9 上にあります。

5cm 積み、ワーリー 802 モータードラム VT.M.2" 30cm 32° - V-12
60cm 軸をもつ消連続の取扱い。 83.14 シルエット D-3-1 45° D-3-
45° R 180° H 3.

T-2-1 日立 EFOU-1T 型、220V, 2.3A., 1730 rpm,
200 kW (141P), 60 Hz, 3 相。

3相マッハ: BS215 型、100V, 0.9kW, KOSHIGA G.W.H.P.

ヘ-2 : 30cm x 60cm x 24cm

ホーリング : 1", 3/4"

1" 36g (44±1) N

3/4" 18g (64 ±)

ク) 1.5"×3.5" 振動ミル(吉田製作所 No. 6473)

振動ボールミルは少量の磨鉢された細かい物質について、粒子の粉塵から粉体の状態まで、該方式で率く操作する機器であり、磨擦又衝撃が

行われる。この振動ミルは、直角に組合せた円筒形の「 $1.5\text{ in.} \times 3.5\text{ in.}$ 」の圓筒形で出来てあり、これらは、ミルの主として、バネと減速機を組合せ

て、軽く振動運動により磨鉢が行われる。

シリカ等の内部には、磨鉢材として、 $\frac{3}{8}\text{ in.}$ 角形ボールが入れ

あり、これを約20gの停止すれば物質を細く混合する。

シリカ等の振動装置、主に、モーター、減速機又シリカ等の碎石

の間で、振動の強度によって、振動が行われている間衝撃を受け。

同時にボールについて回り、回転運動が伴い、又物質全体が回転

振動の運動方向へ向かうと、運動を行ふ。

この作用にて碎かれるべき物質は、磨擦又衝撃によつて碎かれ、すなわち細

かい程度になる。

振動ミルは、湿式と乾式の操作出来る。乾式の場合、容器内へ入

れ組み込まれた空気、導入により、運動様式は利先がある。全行程
吸入し、又物質との一回りこれが出来事又、乾式では湿式では、非

常に組み込まれた空気とが出来事。

2. 振動式: 1/3HPの装置は次の範囲からだす。

2.1 400 gミル(アセタリック酸、硫酸鉄、オル、コット)

2.2 圆形金属容器

2.3 馬8頭3人

2.4. 調查表(1)

2.5 cm (1)

2.6 互換スイッチ(1)

2·7 金属1-2

2.8 ボール予備

2.1 31V - 次，部分為 333.

2.1.1. 1.8" x 2.5" 9-429 2929-2 商当12磨鎗 8335

2.1.2. 43.9 萬, 2nd 7th 8.24.9.01325-2c

2013. 2.27 - 2013. 3.26 (8个/每周)

2.1.4. 《儿童图书馆》(35页) 安徽227人+12.11% + 14人+3
压縮。

2.2. 円形金属容器、二つは入口、出口、一つ一つの直径は65

令印229人×12.5%≈33人。即100%+3.4%≈103.4%。

2.3. 馬運動システム 振動速度を調整するモーターは水平位置か
左車輪より減速機へつながっている。減速機は、二つとも電源に

振動運動と振幅

2.4. 減速機 - $\text{dih}_1 \cdot \text{di}_2 = 125 \times 4.292767267 \approx 53542$

この減速移行はルテニウム金属性のルテニウム、速度減速移行モードの第三段階で、大きなもの円形運動を含む金属溶岩と

車速12m/s。この場合車両数を減少し、車両の運動距離を減少するため、車両間の距離を3.3m(9.2'')とした。

2.5 3相交流機 - B5215型, 100V, 0.4kW, KASUGA E.M.LTD.

2.6 火-5- 223人，機動工團營才2連原編制50人。

2) - 2) N° 3605, CG-11", 50/60 Hz, 100V, 4W, 50°C.

Corona, Co. LTD.

2.7 金原ベース - 420アンセルの金原板カラリヤ、振動膜物の
分散と3.2mのトロス線がある。 3.9m×1.1m 235"×13.5"。

2.8 2トン2ドール - 3/8"径、224本ドール1箱。

8. FW 漂浮セル SF-13, SF-14

泡沫浮遊は、細かく碎いた鉱石の物理化学的濃縮手段であり、この方法は、鉱石パルプの浮遊的処理とし、貯泥における鉱物粒子と附着する泥

滓の條件をつくり出し、この気泡は 10°C で表面に選択された鉱物と共に連れて、これを異なる密度の気泡をつくり出す事となる。一方他の鉱物は 10°C で浮遊しない事

が認められ、存在する。

(a) 脂肪鉱物から種々の鉱物を分離するため、先から細かい粒度の鉱物

を碎く事。

(b) 望む鉱物、附着の好ましい條件をつくる。

(c) 鉱石パルプにて気泡の上昇速度をつくる。

(d) 10°C の表面に鉱石を伴った気泡をつくる。

(e) 鉱物を包んでおける浮遊を基める。

2. 漂遊の X 力 = F_x

漂遊は、基質の上に鉱物粒子と気泡の間に安定した結合を確立する方法

(\rightarrow 搾取 \rightarrow 分離)

である。このため、粒子と液体水の特性を $S_3 = \rho_{\text{液体}} - \rho_{\text{液体}}/\rho_{\text{液体}}$ で表す。ここで $S_3 = 0.0012$ である。漂遊する際には、空氣の

気泡を利用して、漂遊操作や、表面活性剤による移動性の増加によって、濃縮を容易にする事ができる。液体水性であることは、回収率を高め、また小粒の鉱石の粒度が濃縮を妨げる事がある。

では、漂遊する鉱物、各 10°C における S_3 、その他の條件と

つくり出した時の結果を用いて見よう。

最大吸率を算定し、補正、操作、応用がある。

3. 操業の変数

1. 空気の吐き出力-V
2. パルプ・ペーパーの吐き出力-V
3. 気泡ペーパー吐き出力-V(セル尾端の)
4. 廃砂排出量-V

4. 応用の変数

ポート・エアダムにおける水位 H 。大きさ、1-ペラ、ゲイジ- m -角度。

空気の吐き出力 - 空気はポート・エアダムを (2.94×10^6) m³/s, とし、
又空気吹込地区でのパルプと紙滓PP、インペル比 $\beta = 1.5$ とし、 $\alpha = 1$

H^2 は、空気とパルプの吐き出力換算PP、 V と H を用いて空気と含むパルプの蒸発
を計算するため設計式を用いる。

分散作用以降 H^2 よりつくりた水位が、既存パルプ施設の空気と
完全分散せし五倍に重要な事。

5. SF-13 調達機材、単価約183.

- 5.1 漂流セル
- 5.2 固形磨擦(2)システム
- 5.3 驅動システム
- 5.4 3相スイッチ
- 5.5. モーター
- 5.6. 支持ベース

5.1 漂流セル - 望ましい植物で満切口濃度 15ppc , パルプ 12
m³/s, ポート・エアダム 1.5m で、空気を流入 $1.2 \times 10^6 \text{ m}^3/\text{s}$

3種類
種類やれ β パルプの換算 $\alpha = 3.5$ を用い、 $\alpha = 1$ は、 $\alpha = 1.5$ を用い、

以外はステンレスのライナーかである。検測用浮遊工程を能率するため、ガラスの壁がある。

2つセルがあり、次の大きさである。

#1セル $h = 12\text{cm}$, $l_1 = 12\text{cm}$, $A = 6.8\text{cm}^2$, 220cc.

#2セル $h = 10\text{cm}$, $l_1 = 9\text{cm}$, $A = 5\text{cm}^2$, 160cc.

5.2 排出2段式 - 銀色の膜面を覗き見えたが、各セルの下部に金網籠の
二重防護装置を有する。

5.3 驅動2段式 - モータ駆動アーム、回速度調節用アーム、ベルト
入力端子。モータ駆動2段式は、セルの軸の前車輪又は回転方向

を大きめに、+5°Cの範囲で調整し、3.36m/s²、
ベルト駆動用、70°～110°の間で調整する機構と有る。2段式が

= 0.9m/s²～0.72m/s²、2段式は、セルによってベルトを駆使して高歩
行70°～110°によって8cmを駆動する様である。モータ駆動アーム

9.83m×9cm、速度 調節ホルダ 10cm×26.3cm

5.4. モータ 駆動型 NO51 K90A-C2F-SI, 90kW, 220V,
60Hz, 1Amp, 1550rpm.

5.5. 3相2段式 - KASUGA-FVLID A#91-4710, D8215型,
150V, 0.4kW

5.6 支持物 セルモード支持装置 $A = 21\text{cm}$, $L = 10\text{cm}$
(左) ハーフ部品は木の重複13支保有あり、(右) 3支保有のセルが組合せ出来る。3支支持時, $A = 21\text{cm}$, $l_1 = 60\text{cm}$ 32kg

10) 高圧浮遊装置

1. 原理

1. 構造は、浮遊物の除去、溶液中の不溶物、分離・濃縮の技術を用いる。高圧浮遊分離の原理は次の如くである。
処理水、部分又は排水部分に、圧縮空気を添加し、圧縮された
溶解した空気が液面下で泡となり、浮遊物が気泡と、浮遊のため
溶液から少しずつ出る空気と遊離して、混合された時、
この間に非常な細かい気泡が生じる。この気泡は、溶液中の
懸濁物を囲んで、浮遊分離するところ出来、精製された
溶液を下部から排出する。
この後で次の手續である。

- a. 固体分離は非常な速さである。
- b. 溶液中の溶解した空気は分子と理論値と同様に利用され
て空気層が容易に判別される。
- c. 空気、溶解による操作は、同じ空気による方法よりも
他の操作で大幅に削減される。
- d. 利用される空気、抽出は、二十二ルーバル以上でなければ
ならぬことが出来、このため気泡の速度が正確でなければ
ならぬが、抽出はこの点で出来る。

2. 一 般

型：鋼鉄 - Faraday , 774V ; M.P. - 9000

21-2 N° 58-W-126 , 宿東製造所。

① 装置、記載

二の装置仕事、0.9083 (33)

一 AC電板、交流の 0.610A 9.122V の内蔵式、220V、電流を流入

II. 100V の電圧 33.0A, 5960Hz.

トランジスタ、電流 9.27 A/min を発生し、最大 510/Amin の I_{max}

3. 1. 壓縮寸法 3. = 9.17°V² - 18.77 - 7.98. 100V.

5. 1/4.4A, 5960Hz, 0.2kW, 1,930/1,920 rpm, 173.

2,400ml のアルミ製水槽シリカ。1.2m × 0.6m × 0.7m
高さ 1.23. 蓋から水槽へ 1.22.29 m の距離で、3.2 m の管

分岐。初めの管は、2.2°V²より修正した圧力を算出し
中央の管に接続、0.68/cm² の最大圧力をもつ水、漏洩と吸引を安全す

がおり、次の管は、水槽シリカへ 1.22.29 m の距離で 200 ml/min, 2/1.3
が設置される。

直径 6cm × 40cm 3. = 2.9 万 22 管の A. 1 方 12.111 管の A. 22.

ある。この管は、管内をよく洗浄され、清潔な状態

の下で利用される。

② 性能

性能とて次の結果が得た。

水槽シリカ、1P 12. 3.2 容積 34.03 80% の 36.2K × 10.12
水素 1.2, 3.2 容積 4.2. 9.16L C. 直径 8.12. (43).

3.2 容積 12, 3.2 容積 4.2. 9.16L C. 直径 8.12. (43),

電気コンプレッサーを動作させ、 5kg/cm^2 にて 3月 15日、～1X-9-10
織合ハーフトモドコ（中）

全ハーフトモドコ 3～5 min 間 由於ハーフトモドコの吸気口附近
< 安全に織合する様、運転中。

3分後、少しづつ中央の管のハーフトモドコ、スランバの水槽シリカ
に蓄積された水を開放、同時に気泡と水を放出せしめ、2P.S. 水と

試料は压と角度で 390m 高さまで上昇、消火栓 24177.5mm 伸縮
管よりハーフトモドコ後部に漏出物、上昇の際の膨脹が認められ、

5分後放置し、澄明な溶液、高さ 13m の洗浄塔、厚さ 3.9 安定度
加測定結果。

最後にガラス管柱下部、管から、澄明な溶液にて 30 分間洗浄
洗浄度を測定し、3 小時 40 分後、洗浄室へ送る。

3. 記載

電圧: 118-9000 (No 5-6-W-126), X-D- : 電卓整備所

機器:

a. 電動機 - 200V.A.C., 6A, 1φ ; 200V.A.C., 6A, 1φ,
トランス 0.6kVA.

b. 2.400ml 2 打力容器。 - 518309, 重り 5kg/cm²
mm² 148-2, 38-1, 安全ハーフトモドコ 1/4in²/42.81.

c. 90cm × 6cm φ のガラス管

d. 実験コショルダ - 150V.A.C., 1φ, 60Hz, 6A

モーター 0.2kW, 回転 270/min, 重り 5kg/cm²

e. 木製ラック 0.25 P-150. A. 378810.

4. 手洗.

a. 接続

— 100V のため容器、蓋を開け、容積 $\geq 80\text{L}$ の水道水又は処理水。

— 3段後、4つネルトで蓋を止め。

— 中央の管にコムの蓋をあき、下方に排水出口のあるノズルの箇所がある。

— 容器と高压容器は、片で接続し、空気コンプレッサーと高压ホースを接続する。高压ホースは、マックスバルブと接続しておけばいい。

— 220V から 110V へ、変圧器と接続する。電源は 220V 単相交流 60Hz、6A 以上である。

注) 8 (100V、電流 12.5 コンプレッサー直結接続 (33)
50Hz 時合、排出空気量は 30% の減少。

8. 手洗

手洗は $\geq 20\text{L/min}$ の流量と高压をもつ。

・ 領収高压方式

— 100V のため容器上に領収水 (処理水) 又は水道水を止め。

— 中央の管、片は完全に閉じ、3段後、管のノズルは 3cm \times 2.5 cm
の穴を開け、加圧する。

— 430cm³ (高さ 32.2cm) の水を注入する。 (灌
水量比 1:30%) 20.01 \times 2.5 cm² (高さ 5cm) の面積比 1:30% 2.63.

— 空気コンプレッサーと接続し、後マックスバルブで止
める (ノズル)。この場合圧力は 1.0MPa 上昇する。 3段後 マックス

9-5 必要な圧力を求める時、コンプレッサーの量をいかに算するか。

・バルブを3~5分間止め、オフセットコンプレッサーから問題題目(物)を
引いて33。

・が、問題があれば、コンプレッサーのベースとオフセットをより前に
押(矢張り)します。

・中央管、バルブと少し用意。この場合、圧力水が押上より下に又試
料水が混ざる。適置計が30%の場合、試料水30cmは9cm

・圧力水が加圧容器から加えられ、39cmは9cmまで中央管が
伸びた。

・空気を送りこむ、加圧容器中で溶解した水が加圧されてこぼれ
て泡が出て3、その後圧力の差によって、含まれた空気は泡から逸脱
を生ずる。このため、噴出して43cmは9cmまでと共に、シリンダー外へ
出す。

5. 記録

a. 中央バルブを開いた時、噴出物、上昇時間(測定開始)を記す。

上昇時間の浮泡、下限がはっきりと限られたので32秒ほど、試料
42cm以上に泡がまげてから、そのまでの秒数を記録する。

b. 同じ形で5分後、溶液の高さ、浮かぶ泡の厚さ、泡の密度等
を調べる。5分後、泡の密度は、装置全体を移すまで
38.2%増加、泡の形でいえば、1/38.2倍の厚さが30cmで203
cmとなる。

C. その後、ガラス管柱、下り口を向いて、あるいは逆の場合は分析を行なうため、容器に液体を入れる。

6. 洗浄

ガラス管柱の場合、それを取立つて洗浄すればよい。

7. 車體試験

a. 車體的 $n = 9$ 方程式試験(中央ハーフル)のときは、圧力容器中のベ

ルが常に減少するから処理水と逆流せねばならぬ。

b. 両端ハーフルを向き、圧力を導入した空気を逃す。その後、ガラス管柱

で圧容器から吐き出された量の純水を加える。中央ハーフルであり圧力容器の水を面させよ。次いで中央ハーフルを $\frac{1}{2} \text{ atm}$ にする。

c. その後、試料水(ガラス管柱といふ)を放出バルブを開き、又圧容器に空気を送るコンプレッサーを動作させ、望ましい圧力をもつて

放出バルブを開ける。

d. 前述方法と同じ PTS で操作を繰り返す。

8. 応用

a. 工程用中又は使用水(排水)中の懸濁物の分離・回収試験。

b. 使用水(排水)処理、たゞ装置中の沈降槽とろ過槽との比較試験。

c. 水と油、乳化油、脂肪分の分離試験

d. 試用川の懸濁物、鐵錆、染料等の溶解試験。

e. 口腔水又は糞水懸濁物の分離・回収。(S313件アマゾン河水試験)

9. 実験項目

溶解物

— 加圧條件(圧力、循環比)

— 気泡(24-L)の浮上速度

— 水(1L)の容積

— 不溶溶解物表面積、溶量

— 水質(PH), 游離CO₂, 酸素物, 移動等。

10. 実験結果

圧力と水温、空気の飽和度は圧力に依存し、温度に無関係

測定結果、容積中に測定した結果を表す。

圧力 kg/cm ²	1	2	3	4	5
溶解度 kg/L	24	43	70	93	125

11) ミクロソ・フット・サイザー

ミクロソ・フット・サイザーは、粉料の粒度測定用に用いられる器械である。この測定は、沈降原理と、光の消滅に基く。

測定の結果 μm まで、遠心分離機の助けにより非常に小さい粒子から $200 \times 10^{-6}\text{m}$ までの粉料に使用する。重液としては、水、インプロイアルコール、エトアルコール、エチレンジリコール、ミクロヘキサン等の液体を、粉料の密度に基づいて、または決定すべき粒子の粒度の分级において、使用出来る。

沈降メータ中での浓度は 0.05% をえた非常な低いものである。
ミクロソ・フット・サイザー装置は 4つの部分から成る。

1. 固有の測定装置
2. 記録装置
3. 遠心分離機
4. 超音波粉料分散装置

1. 測定装置

測定装置は、容積 20cc のガラスセルにて、両端は高さからその底まで、

沈降する粉料によって、沈降原理と光の消滅によって持つて測定される。このため、光電子セルが用いられ、懸濁している該当粉料といふセルの方へ、プリズムによって光があてられる。光が吸され、ゆっくりと沈降する粒子によって吸められる。こうすれば、懸濁液の浓度がたやすく決定出来る。

2. 記録装置

光電子セルの作用によると、液中の小粒子の沈降と、上記の

F12 対数紙上にグラフが作られる。

3. 遠心分離機

非常に細かい粒子を測定するため用いられる。この機器は、決定的な

短い時間で沈降することを好む³ ブラッシュ運動、影響²、非常によい精度

がかかる。

4. 分散装置 (SK Dispenser)

2~3年前、特に、超音波の作用により、液体中の試料粒子の分散のために

用いられる。

試料

ミクロ・マト・サイザー装置により粒度測定を行った後、その粒度を

測定室へ試料を調整せねばならぬ。粒度分析が行なはれることは
65, 100, 150, 200 mesh² 節である。² 200 mesh 部分が粒度測定用

12 用いられる。同様に ² 200 mesh 部分の比重が予め決定されたときに
用いられる。

粒度測定操作

1. Stokes 法則を用いて、試料、比重、液体、比重、液体、粘度を
用いて計算を行う。

2. 試料粒度、範囲は既に沈降高さを固定する。

3. 高さと測定室へ入る粒度により、沈降時間が決定される。
既に時間(秒)と粒度($\times 10^{-3}$)が表を作られる。

4. 試料を測定する前に部品装着位置を決める。
5. セルに水を試料を測定する。これは水の沈降を最大に分散させる。(ばらく分散させた後、粒子に運動的記録する) (因参考用)
6. 非常に細かい粒子に対する遠心分離法を用いる。試料を適切な部品に分散する時間(30分)が求められる。各遠心分離時間ごとに、試料は測定装置に (mesh, 227 ml) で、これは細かい部分を各 mesh で求められる。
7. 沈降グラフを描いたら、該試料の各部分の質量%を計算して表す。
8. 最後に前回の測定結果から試験された 9.70 バラメータの関係を求める。

ミクロン・フォト・サイザーの応用

試料

マルコナ 9.8 磅銅鉱山附近の試料。(自然の砂漠、砂)

試料の調整

ミクロン・フォト・サイザーで粒度を測定するための試料は、① 200 mesh 100%

の試料であることが望ましい。これが予め試料と 65 mesh まで試料を筛り分けて行った。次では該試料の筛分けである。

mesh	+50	+65	+100	+150	+200	-200
重量%	28.3	2.1	26.7	19.1	9.6	14.2

ミクロン・フォト・サイザーによる操作

固体試料比重 : 2.890

沈降溶媒の比重 : 水 0.998 (20°C)

沈降溶媒の粘度 : 0.993

Stokes 法則により 次の値が得られる。

材料比重 - 液体比重 $2.890 - 0.998$

游標角度 0.993

1.905

$$f = 70 \text{ mm}$$

$$TX^2$$

$$f$$

$$70$$

$$1124.74$$

$$0.03267 Y$$

$$0.03267 \times 1.905$$

$$T = 1124.74$$

$$X^2$$

粒度に対する沈降時間と決定式を用ひ、前記式といふ式を用ひ(72)。

$$T = 14'' \quad 19'' \quad 27'' \quad 42'' \quad 78'' \quad 119'' \quad 11'' \quad 17'' \quad 31'' \quad 70'' \quad 124'' \quad 281'' \quad 1124''$$

$$X(\mu) \quad 70 \quad 60 \quad 50 \quad 40 \quad 30 \quad 20 \quad 10 \quad 8 \quad 6 \quad 4 \quad 3 \quad 2 \quad 1$$

$$\Delta T$$

$$36'' \quad 57'' \quad 74'' \quad 128'' \quad 326''$$

$$\text{RPM}$$

$$500 \quad 600 \quad 700 \quad 800 \quad 1000$$

$$\text{全時間}$$

$$70'' \quad 93'' \quad 112'' \quad 168'' \quad 370''$$

以上は、試料の測定単位を數10秒としめたため、測定時間が常に
CCM(123.92)、8μ以下迄時間と経過するが、重心運動時間も用

いた。この方法で、重心運動時間と各粒度ごとの試料保持時間
を上書きして、これを決定した。これを基づき、試料の沈降時間と重やト
から作図し、最終的に試料の分布曲線を得めた。4-1-1と4-1-2
の計算は次回に示す。

12) Sala 國輪部マグネット分離機 200×100 01121785-05

1) 磁気場により他の物質を分離する時は磁選分離とされ、磁石の
部分磁選分離を行う工程である。

磁選分離は主として、筒内部に固定した多段磁石で、約
140°の扇形の圓輪の上を直線のトランク(このあたり22ヶ所か
けである)上のトランクは、電磁石が生ずる効果によって直角に分岐す
る所である。

給銘体、そり、採用給銘装置にて接線方向に入る。一度分離
されたハルト¹は、磁気場に入れられ、流速抵抗、重力、摩擦、慣性、

重心その他力を受け、これらすべては補助の力とされる。^{全般}
の力は、電磁石の位置によって決まる。磁石の反粒子はトランク
に沿う。

非排²つき、一方³磁石は慣力によって上方、下方部⁴で3ヶ所から
離される。磁着粒子は強引磁性物⁵でトランク上部へ上方部⁶へ

まで回転し、電磁石から接触している左側面、磁場影響から
して摩擦および慣性力で下方に落とし、磁性精選が理
される。

この方法で磁選分離装置が行なわれる。

3) 磁選分離機は主に2段、単位から成る。

2.1 変速トランク 2.6 重力式トランク

2.2 磁石(予備品) 2.7 金属ベース

2.3 貨物用箱(予備品)

2.4 モータ(1)

2.5 磁選機(1)

2.1. 電箱 E-71 - 磁場は電磁石の上に284 mm²の2種類ある。
内側は10°である。直徑150°、高さ4½"である。

2.2. 不織布。

磁場は上に96.9度から傾斜における、電磁石の位置を有する。
3月6日21、180°の角度で回転が出来た用紙、形状が窓からある。
窓の内壁は上に13.9度、外に168°の直徑の方法である。

2.3. 容器 - 並列錐形で下部は正六角形である。非導体
物質を排出する他の管がある。

2.4. モ-7 - 左と右側への直角調整棒E05 次、特許E05。
CROSCHOPP CO. 1060. シリーズ No 7729331.
50Hz, 220/240V. 8.5/1.6A.

2.5. 接連桿 Getrie. Befest.

2.6. 駆動E2276 : フレームとベルトの組合せである。E-9-1は吸盤

9個と結合12あり、ベクトルのレバーリットドライバーを駆動するE53.23.

2.7. 金属ベース

5角形E-391元は鉄板があり、この鉄板はモ-7、モ-8、
モ-9と組合せる。

次回

差差熱分析装置

序　　言

差差熱分析装置は、試料を一定速度で加熱する時の試料の温度変化、温度を検討するものである。この技術により、熱の放出又は吸収を観察して相、転換又は化学反応、変化と追跡出来る。これは、固体内の構造、変化又は温度上昇、変化と研究するのに適切である。

ここで試料がゆっくり加熱される時、その温度は一定速度で上昇するが溶解の場合、吸熱反応 (reacción endotérmica) の場合は、

試料が周囲の熱の吸収がいく限り、温度は一定に保たれる。熱は温度が全然かさくまで変更されない限り試料の溶解度が増える。

この結果、温度の速度変化が明確に生ずる。同様な結果は溶解の場合にも観察され、試料がガスの放出をするから、蒸発構造 (例えは CO_2 ガス)

の変化、乾燥工程又は分解では、すべて吸熱反応であることは認められる。

分析の範囲

差差熱分析は、試料における熱の流れ、変化に基づく。試料の分解・揮発は、熱容量分析 (ATG) によると同様に差差分析 (DTA) により、検知出来る。とは言え、差差熱分析はまた、試料の重量変化を含む物理的変化と検知出来る。この種はまたは、融

融性、相変化、固体状態と、均一反応、試料の劣化を検知する。これらすべてに、試料の内部における周囲の熱の流れが存在する。

以上のすべてに、試料の内部における周囲の熱の流れが存在する。

定性分析は、よりうなが成る物質と、該当の半差熱分析物質を比較して行われる。この形から、試料中に存在する物質を同定出来る。

定量分析は、分析すべき成る転移特性に基づく。同一成るの既知量の転移における発生する熱量を比較して混合されたこの成

分の量を求める。結局、半差熱分析は、問題となる試料を加熱する時、生ずる物理化学的変化の研究のため新しい方法であり、

同様にその他の結果として生ずる特徴を知ること出来る。この分析の応用は、冶金、電気、鉱物等多方面の処理の中、その重宝な野色か。

装置

島津 DTA 装置は島津 30 シリーズの熱分析装置の一つであり、次の

装置が基本的である。

DT-30 コントロール装置

DTA 用 DA-30 増幅装置

R-22 T 記録計

DTA 用 DTC-30 試料保持装置

DT-30 コントロール装置

これは、次、挿入の分析システムに一般に利用されるコント

ロール装置である、半差熱分析(DTA)、熱重量分析(TG)、

定差走査熱量測定(DSC) ならびにその他熱分析システム。

更に DT-30 は、特にこの型の分析装置利用される FC-30 热量
コントロール・パネルを内蔵している。

DA-30 増幅裝置

DA-30 増幅裝置は 試料と摩耗物質とのみ、温度差を
増幅するものである。

R-22T 記録計

これは、ペンセ、他の定速度記録機構の操作により增幅器
により取り出された入力差入力記号を記録する直線記録装置で
ある。

DTC-30 試料保持裝置

試料保持裝置は、主として 加熱炉、ベースライン、安定機構、

給水装置、その他基盤部分から成る。不活性ガス、たんの試料保持
裝置体、使用温度範囲、表に示すところがある。

高溫用 : 室温～1300°C

中溫用 : 室温～900°C

低溫用 : 0～150～200°C

検出器は DTA のため特別なつくりで DTA = 22 番である。

高溫用 : PR (室温～1500°C)

中溫用 : PL (室温～1000°C)

低溫用 : CA (0～150～300°C)

操作

島津 DTA-30 と 30B は 延品を操作するには 次の手順を以て

1) 試料保持裝置に試料を入れる。

2) 次の様に DT-30B, DA-30, R-22T を操作する。

コント	スイッチ等	操	SE	測	察
DT-30B	Main	押 又に押すとON	押(ON), 次, 押すとOFF)	電源入3	
R-22T	ペン1.				
	Power	押		10V-1.7-2.0°C	
	範 囲	5mm			
	零 点	OK ペンをあく			
	範 围	15, 25, 50mV, 500mVある		温度範囲は±3.	
	制限温度	上限値をあく			
	ペン2.				
	Power	押			
	範 围	20mV以下(-93n)		10V-1.7-2.0°C	
	零 点	記録紙のスケール中心にペンをあく			
DA-30	Main	ON入3		電源入3.	
	TC	DTG-30HのK或Phenol			
	範 围	任意と32			
	セレクタ	DTA			
DT-30B	検出器				
	右	DTA 10mm/s			
	左	PL, E 利用するため 熱電対付			
	温度	攝氏Cを20		大体 °C±1n3	
	70J3.4.7+	望む範囲をあく			
	70J3.4.7-	"			
	ST BY	押		3-PA-2S	
	Start-temp.	スタート温度が消え更に20°F			
	OFF	あく			
	スイッチ 帯	ON 押す		8-3以外のT(116.6°F)消え	
R-11T	4ヤ-1.				
	スイッチ	ON入3			
	ペン.リズ	F3.3			
DT-30	2ヤ-1.	押		測定.	

分析の結果

DT-30B

前回指定した温度に達した時、自動的にON, OFF, 増幅器、記録器付、丸印ある。

R-22T.

ペル・リフ

上昇

下降

OFF

Power

OFF "

耗能試験 (因縁照)

被験物の仕様

。熱分解器 DTC-30型 No 60112W

。レコ-タ- R-122T No 89328 電源 AC 100V - 50/60Hz

。半導体分析器 DTC-30 No 60112W

2) DTC-30 No 60023W

。トランジスター B-10 型 1 相 1K 容量 100V, 10A.

備考

設置 (床) 年 高温炉、加熱抵抗線各2本あり、炉外温度50~200°C
交換、AC 100V 連続運転。

1981年9月9日

No. 575

J. I. C. A.

1.3 工業用 pH 検定計 HMR-3F (SB-II)

1. 機 諭

1. pHメータ ガラス電極の構造

pH測定は、便携式方法にて、測定電極としてガラス電極と共に、ナトリウム水素電極、アシモニア電極が用いられている。pH測定のための他の方法は、指示薬又はリード入射管等を用いたものである。これらの方法は限定された範囲内に限られ、また測定誤差を生ずる。一方ガラス電極

は、(欠点を除く) pH 0.1から2.0まで正確である。^{それより3.0} 工業的には、回路により測定電極の使用が実現され、^{これが}正確性と信頼性をもつて用いられる。

これは、高インピーダンスの増幅器によって、極端に高い抵抗

(常温で $10^7 \sim 10^8$) によってガラス膜の両側の間で生ずる電圧 ($\approx 60 \text{ mV/pH}$)

を測定するためには必要である。

増幅器は電極を介して内外の電線を絶縁抵抗、23.22~19.5Ωをもつて、満足の高い精度で動作する。これは、他の装置又

は他の送電線から生ずる騒音が、回路の測定に影響し、誤差を生じ易いことを示す。とは云ふ、測定値は實際現場で使用される正確度をもつてある。

現在、必要な条件…特に距離障害における注意点、各部の構成、温度計、pHメータ等の方法と全く異なっている。この故、検定保持

が電極に対して特別に行はねるべきであり、又、指針式アルカリ式で、pHを

自動的に測定するため、企画された絶縁加熱から得られた3種類の測定

T2仕様。

2. 設備の構成

電極は、電極容器内に保護水、溶液のpH値により起電力を生ずる。この起電力はpH变换器、電極入口、コネクタ、ホース、電極ケーブルへ直結して送給される。

変換器

変換器は、各測定卓に独立して回路で用意され、測定部電圧を供給され、又は同一環境のおかげでインピーダンスによって出力信号を生ずる。また警報は、各測定卓には(独立した比較電極による)回路により形成される。すべての測定卓は、ダイヤル上に533Ωが示す

末了様のコントロールがあり、このダイヤルの読み取り後回路が動作する。この場合、ボタン prvは、回路システムを24VDCにて駆動し、ON-OFF接続により24VDCハーフで開閉出来る。

3. 設置

3.1 設置位置

設置位置は操作、最大設置期間、日常検査等の都合上以下の所である。これより外、より機械、安全性を維持して操作されたらしく、次に基準に基づく場所で選択されるべきだ。

a) 採取の立地、振動の最も少ない所。

b) 環境温度が-10°Cから50°Cの範囲であり、30度以下限界

である。(熱輻射、直接陽射所ではない。)

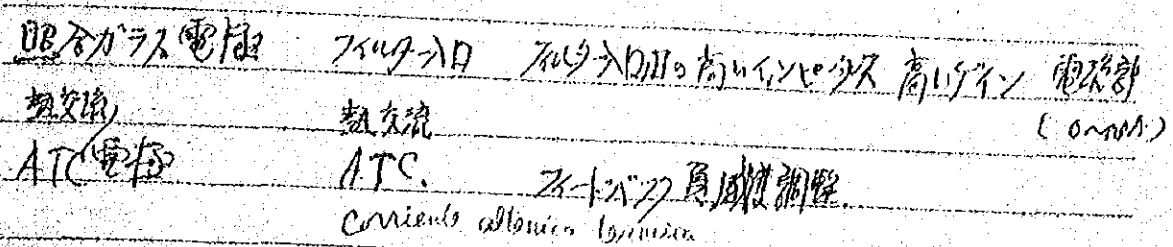
c) 高温蒸気や火薬で発生する好適な最少距離。

d) 物質・腐蝕性が又は少い所。

e) 濃度が少く結露しない水が少なくない所。

3) その調査によって調整された適当な空間を満たす。

3.2 操業原理



この起電力は次の式で示す。ガラス電極と銀合銀電極との間に溶液、
PH値に応じて発生する。

$$E = 59.2 - 0.2(25-t)(\text{pH}_i - \text{pH}_x) + E_{\text{as}}$$

$\approx 17^\circ$

E = 起電力 (mV)

t = 溫度 (°C)

pH_x = 測定溶液のPH値

pH_i = ガラス電極の内部溶液、PH値

E_{as} = 不均衡ボテンシャル (mV)

起電力は 動起電力 $\frac{\partial E}{\partial t}$ の高抵抗にて変化する式であり、 $A/17 \text{ mV} =$
 $\approx 17^\circ$ で、高ゲイン I.C.R.F. が増幅され、又出力電圧は、起電力記号
と同じ極性を持つ。 加印出力は記録計、警報を構成し、一部は直接へ
アースバックスされ、安定性と消費抵抗を増すために用いられ、熱電流

とアースバックス。 测定された溶液、温度変化に応じて発生する起電
力の影響を温度補償するため、また測定抵抗とも連絡される。

直アースバックスと、測定された溶液、温度変化に応じて発生する起電
力の影響を温度補償するため、また測定抵抗とも連絡される。

3.3 仕様

測定範囲 : 0 ~ 14 pH (標準)

最小分解能 : 0.2 pH

精度 : ± 0.1 pH

温度補正: 0~100°C 固定 (標準)

運動 (永久): 補償温度は抵抗 $\Delta R = 25 \text{ mV} / \text{°C}$ の場合

環境温度: -10° ~ +50°C

湿度: 90% 相対湿度以上 32°F.

温度電流: 0.005 PH/°C

入力抵抗: 10⁶ Ω 以上

平衡速度: 200 ± 1 μA/12.3°F (5°C) 以下 (90% 反応)

周波数: AC 50/60 Hz

消費エネルギー: 32.17 VA

色: 7.5 BG 4/15

寸法: (縦) 312 (幅) × 266 (高さ) × 300 (深さ), 梱包寸法

重量: 7.5 kg

3.4 電気信号の取り扱いと接続

(1) pH コンバータ + 多点記録計 ... No.01 ~ No.02 は接続

(2) pH コンバータ + 多点記録計 + 絶縁 ... No.01 と No.02 は接続

(3) pH コンバータ + 多点 + 電流計 ... 電流計は No.01 = No.02 に接続され、9 湯分 No.01 と No.02 が短絡扱いとされる。

(4) pH コンバータと記録計との接続, No.2, No.3; No.2 は入力側, No.3 は出力側。

3.5 コンバータ操作および部品名

(1) 電気開閉装置, 図 N.4-1 ～ N.4-3.

(2) 増幅器, 9 ポジションはすみ時, No.4-2 図 K 平方根器, 甲 uV/V, 2 ～ 9 ポジションは 100% 物。

(3) ~~コンバータ~~ PC をはすみ時, ⑨ No.4-3 は平方根器, 22 ピローフレームと上側に 31 が記されている。22 ピロー PC は 1 次方程式子より 22.

電気装置台面: 923cm².

(4) 2点補正について

(a) pH 6.86 で "ゼロボタンで調整する"

(b) pH 4.01 で "調整ボタンで調整する"

3.6 電気的セロ失の補正

(1) pHコンパクトの電気的セロ失の補正の場合、2点補正を50±50%

出来ぬため、pH 6.86 を度々、次、手芸のセロ失とする。

(2) フラス端子と比較端子との抵抗を約10⁴ ohm。A.T.C. 端子との(1)の

抵抗を25K ohm に接続する。

(3) ガラス・ボリュームの中央端子(No.2)をはずす。その代りが右の写真

のオーバーは中央であると考へる。

(4) No.1とNo.2の間に電流計を差し込む。電流0.01mA PR 273-P.C.上

のオーバーを調整する。この場合、pH 7を記録計の針が示す様に
273-P.C. のボルテージN線のオーバーを調整する。

4. pH測定および保守

pHの測定

4.1 準備

1. 電極容器(電極容器、マニホールド等)電極をとりつけ、36K

水に浸す。

2. 電極、ケーブル等をネジ一箱 HN & pHコンパクト、マニホールド等

H-HU-612に接続する。

3. 測定用P-7を合む。ケーブルの奥の箱をスイッチ入側。

4. "ON" → 振盪で pH コンバーターの電極が水浴槽に没する。
(29.3~29.5V 30分以上振盪し、溶液槽が平衡温度に達すまで
止める。)

5. 容器中の IIS 標準液 I (pH 6.86), II (pH 7.01) を用いて測定。
温度を測定し、調節する。測定すると、溶液の pH は 7.0 である。

抵抗値で温度補償がされ(温度補償率 $\alpha = 2 \text{ mV/}^{\circ}\text{C}$)、測定された溶液と標準溶液の温度を同じにせば 133mA。

4.2 調整.

- (1) ポテンショメータスイッチと "ON" の回転ボタン、操作すべく表記。左部分に向けて下げる。
- (2) 記録計のスイッチと "ON" の回転ボタン。記録紙が供給される。衝撃記録計。

次から是校正し、入力値が記録される。20分標準液 I 1回後、指示装置の
感度は 25°C 水槽と一致させる。

- (3) スイッチと "ON" OFF の位置上から下げる時、記録計中止する値
数を測定と同様、pH コンバーターの回数を確認して調整する。

- (4) 標準液 I を調節 (pH 6.86), 133mA が得られる後、電極を温めら
せる。

- (5) 容器の中の溶液と腐食性酸では、電極と接触させず、支柱は自動的に
他の方(電気的に接続)へと接触して止まる。

- (6) 容器内に酸性溶液が入る時、溶液がつたれた膜、17" と 27" の
間に、使用する標準液により、特に操作して pH 値を調整する。

(7) 標準溶液から電極を取り出し、それを都合よく栓に(7)に。
それを84℃の水で洗つ後、調整した標準溶液中に(7)
4.01又は3.0(他の値)電極を浸す; ついで測定する標準溶液に接触
させ、又金属部品をひいて接地しなさい。この実験の測定値を確認

(7a.54)

(8) 次の標準液(PH 4.01又は3.0他値)のPH値を求めて、角度ノット

針を調整する。

(9) 電極を(7)に、完全に水を洗う。洗つ後電極が測定した溶液中

に入らぬ時、PH調節器を出せ。

(10) 次の2 No.1とNo.6を同じ手順で行なう。

(11) 記録装置、スイッチをONにすれば。

4.3 標準溶液、操作

(1) PHを調整するため、用いた標準溶液を(5)管理する。

(2) 標準PH溶液は特種の溶液で、一方で他の酸鹼度溶液と之とPH
存在するのであるが、少量、正確に変化を行なう栓に(7)である。

もし他の溶液が混入する時、PH標準液用には不適当と見
えきり、何故なら、塵、非常口汚い、不充分に洗浄された電極等で測

定すると、次が非常に困ったものとなる。この点、ABPの目的で、別の
標準溶液にて参照すべきである。

(3) 新たに使用する際は(7)に適當である。

長期間使用しない時.

1. 電極を純水で洗い、外部から KCl 濃液の影響を受けないか、この

の裏に又けゴム・キャップをもって、前記の電極を覆し、溶液にて貯蔵する。

2. この場合ガラス電極の処理は、気泡を含む。

この場合電極は、図3-1に示す様に、内部電極に連結した気泡を

消去し、又け水を満す。以降の場合、新しい電極を用ひ3-8。

現象

- (A) 不安定な指示
- (B) 再現性不良
- (C) 指示速度の減少
- (D) 2点調整は不可能である。

逆測定(カラーメトリー)測定カラム.

(A) 溶液中に調整する時電極を振る。

あわせ

(B) 水晶がけたままで溶液中につけ、溶液を搅拌する。

(C) 膜の表面は、極度に乾燥し、ひび割れ電極は室内に注意せずに置かれると。

特に膜、乾いた又けられた表面は操作に悪く影響するから。

現象

- (A) 不安定な指示
- (B) 再現性不良
- (C) 指示速度の減少
- (D) 2点調整は不可能である。

前回実験

(a) 使用しない場合、KCl 溶液 pH 21 是り。

(b) 約 21 日 うち 18 水が乾燥と退化した。

(c) 乾燥の電極が如何なる場合、約 21 KCl の 2~3% 溶液 pH 20~30S 位

褪色、使用前の水と混じた。

5. 電極の保守と更換

ガラス電極法での pH 測定で、主要な仕事の一つは電極の保守と更換

である。實際 pH の測定において貢献される操作は、主に 3 つは電極の
2 種類の回復する。これら、電極の保全は pH の測定を正確にするの
に直結するのである。

5.1 ガラス電極の保守と更換

(1) 膜を覆う状態。ガラス電極端によって測定された pH 値は、ガラス
膜が 23 の時で 0 接触で求められ。pH 測定は正確に 18 。

最も悪い場合、測定が出来ない。この場合、現象・想い測定は次、次で
ある。

現象

(a) 2 支調整 C; pH 6.86 を得る = 0.00 不一致

(b) 2 支調整で pH 4.01 を得る = 0.00

(c) 指示子濃度減少

(d) 再現性不良

悪い測定

(a) $\text{CaCO}_3 \rightarrow$ 時間無根溶液 pH 3% ~

- (B) 3% 硫酸 洗
 (C) 有機物質の薄い中性薬材。油+浮(潤滑油,石油等)
 (D) 石灰水
 (E) 他の溶媒。

化学溶媒中に洗う。溶媒でぬらしたガーゼ等、木綿布等で洗う。
 洗ふるはるに、表面をよくこすりつけない。

5.2 電極の温度補償、自動的チェック

この対応付、内部抵抗線の断続、誤差の増加、回路断線又は抵抗の

減少等による。交流温度電極(ATC) HR108 の内部抵抗は次圖に示す通り。

図表

(a) 2点調整で、pH 4.01 まで抵抗が下りる。……回路断線又は内部抵抗の減少

(b) 2点調整で抵抗が pH 4.01 まで上りる。……線路線又は内部抵抗の増加、送測定一次側

(c) HR108 A, B型 A.T.C. 電極の抵抗値

温度 (°C)	0	25	50	75	100
抵抗 (Kohm)	37	25	14	7	4

5.3 比較電極、保守と検定。

比較電極は、標準液において大きさは変化しない。図 N.3-2 に示す。

比較電極の保守・検査を行なへた(63)。

ト・ツーツ、インダストラス測定のため、ホールミル
(305 mm φ × 300 mm) (3B-15)

このホールミルは、粒子の状態から、實際の粉塵にまで、圧と磨碎の手順で、鉱石を碎く操作を建設；磨材と空気による機械である。

水平にあわせた円柱形をもつておらず、その内部に、負荷と磨材と共に、直角に絞り球ボルトが並んで、これが

磨材と共に回転する。

应用

鉱石はこれで粗めに磨かれて、それを精査する所で精査する所で、また、鉱工場で、操業にかかる流量を測定するための値が求められる。

ホールミルは多くの工業的工程に応用され、破碎された状態についている。343は

- 粗度と精度を決定したら、磨材
- カウントメータによって算出した回数を KWH/TC の消費と必要程度は算出されると KWH/TC の計算と計算される。

次に、精度と粗度がホールミルで、各野に適用される量以上、アフターアクション

- 日常分析

- 研究分析

- 工場分析

設計図 代表的な物質、例が漏出する量は今後小さくなる。

鉱石では、黄銅鉱、方銅鉱、白金鉱、錫鉱等。

銅鉱石、金銀等
非金属鉱物...珪酸塩、第3世代の物質。

磨耗指数の計測値は、決定された内回路の次第に生じた重量を
内回路を推定し(決定する目的)とされる、一定の程度以下の生じ
る、ミル回転によって生ずる量が定まる。このデータをもとに、KWH/tで
表された全仕事量と定義されるオート、仕事指標を決定し、

即ち、 $\text{D} = 250 \times 72 = 67\%$ に相当する程度に無限大から銅石
を碎くためのエネルギーを算出する。この結果は、もし磨耗の消費エネル
ギーを各該石にて実施すると、エネルギー消費率は既に3.2
が出来、このエネルギー消費が少くなる。計測付算定で
行った。

仕様

木"2"ミルは、車輪が水平に保られた $12 \times 12'$ の円筒型 42-7C

→ 軸受けと支えられ、ベースの上に取付けられる。3個仕様は次の
とある。

- 1) 磨耗 $\approx 1V$ $12'' \times 12'$
- 2) 回転数 = 78
- 3) 電気接続 3相.
- 4) 減速システム ポーリー式 1F:1
- 5) モーター；車両、21-2 N° 13232070, IK型, 220V, 60Hz
2.4A, 1120 rpm, 0.4kW, 3相
- 6) カラム；回転式
- 7) 鋼木 - Vの直角は $1\frac{1}{2}' \times 1\frac{1}{2}'$ 計 32,000kgf.

分布 $1\frac{1}{2}'$ 434 $3\frac{1}{2}'$ 714
 $1\frac{1}{2}'$ 704 $\frac{1}{2}'$ 904

1' 10' 812
No.....

J. J. C. A.

(8) 銀石を落す: ○10×ツボ 700cc. 約1kg. 重量

(9) 銀石を排出するため、またそれと相等する投入箱とFkついた鉢の移し

自動的カラン

モーター・スイッチがある回転数を調整して固定すると、自動的に2.5秒

で"マクロ・スイッチ"が切れる。70°傾斜をおよと、カウント10度で反応される。またマクロ・スイッチは最初の3回置かれ、下まで

これを押す。計算と操作の回転との誤差を生ずるにつれて自動的にさかみ、約70°より後にこれを押し、ここで馬印を重ねると、前後位置に置け。

数は容易に調整できる。(マクロスイッチは1回), プラスチックの2回で操作可能と理解され、数字の3回とよく書いたインジケータは、必ず

りあり、必要な数を置く。マクロスイッチは24回ある、から24-9数字をあらわす後、初めの0.0度を183度、0.0度-291度で1度と反す。

手順

厚さ、指数を決定するためには、回車上部管理工程にて必要な回

数で2回、計測値を引いてある。

1. 全試料のうち10kgの代表試料をとる。

2. 200×ツボ満たし、粒度分析を行う。

3. 築いた物を試料に戻し、よく混ぜる。

4. 試料を4分法で1片よりと削り、厚さ10mm以下に切る。

5. 1片より中で試料を700cc計り、秤量する。

6. 5.9 料料を 21.0 吨/h で 100 回転で碎く。

7. 29 破碎率を 21.0 × 22.9% の範囲より決定する。

8. 7.9 適用され、それを BR 係数計算と次回の回数を算す。

9. ① 200 × 7.9 節上と 21.0 に、8. の値で計算された新規金額

量を加えます。

10. 29 摂取量、回転数によって得られる 200 × 7.9 の重りを一度 123

まで乗じてください。

11. 最少 5 回は必要です。

12. サイズカッター C" 破碎、粒度分析を算す。

13. 次の式を用いて生産指數 W_i を計算す。

$$a) W_i = \frac{16}{(G_{bp})^{0.82}} \sqrt{\frac{P_i}{100}}$$

$$b) W_i = \frac{44.5}{(P_i)^{0.23} (G_{bp})^{0.82} \left(\frac{10}{\sqrt{P}} - \frac{10}{\sqrt{F}} \right)}$$

G_{bp} = グラム・ペリティ (g/回転)

P_i = 使用した破碎機の大きさ (μ)

P = 破碎、80% 通過粒度 (μ)

F = 給料。 (μ)

II) 1. 破碎機の選定 C" 6 × 22.0 料料を調整し、節約する。

2. 節約分析を行なう。

3. 全比重 lbs/ft^3 を測定す。

4. $q_p = 21.0$ 重量を計算す。

$$q_p = \frac{\text{全比重} (\text{lbs}/\text{ft}^3)}{62.4 \text{ lbs}/\text{ft}^3} \times 700 \text{ cu. ft.}$$

ナーチャー量 全量 (g/m) $\times 700\text{cc}$
 1000

5. 25% 猶豫を除く IPP (Ideal potential for Product), 産物に対する理想的な量を計算する。

IPP(g) \rightarrow 4ヤードあたりの重量 (g)
 3.5

6. IPP を 合成肥料の試料を一部に分けて 8~12回転以下の
 ハンマーで粉砕されると 試料を均す。

7. 4ヤードを用い、ミルにボールを入れ、X 回転 (13)

$X = 17 \rightarrow$ インデックスの基礎 $\times 13$, 又は推定される回転数、一般に

50, 100, 150, 又は 200 回転数を用い。

8. ミルの產物から 4ヤードあたりのボールを取り出し、全量を 廉価の粒

度を算出する。

9. 產物 = ナーチャー量より重量 - 線上重量

10. 正味產物 = ミル合成肥料中の、網下產物重量

11. 回転による產物の正味、回転数。 $\frac{\text{正味產物}}{\text{回転数}}$

12. 試料の分割で用いた初めの重量へ 4ヤードを加え、次回の割合
 (猶豫率) に新しい合成肥料を加え。

13. 次回に対する回転数を計算する。

回転数 = $\frac{\text{IPP} \cdot \text{合成肥料の網下重量}}{\text{正味重量} \times \text{前回の回転数}}$

14. (半減)を連する後 正味重量/回転数 $\times 8 \sim 14$ 回 (20) とする。

4ヤードあたり = 最終 2~7 回の容積の平均。

最終 3~6 回の產物の平均

原理

Fred. C. Bond は 1951 年に 粉碎, 打碎理論を, 他の 20 論文を収集

(1867 年 Rittinger, 1888 年 Kick) をもとに, ボルトの理論の延長で, 破壊に対する応力の影響に対する適用性を述べた。被碎(粉碎)されたときに新しい粉塵が部分には

比較的よく同じ様な性質を示す。落物により被碎された場合, 300 kg/m² と 310 kg/m² の間に比例する。落物の性質によって, 破壊が大き

破壊量の大きさは, 表面積の平均の平方根に比例し, 表面積が 0.99 大きさは $\sqrt{P} = 1$ で比例する。

實際の計算に対して, 次の式が利用される。

$$W \approx W_i \left(\frac{10}{f_p} - \frac{10}{f_f} \right) \quad (1)$$

ここで W_i は仕事指数ともいふ (work index)。

仕事指数は, 破碎, ベラメーターであり, 破碎又は磨耗された粉塵の性質を

表す。数字的仕事指数は kWh/tC であり, 0.200 × 232.67% 12 頭
である (0.0180% 通商まで)。理論的には無限に作用から給粉物を供給する

場合に計算される値である。実験的上 2.9 倍を 203.0%, 326.9% 2.1% である。
この値は実験値を考慮した上に近づけた研究結果である。

$$W_i = N / \left(\frac{10}{f_p} - \frac{10}{f_f} \right) \quad (1a)$$

$$P = \frac{(10 W_i f_f)}{(f_f - 10 W_i)}$$

2.2 × 2.2 × 2.2 × 3.5 正方 (0.02424 m³) 13.397 W は 1 t

① 破碎物の大きさを均一にすら、 W_i の値は $\frac{1}{2}$ " の大きさの破碎物^{1/2" mesh}で W_i が保たれる。だが岩石では均一には構成されない普通である。

純酸^{94.8}メッシュの砂は粗い産物は~~多く~~、48メッシュより少より粒子の破碎物に多く、大きさは W_i を持つ。② 鋼石の粒度分布

③ 調査機器について見てみると、 W_i は又变了。機械の効率は、下限影響を受けよう。それは、 $\odot 14\text{ mesh }80\%$ から $\odot 16\text{ mesh }80\%$ まで「鉄石 & バーナー」

2" 破砕時、 $\frac{1}{2}$ " の大きさはバーナーによより $\frac{1}{2} \times 1.5"$ の場合油は油で満たされ、仕事指数、実験室で、決定は、試料の粒度範囲での破碎抵抗を半分

又見つた粒度の産物中の W_i の分析値における若干の変化は、鉄石は、粒度の減少によって W_i も 0.1 で降低了。この理由で、実験室の分析は、工業的

磨耗に必要な望ましい粒度産物に近似して完全に行なはれてある。
上式(1a)から $W_i = 0.1$ とすると、粒度減少、量の増加に伴う

実験室分析の結果と、工場における効率と比較し、又は同様の鉄石を処理する工場と比較して、工場的及工場における粒度、減少まで計算できる。

W_i は新しい建設の能力、粒度、最初に特有有効である。

"Granfa" 銀に対する実験室での仕事情数の
計算式

$$100 \text{cc} = 1,101.0 \text{ g 配合}$$

$$+ 100 \text{ml} = 729.00$$

$$\therefore 100 \text{ml} = 366.00 \quad 33.42\%$$

$$1,098.00$$

$$\begin{aligned} \text{密度} &= \frac{\text{重量}}{\text{体積}} = \frac{366}{3.5} = 101 = 314.6 \text{ g} \\ (\text{基準} = 56 \text{回転}) \end{aligned}$$

$$+ 100 \text{ml} = 616$$

$$\therefore 100 \text{ml} = 432$$

$$1,098 \text{ g}$$

$$\text{密度} = \frac{\text{重量}}{\text{体積}} = 482.366 = 116 \text{ g}$$

$$\text{磨削可能度} = \frac{116}{56} = 2.071 \text{ 回転}$$

$$\text{循環荷重} = \frac{616}{482} = 1.28$$

$$\text{回路1 1) 新給銀} \quad 1,101 - \frac{616}{366} = 988.2$$

$$2) \text{回転数} \quad 314.6 - 116 = 96 \text{回転} \\ 2.071$$

$$3) \text{初期粗度} = 485 \times 33.42\% = 162.09 \text{ g}$$

$$4) + 100 \text{ml} = 746$$

$$\therefore 100 \text{ml} = 353 \\ 1.098$$

$$5) \text{密度} = \frac{\text{重量}}{\text{体積}} = 353 - 162.09 = 190.91 \text{ g}$$

$$6) \text{磨削可能度} = \frac{190.91}{96} = 1.989 \text{ 回転}$$

$$7) \text{循環荷重} = 746 \div 353 = 2.11$$

$$\text{回路2 1) 新給銀} = 1,101 - 746 = 355 \text{ g}$$

$$2) \text{初期粗度} = 355 \times 33.42\% = 118.69 \text{ g}$$

$$3) \text{回転数} \quad 314.6 - 118.69 = 98.52 = 98 \text{回転数} \\ 1.098$$

第2回路の比は 1.62 回転 1.62 倍速 1.62 倍速

$$4) +100m = 894$$

$$\ominus 100m = 261$$

$$1,105$$

$$5) 生産計画量 = 261 - 118.69 = 142.36\text{t}$$

$$6) 廉銅可能度 = 142.36 / 62 = 2.296 \text{t/回} \text{精錬}$$

$$7) 3回運搬率 = 894 / 261 = 3.23\text{t}$$

$$(回路3) 1) 新給銅 = 1,101 - 894 = 257.8$$

$$2) 初期鋼度 = 257.8 \times 33.92\% = 85.89\text{t}$$

$$3) 1回精錬 = \frac{314.6 - 85.89}{2.296} = 99.61 \approx 100 \text{t/回精錬}$$

$$4) +100m = 797.00$$

$$\ominus 100m = 302.28$$

$$1,099.28\text{t}$$

$$5) 生産計画量 = 302.28 - 85.89 = 216.39\text{t}$$

$$6) 廉銅可能度 = 216.39 / 100 = 2.164.9 \text{t/回} \text{精錬}$$

$$7) 3回運搬率 = 797 / 302 \approx 2.64$$

$$(回路4) 1) 新給銅 = 1,101 - 797 = 304.4$$

$$2) 初期鋼度 = 304 \times 33.92\% = 101.68$$

$$3) 1回精錬 = \frac{314.6 - 101.68}{2.164} = 98.93 \approx 99 \text{t/回精錬}$$

$$4) +100m = 731.00$$

$$\ominus 100m = 370.00$$

$$1,101.8$$

$$5) 生産計画量 = 370.00 - 101.60 = 268.4\text{t}$$

$$6) 廉銅可能度 = 268.4 / 99 = 2.738.9 \text{t/回} \text{精錬}$$

$$7) 3回運搬率 = 731 / 370 \approx 1.976$$

$$(回路5) 1) 新給銅 = 1,101 - 731 = 370.68\text{t}$$

$$2) 初期鋼度 = 370 \times 33.92\% = 123.56\text{t} \approx 123.65\text{t}$$

$$3) 1回精錬 = (314.6 - 123.65) / 2.738.9 = 67.574 \approx 68 \text{t/回精錬}$$

$$4) +100\text{h} = 820,00$$

$$\odot 100\text{h} = 281,00$$

$$1,101,00\text{g}$$

$$5) \text{年産計画量} = 281 - 123,65 = 157,35\text{t}$$

$$6) \text{磨耗可能性} = 157,35 / 70 = 2,248\text{t/回転}$$

$$7) \text{循環荷重} = 820 / 281 = 2,91\text{t}$$

$$\text{回路6: 1) 新焓値} = 1,101 - 820 = 281\text{g}$$

$$2) \text{初期調度} = 281 \times 33,42\% = 93,91\text{g}$$

$$3) \text{回転数} = \frac{314,6 - 93,91}{2,248} = 120,17 = 98\text{回転}$$

$$4) +100\text{h} = 791,0$$

$$\odot 100\text{h} = 310,0$$

$$1,101,00\text{g}$$

$$5) \text{年産計画量} = 310 = 93,91 \approx 216,09\text{t}$$

$$6) \text{磨耗可能性} = 216,09 / 98 = 2,205\text{t/回転}$$

$$7) \text{循環荷重} = 791 / 310 = 2,55\text{t}$$

$$\text{回路7: 1) 新焓値} = 1,101 - 791 = 310\text{g}$$

$$2) \text{初期調度} = 310 \times 33,42\% = 103,60\text{g}$$

$$3) \text{回転数} = \frac{314,6 - 103,6}{2,205} = 251,69 = 96\text{回転}$$

$$4) +100\text{h} = 779,00$$

$$\odot 100\text{h} = 322,00$$

$$1,101,0$$

$$(5) \text{年産計画量} = 322 - 103,6 = 218,4\text{t}$$

$$6) \text{磨耗可能性} = 218,4 / 96 = 2,275\text{t/回転}$$

$$7) \text{循環荷重} = 779 / 322 = 2,419\text{t}$$

回路	全額度	初期額度	半期平均額度	2/10/42	3個總耗量	(回) 42
0	482	366.00	116.00	2,071	1.28	56
1	353	162.09	190.91	1,989	2.11	98
2	257	118.69	142.36	2,296	3.23	62
3	309	85.89	216.09	2,161.	2.64	100
4	370	101.60	268.40	2,738	1.97	98
5	281	125.65	157.35	2,248	2.92	70
*6	310	93.91	216.09	2,205	2.55	98
*7	322	103.60	218.40	2,275	2.72	96
				4,480	4.97	194
				2,290	2.485	97.

* 6,7 回路之計算方法。

$$W.I. = \frac{16}{(G_{bp})^{0.82}} \frac{P_i}{100} \quad P_i = 149 \quad (100 \times 2.22)$$

$$G_{bp} = 2.24$$

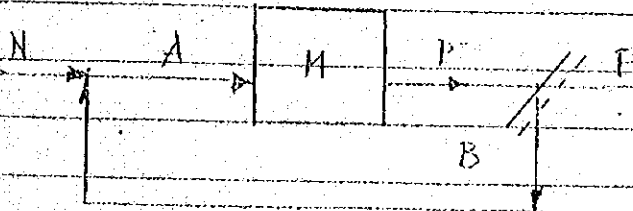
$$W.I. = \frac{16}{(2.24)^{0.82}} \frac{P_i}{100}$$

$$W.I. = \frac{16}{1.937} \times 1.221$$

$$W.I. = 10,086 \text{ KWH/ton shaft.}$$

付記 "A"

磨銅回路は (2) の構成で構成される。



(2) 1

磨銅用回路

ミルの給銅 A は、新給銅 N と循環銅 B の合計である。

$$A = N + B \quad (1)$$

産銅 P は +200 m, B は -200 m, F が 70 T である。

$$P = F + B \quad (2)$$

循環量は

$$\text{循環量} = 100 C = \frac{B}{N} \times 100 \quad (3)$$

論理的 R, 安全状態で

$$P = A, \quad N = F \quad (4)$$

∴ が故

$$C = \frac{B}{N} = \frac{B}{F} \quad (5)$$

$$B = CF \quad (6)$$

(1) が (4) と (6) より

$$A = F + CF \quad A = F(1+C) \quad (7)$$

$$F = \frac{A}{1+C} \quad (8)$$

→ したがって、循環率は $250\% \sim (C=2.5)$, 70 T である。

総加入産銅の量は、管理状態に達しない。

$$F = \frac{A}{3.5} \quad (9)$$

A は全ミルの 40~50% である。

解説 B.

データ計算表：表1算用

- a) 7月1日定期譜式記入式。
- b) 7月12日相当定期譜式 $\Rightarrow N(1)$ 計算式記入
- c) 7月3日 $(\Theta 200 \times 722)$ 算式、7月4日 $\Theta 200$ 計算式記入
- d) 摂引率 \Rightarrow 物品推定量を 200 で $\Theta 200 \times 722 = 638$ 考証計算する。+ 推定量 $= \Theta 200 \times 722 + 100 = 100$ とし 5 日 $\Theta 200 \times 722$ の合計を記入式。
- e) 次の回路の定期譜式、7月19日定期譜式記入。回路から先に $722 - 3 = 720$ $\Theta 200$ 計算式記入式 $\Rightarrow 720 \times 638 = 463720$ 。
- f) 経常額、移動支店 A3、年2月の(2)回路より定期譜式記入、
算式の括弧内中 $\Theta 200 \times 722$ 算式記入式
- 7月6日 \Rightarrow 計算式記入式。
- g) 廉物 $\Rightarrow \Theta 200 \times 722$ 算式 (722.5) と定期譜式記入式 (722.5) と
の向の差は、年2月の回路の合計 $\Theta 200 \times 722$ 算式記入式。
 $722.5 - 638 = 726.7$ 計算式記入式。
- h) その定期の回路式 \Rightarrow 7月20日定期譜式記入式。
- i) 7月8日の定期譜式記入式、次回期2-3回路数を次回式。2回
+ 22、次回式 $\Rightarrow 200 \times 722$ 算式記入式 $\Rightarrow 183812$ (2)回路
数を計算式記入式。

次回回路数 $\Rightarrow \Theta 200 \times 722$ 算式記入式 \Rightarrow 183812 算式記入式

A
C+1

→、既陽式の新譜式記入式 $\Rightarrow \Theta 200 \times 722$ 算式記入式

$$Nv = \frac{F - (6)}{(8)}$$

\Rightarrow 12' $Nv =$ 本段階で33回路数

F = 廉物中、300以下

(6) = 726.8(8) 前譜式記入式

(8) 前留陰の二段式

(5) $Nr \leq \frac{1}{2} \log_2 n$ für $n \in \mathbb{N}$,

第1章 動的指數アスト

金匱

月日記

No.

J. I. C. A.

15. WARMAN EV 粒度分析装置(サイクロサイザ) (3B-16)

サイクロサイザは、篩別以下の範囲($\phi 200$ メッシュ)よりの粒子の大きさの分布と連続的に正確に決定するためのスクリュープラグ式試験装置である。

粒子群は、通常サイロン975を用いていの原理に基づいて、 $21-3788$ 則により特性によって分離される。

効率的操業範囲は、石英(比重2.7)と以降比重は $5.50 \sim 8.4$ である。高い比重の如き金(比重19.3)や金銀(比重7.5)など、比重は

下以下($\phi 12$)以上とするが出来る。

$\phi 200$ メッシュより下の試料は、 $0 \sim 325$ mesh で 5 分以内に分析される。

サイクロサイザにおいて最初に分離するには必要時間は 10 分であるが、30 分を超える必要はない。更に分離された部分を脱水乾燥

する場合は必要である。

装置は3室のサイロン5組成りで、装置は一つのコンセルル内組

まれている。装置は、9~17 l/min の流量の水と一括り洗浄水と地
面へ排出端を有する。

応用:

1.4より大きな比重を持つ水に溶け、自己に粒度合併(即ち大粒の
粒子は、サイクロサイザによつて篩別以下の粒度になると、粒度は絶

えで陳の上分級)する。この装置は細かく分離されたものと並んで、工業
的(123)。工業応用(53)、5313)。

-鉱石・石炭の処理 -セラミック処理 -陶磁材、穀物、

1. 磨材の製造 -セメントの製造 -動力起電?

サイクロサイマーによる研究。迅速性、精度、再現性に優れ、分析にまで応用されることが多い。

研究分析 - 日常分析 - 工場管理

デザイン

満足の分级された代表的物質、例えば、

- 鉛銅錫、鉛銅錫、方銅錫、亜鉛錫、錫石、銅錫石、金銀、錫の鉱石
および尾鉱の分级、浮選その他、選鉱回路で。

- 硫酸、粘土、土砂の潤滑材。

- アルミナ、硫酸錫、鉛錫化合物、亜鉛末、シコルバイト等、難溶性。

- 物質、細かい灰。

- マグネシウム、クロムコンの粉末重液材。

サイクロサイマーは、21-22規則によらず機器と用いる分级回路の管理

研究のみならず、鉱業、技術に各種の工業に特に応用される。主な用途

分類の研究、専門分野におけるサイクロサイマーは、化学分析、鉱物分析、酸化還元試験に対する、取り扱い、比較的より分级法が求められる。

記載

サイクロサイマー、基礎料 133.5g、ガラス球 1120g、直列ヒートホルダ

等、溢流管、他のサイクロサイマー給料 1322m³、倒立単位は“入口下限”
(逆置)位置におかれ、頂点から排出孔距離約 7cm 位で流量は 92-

700g/min。水は市販装置 (H-51-9-9 携手) 5m³ 単位で面積 2.5m²
で送られ、回転調節は 45-70°、投入、流出は上部、上部容器に入る。

含鉱試料は5分の搅拌された。

サイロと通過するとき(1594),ストーナー分級粒度は2.5, サイロン

へ分配された。最初, 分配は, 小い山似た; 壁面以上に余分の粉が付く
場合, 容室に留まる。最初, 分割は3段, 水を3つに下流れておくと, サイロン

の限界粒度より少しおかげで漸次漏流して水飽和される。各サイロンは
3つの原因から漏速によりストーナー法則に従う。端と所以下のものである。

さて, 水速度, 固形と水の比重差によつてある。各サイロンの粒度
限界の代表的値は以下のとくである。

分級粒度は, 水飽和時間の増加によって改善される, 例(10分の水飽和
時間)で, すべての場合充分適切である, 端は30分以上は23.0%高い場合

があるのみである。水飽和時間が経った時, 分級する部隊は, 別々の容れ
頂点。各室の中の内容物を排出させて集められる。沈殿(1594), 水槽(1594),

(又は溝), 乾燥され, 粒度分布を決定するため秤量される。サイロンNo.
と通過した固形は差により決定される。

粒度限界 (選った比重レベルでの各サイロンごとの粒度限界の代表値)

サイロン No.	ストーナー指掌径 (mm)			備考
	石英比重=2.7	黄鉄鉱比重=5.2	鉛鉱比重=7.5	
1	44	27	22	
2	35	22	18	
3	23	14	11	
4	15	9	8	
5	9	6	5	

操作

準備

と、粒度分布が完了する前にも、一時的に欠点を手当し、また調整の操作が行われるが、水槽より単位流量を取れば20~30t/h。

1. 調料を容器とり、石けん液によって封鎖リングを潤滑させる。
2. 同じ支えの中には調料容器をあく。前方にあるガラスを90°回らせる。
ある。次のバルブを開き、2つ目水を満たす。
3. サイクロン、アベクス・バルブを全部開き、水槽コントロールバルブを開く。ポンプと始動する(スタートとONを33.)
4. サイクロンを通つて漏れ水をためる。最大流量はバルブを開いて角を操作、完全性をチェックする。
5. サイクロサイザーをはじめ2用い3用い、そして203にて操作する時、水を20t/h排出された後、ポンプ中に入った空気を排出するが、数回ポンプを開閉する必要がある。ポンプ中に空気が存在するとともに、圧力調整値の目標によってから、40lb/in²以下と133。との回路もポンプがかかる低下する事は許さない。

分析手続

調料が調整された時、水槽装置の消費量を定め、即、補正係数(f_3)が

同じ線で、これは小方値に相当する。ミリメーターで精度を決定する。

1. 本27°が止った時、2の支えから調料容器をヒック。金具側が前面にさげた状態をまわし、上へヒックする。

2. 試料容器の上面をハルトで閉じ、水を全部吐ます。
ハルトは動輪の上に置かれてく。
3. 容器中の分析試料を出し、氷漠壇を用い、容器以外に残る氷塊を容器中に落し加えます。
4. レベル、半分以上、それには水をひき試料の容器を満し、更に氷をいれます。まことに"容器+ハルト"を回す。この段階で試料はすくなくとも容器の中から漏り出でてきます。
5. 用いた試料容器のコラムを下記。1.と並んで 2120×115
95×200です。
- 註) 試料容器がまだ正確に安全に入ることない。左側 N°3391側
- が前N°3391側で2120×115で100%過誤である。
6. 1279水+ハルトを引、20-11.1279m³を316, -15012P3
を清つ。
7. コンロ-N°1ハルトを閉め、コンロ-N°1ハルトの木炭をハルトで
入れる。
8. ゆっくりとコンロ-N°1ハルトを開き、手で火よりゆっくりと空気を吹き
9. 3の全部をかいて新しいコンロ-N°1ハルトで閉めます。
10. N°1サクランから次々とアベラスハルトでサクランの上へ
空気を入れるが止ります。空気が最後に少し N°3サクラン/空気は保
たれか難い事があります。この場合、他の方法で532J. = 29.9Pa
22.ハルトでじ、残った空気がアベラス室に漏り出します。全部
の力で火を吹き空気を吹き出します。

No.5サクロバホルダスの出口付大室内にNo.4263のと、甲虫の虫
氣味もかく事難い。宜詳細調査はNo.4260と併記。

11. 全体のコントロールバルブで、5分間時計を1回まわす。T=12.4±0.2
時間漏出バルブを開く。

12. バルブを運動的に調整し、1度以上よく調整が完全な後、1分
間の時計に漏出する量を算定。

13. 5分経過後、コントロールバルブで、水漏する量を測定して
漏出調整計が半ナット、コントロールバルブと同様。水漏れ量
を1分間に漏出する量を合せた。

14. 水漏れ時間が多めの事を知りた時は、警報を止め、充満するため
コントロールバルブを開く。

15. サイドON No.5の場合は、グラスチューブ・カーブ15度、1000ccの
ヘアペーパー室から圧縮をアベラス9バルブと(1)にて排出する。

16. No.5の排出バルブ止め、No.4.サクロバホルダスまた以下四
回採出す。水温を測定する。

17. 20分位堆積覆し、水の余剰を廻流する。

18. 回収、最終的に秤量したが、系級(尤名部分は、洗い乾燥
する前)紙で32.また体單純な蒸留用12種、戸附せ
紅乾燥。

19. はく離重量と分離した部分、重量、和、差からNo.5サイドON
を通過したが99%を計算する。

(註)

1. ルチル鉱粉には、2つ、特殊装置を利用して来る。
2. O.I. 最後、サツランを通過して粗かい固体試料を除去する。排水を集め、水を捨て、アスベッカトムで排水を分別。通常80%から90%は排水から回収する。機物、10%以内の揮散です。
3. 結晶を手すり粉の圓筒分装器につけて。これが結果。

調整1. 計算式を簡単化す。

計算

5つサツランで得られる重量%が決定され次第、分析條件 F_1, F_2, F_3 、粒度、分離効率を計算すればよろず。
これが求められ、補正係数 f_1, f_2, f_3, f_4 、
あて4つの実数が各々求められる。次かられす。即ち
 $d_e = d_1 \cdot f_1 \cdot f_2 \cdot f_3 \cdot f_4$

二、 d_e = 粒子、計算的分離サイズ

d_1 = 粒子、分離限界サイズ

f_1 = 温度、花開系数、粒度の水温に対する(図8)

f_2 = 粒子、比重に対する比重花開系数(図9)

f_3 = 用ひる水の流速に対する流量、補正係数(図10)

f_4 = 水滴時間による時間補正係数(図11)。

補正係数 サツランサイズ → No. 54 ~ 0.82 ~ 1.12

サイクロン No.1 $d_i = 48.4 \mu (\pm 1 \mu)$

同上 No.2 $d_i = 33.0 \mu (\pm 0.5 \mu)$

" No.3 $d_i = 27.7 \mu (\pm 0.5 \mu)$

" No.4 $d_i = 16.0 \mu (\pm 0.5 \mu)$

" No.5 $d_i = 12.3 \mu (\sim)$

2. 各サイクロンを通過する積算%， $f_3(x)$, 各サイクロンの積算残留%
 $R_3(x)$ を計算する。

3. 各サイクロン中に残留する重量での割合と、ミクロンの有効粒度に
対して、ヒストグラムから連続分布を調整していく。

4. ミクロンの有効粒度に対する粒度より少い積算重量での割合を
2% 減く。

5. 横軸にて $\log X$ にて (4), (5) のグラフを書く直す。

6. 粒度より少い 積算重量を $\log\%$ で、有効粒度の対数に対して直す。

7. ~~横軸~~ 237.9% 分布を換算する。

8. 酸素

社 枠

サイクロン： 構造とし直輪製、ボルテックスをもつたガラス軸、エバメル等は

つくったアベラス、付属品、直輪製の結合管、エバメル製のサイクロン支
持の腕。

12-9X-9： 12-9メータ・キット、メトリック・ステール、直輪仕原高付。

ホーリー： 直輪製のしめた縁により機械的に止られ、ガラス球

蓋、4カーブが浮上するバルブにより調整されて3水柱 \sim 7

圧力測定器はホーリー排泄ランプを継ぎ、温度測定器は蒸気水

タンク中水温、密度を示す。

モザベネット： 金属板のモザベネット付内部付白色エナメル、外部用繊

色、エナメルが上部に引かれてる。金網の前面は漆喰中に水と木
シップであわせた。モザベネットはローラー仕てある。

電源： 110VAC 木板のスイッチ、照明ランプ15W+25W 電報モード
0~60秒、95mm-100mm。

電圧： サイクロサイクル230V、50/60Hz 交流。電力の他の電動機付
外部充電池をついた。

モデル： 2-74 サイクロサイクル

寸法： 長 162.6mm x 幅 48.3mm x 高さ 185.9mm

重量： 総重量 386kg

正味重量 270kg

29-2 No: SP 319 セラル・M6

モーター： 220V, 60Hz, 単相

ホース： 3/4" x 3/4"

サクション(5) 2" リード逆置型

70-X-9-, サクション給水筒

110ボルト 0~60°C 円形温度計 0~400 Kpa 21X-9-

95mm (mm) ホース 89-5-, 95mm-122-2-

227 : 50 ft.

16. GALIGHER 漂選機

モデル DIA-500, 3' x 2" N° 81-715.

Galigher Co. 製 (Salt Lake City, Utah, U.S.A.)

D. 漂選機は細かい粒の鉱石を含む鉱石の物理化学の一方法である。一方磁性鉱石は $1^{\circ} 12^{\circ} 9$ 度の磁化度で、気泡は鉱物粒子を 1.204 ± 0.008 の比重に減少する。

この方法は漂選機の操作を含む。

この方法は漂選機の操作とその表面にバルブから得られる回収率

を安定化させ、一方他の鉱物は $1^{\circ} 12^{\circ} 9$ 度の磁化度で 1.204 ± 0.008 の比重に減少する。

a) 鉱石の表面に付着した鉱物を漂選機の表面に付着するに充分な濃度の水で鉱物を溶解する。

b) 希望する鉱物を付着させた好適の條件を $1^{\circ} 12^{\circ} 9$ 度とする。

c) 鉱物がバルブから気泡の上昇とともに浮き出す。

d) $1^{\circ} 12^{\circ} 9$ 度の表面に鉱物を附着した漂選機。

e) 純化気泡の抽出。

2) 漂選の方法 = $1^{\circ} 12^{\circ} 9$

漂選は、基準のものは鉱物粒子と気泡との間に安定な結合を

形成する方法である。このため鉱物粒子と気泡との間に強度の結合を形成する方法として、水溶性の強めの水溶液で、この方法で

溶解が容易な、且つ沸点以上で使用可能で、漂選の結果の半分以下の水溶性の方法。

他の漂選法と同様に漂選機の操作は鉱石の粒度と気泡の疎遠

4) 親水樹脂の実験がやめてある。
この方法を利用すれば、濃縮処理すべき農産物の型に最も便宜な形に
すべて、條件をうきり出す試薬を利用せねばならぬ。

最大回収率を得るため、操作、實化、應用が必要である。

3) 操作の要数

i) 空気のコントロール

ii) パルスレベルのコントロール

iii) フロスレベル、セルからの流出量、コントロール

iv) 尾气回收のコントロール

4) 作用の要数

フード構造にありる空気入口の大きさ、インペラの速度、ディスク・ガード。
空気のコントロール：空気はフード構造のチューブ（ストレート・パティフ）

を通過し、空気吸込ゾーンでパルプと混合する。即ち 17.5...
19.0 ml/min. セルを通って流れ、漏斗とパルプとの間に

混合させた設計されている。

アキラガードの作用は、粉粒物パルプを扇子空氣の完全分散と
導入され利用される。

5) 實験室用 AGITAIR·CAULFIELD 流通装置 Model LA-500.

i) 容量は 2.000g, 1.000g, 500g の 3段階

ii) 3.29ml の流量 インペラ - 3 輪

iii) ベルト駆動式

iv) ベルトの回転数調整のための回転計

v) 始動スイッチ

vi) 単摺モーター

vii) 排出摺

viii) 空気吸引装置

5.1 空気送り用

前記、ベルトの撞拌によて、特殊な送風と吸込場所はD-3-128、
C-3-128である。又、ベルトと扇葉を調整された空氣の吸込・圧縮によよ

空氣が流入して生ずる。セルはボリエチレン製で、セルの壁はSUS316
ステンレス製のスタビライタが3つ底にあわせており、気泡化の過程を

緩和させ、また酸化せず、耐食性を有す。

3つのセルは次の特徴である。

2kgセル : $h = 15\text{cm}$, $l_1 = 20\text{cm}$, $A = 205\text{cm}^2$, 容量 $5,610\text{cc}$

1kgセル : $h = 15\text{cm}$, $l_1 = 20\text{cm}$, $A = 15.5\text{cm}^2$, 容量 $3,200\text{cc}$

1/2kgセル : $h = 15\text{cm}$, $l_1 = 11\text{cm}$, $A = 11\text{cm}^2$, " $1,800\text{cc}$

5.2 回転ペラーネーム

インペラ-ネームは3つの軸用である。NEMA 11, 摩擦率・均一性を各部に有する

また中央、空隙を生ずる以上で空氣を導入する部はD-3-128である。

2kgセル用インペラ-軸, $\phi = 10.7\text{cm}$, Z-2-18.

1kgセル " " " $\phi = 8.7\text{cm}$, Z-2-17

1/2kgセル " " " $\phi = 6.9\text{cm}$, Z-2-16

軸用中心 : 9/16"

5.3. 2段動スイッチ

モーターの駆動ブレーキ、モーター、中央軸のブレーキによる。

ブレーキは、調整器とモーター・ブレーキの直経を調整するか、ベルトによって、セルの車の回転数を調整するもので、ベルトの摩擦により、車の速度を増減させる。

モーター・ブレーキ寸法：4"

駆動ブレーキ寸法：4"

ベルト No.46-190 P.S

5.4. 2コメーター

セルの車の回転数を調整するため、スイッチ装置、前面部に取り付けられました。

速度範囲

0~1,500 rpm

Stewart-Warren 型、タコメーター・ビンズ寸法：1 $\frac{3}{4}$ " x $\frac{1}{8}$ "

5.5 始動スイッチ

スイッチ、始動・停止するためのテコ型手動スイッチ

5.6 モーター General Electric Mod. 5KH38JN 25X

HP = $1\frac{1}{3}$, V = 230, 1,725 rpm, 60 Hz, 1 PH

J-T-N.

Pb 銻浮選試驗

次 數	重 量	量			力			布			率		
		重量	重 量%	重 量%	48%	48%	48%	48%	48%	48%	48%	48%	48%
一 次 精 選	444.32	30.08	42.95	1.640	22.57	3.20	2.75	3.264	50.50	339.	28.19	23.65	
二 次 精 選	224.00	15.16	63.52	2.636	11.03	5.45	7.40	28.33	12.34	2.24	24.20	32.08	
清 掃	233.90	16.02	71.99	1.928	6.07	5.68	8.04	29.43	7.91	21.47	26.92	37.20	
尾 礦	304.50	20.58	22.18	1.204	2.08	1.91	1.19	1.153	3.18	17.05	11.57	7.02	
給 礦(計算)	1477.50	100.00	39.58	1.453	1.354	3.41	2.49	103.00	103.00	103.00	103.00	103.00	

No.

13

J. I. C. A.

